

Luz de Sincrotrón para México, por qué sí.

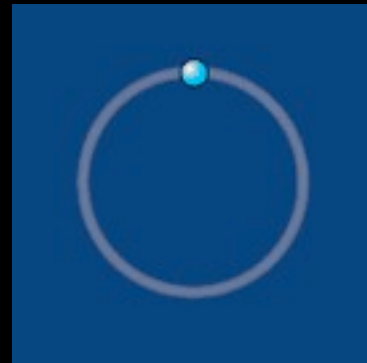
Tuesday 23 Nov 2010 at 18:00 (01h00')

Primary authors : Dr. HERRERA, Gerardo (CINVESTAV)

Co-authors :

Presenter : Dr. HERRERA, Gerardo (CINVESTAV)

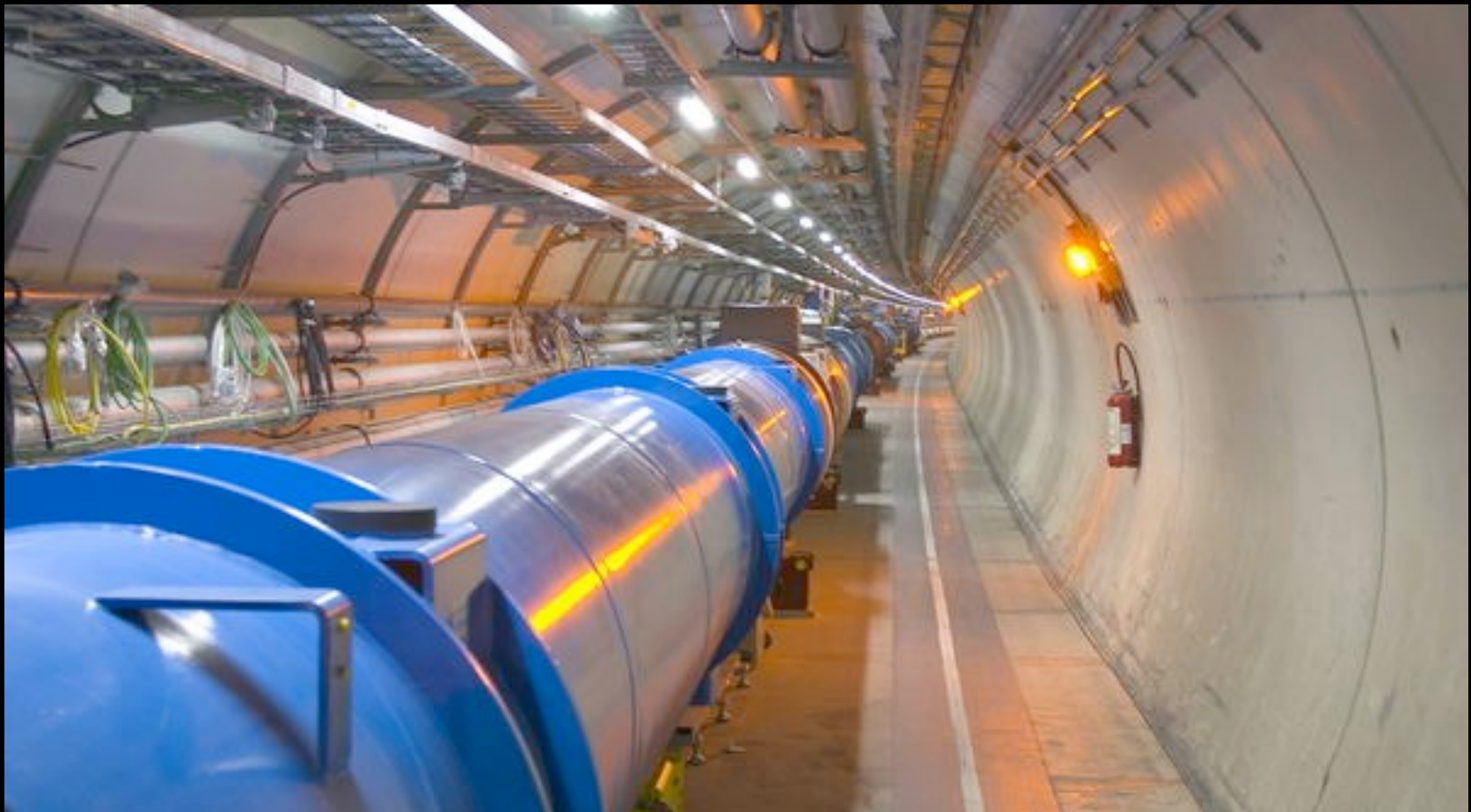
sincrotrón



¿ un proyecto para México ?



Aceleradores





E. Lawrence

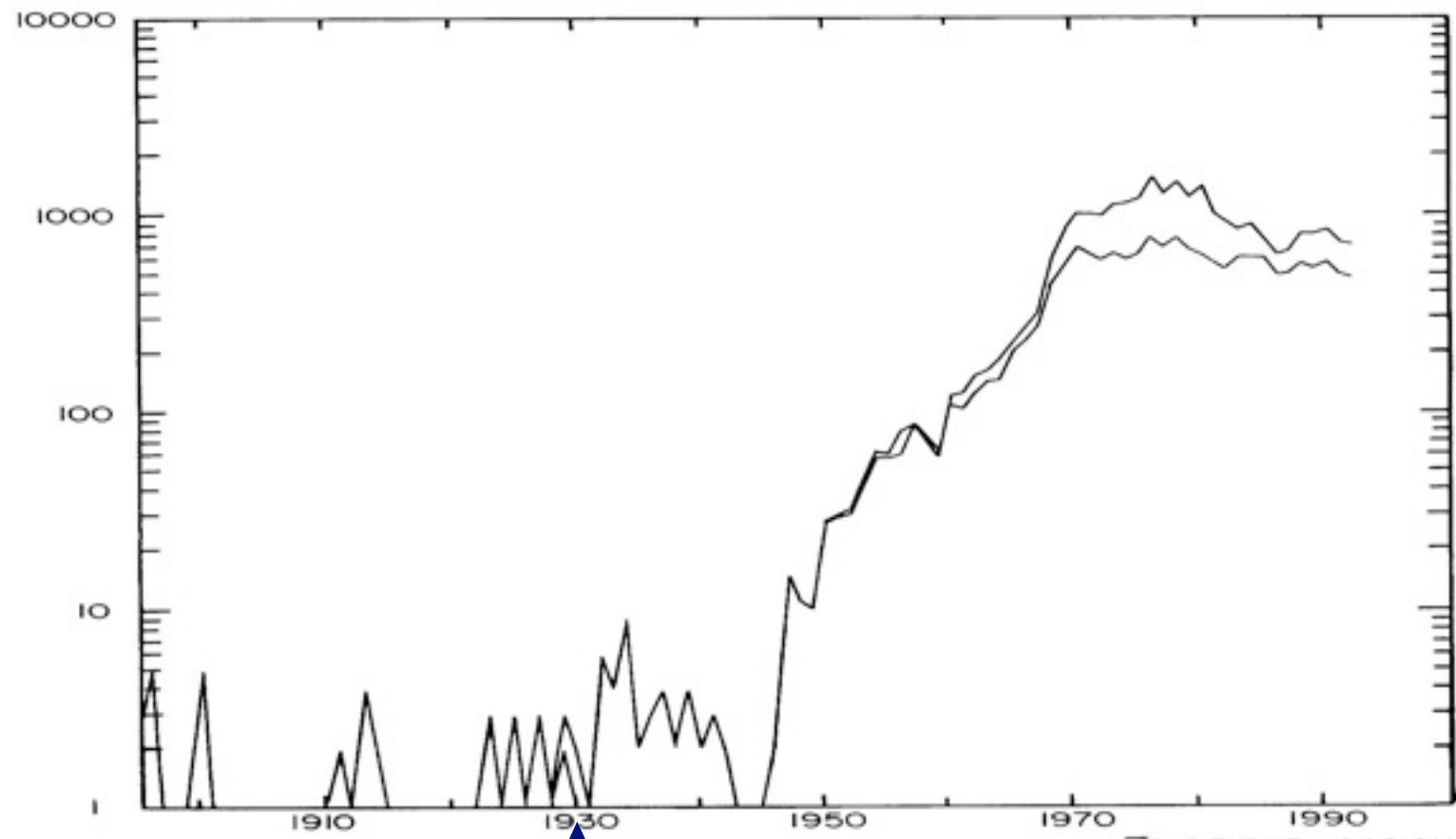


John Cockcroft

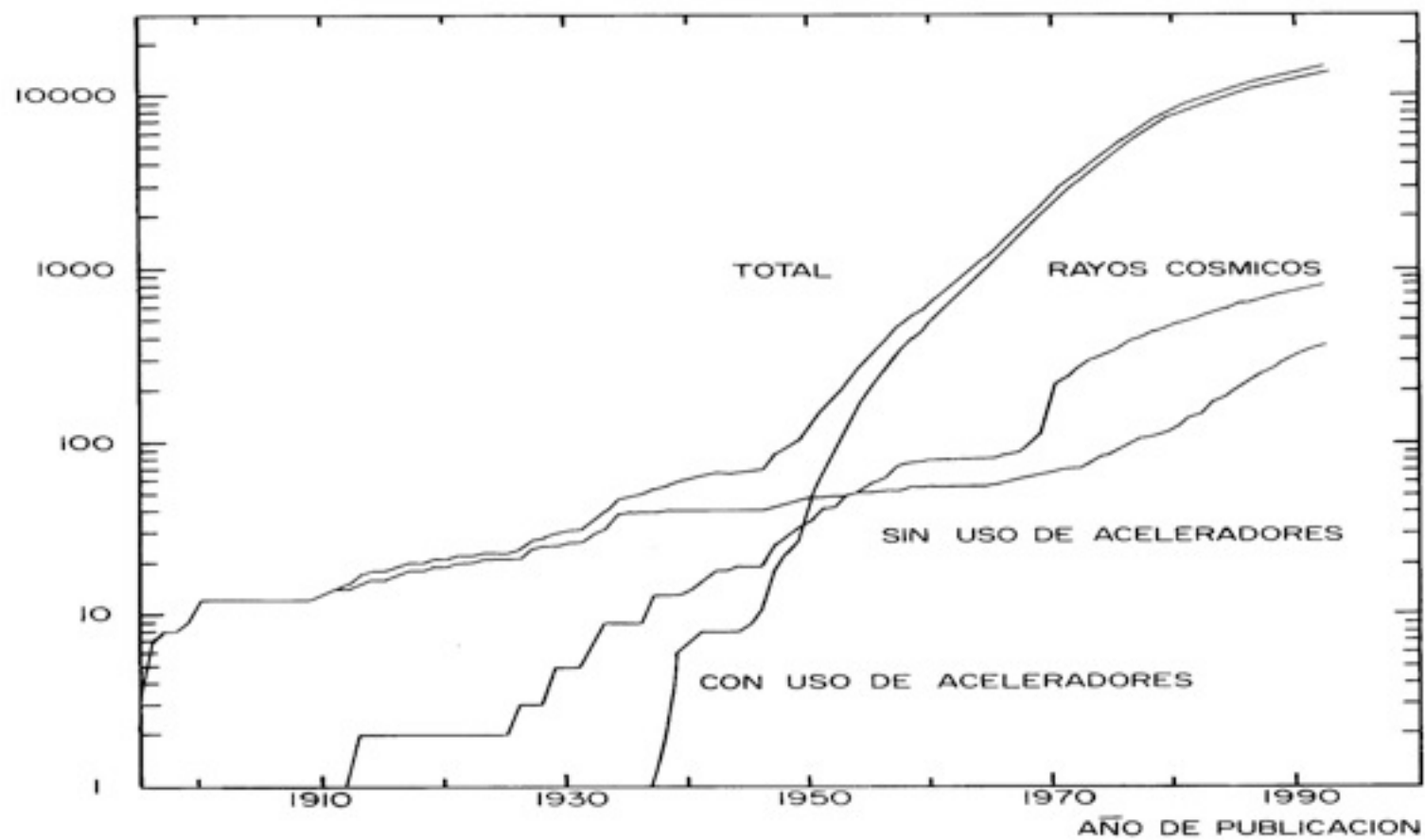


R. Van de Graaff

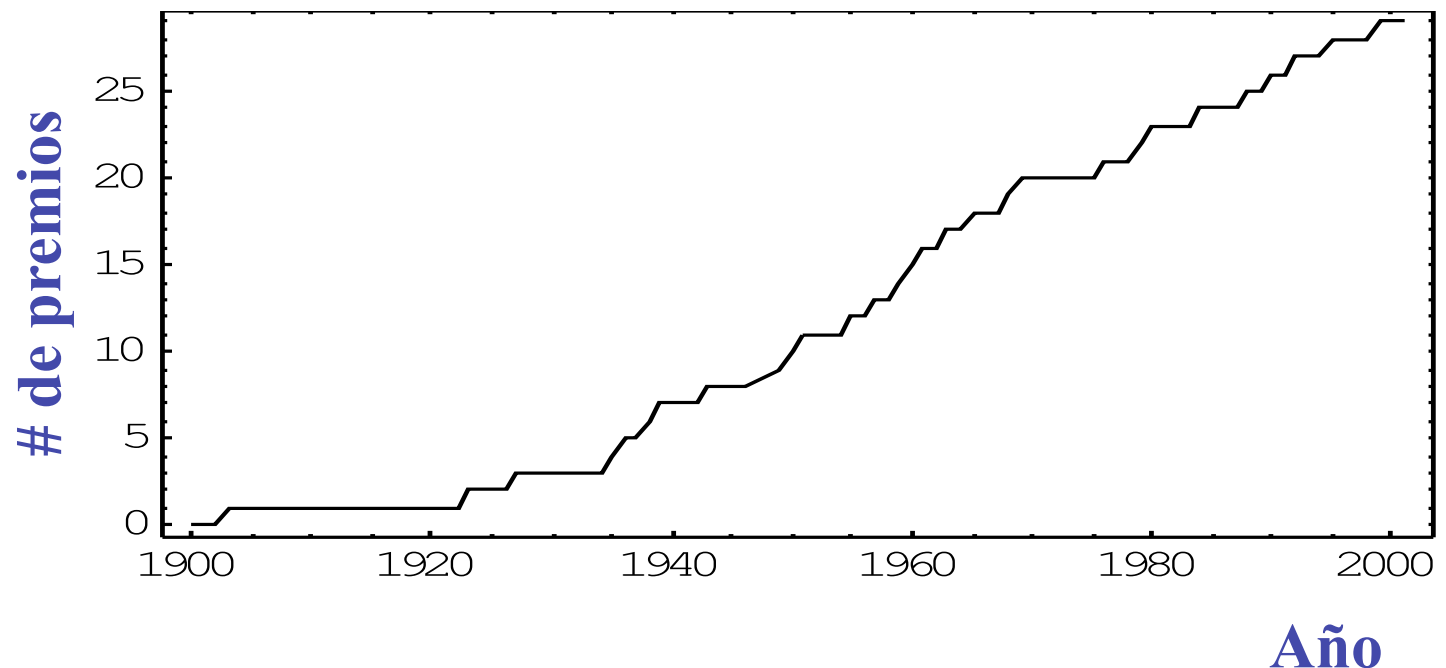
NUMERO DE PUBLICACIONES EN FISICA
DE PARTICULAS ELEMENTALES

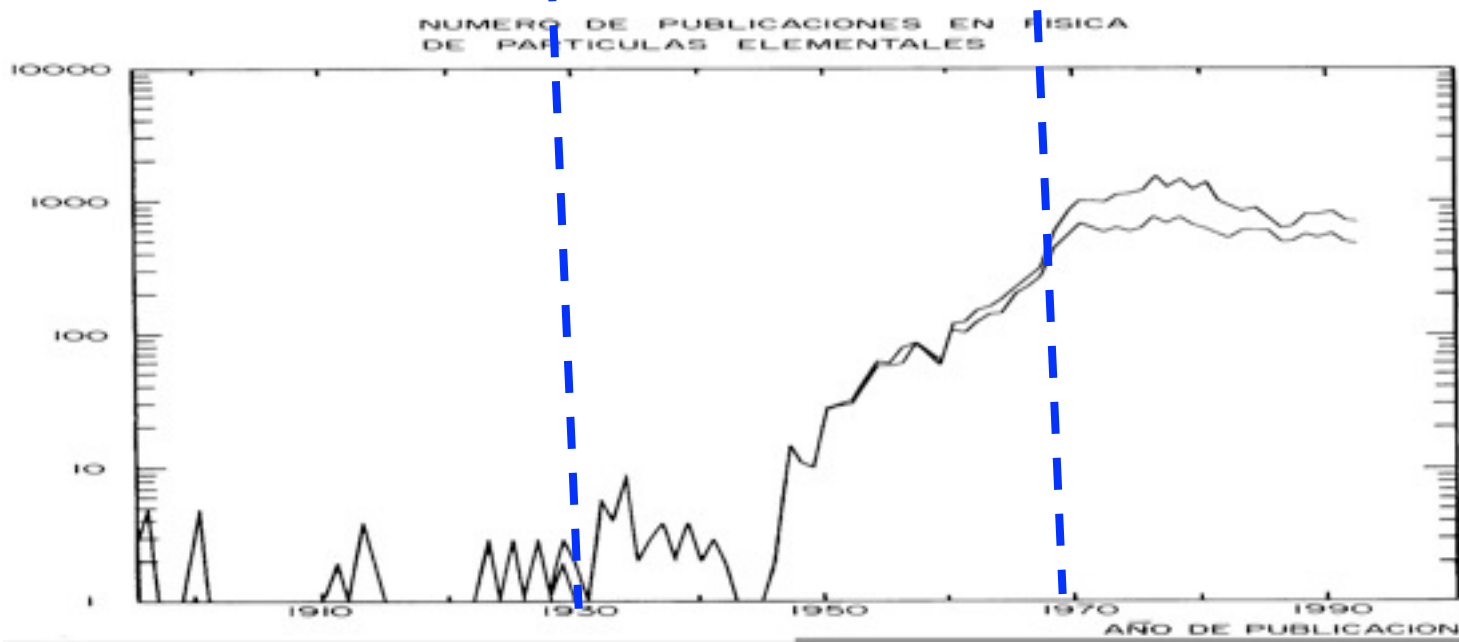
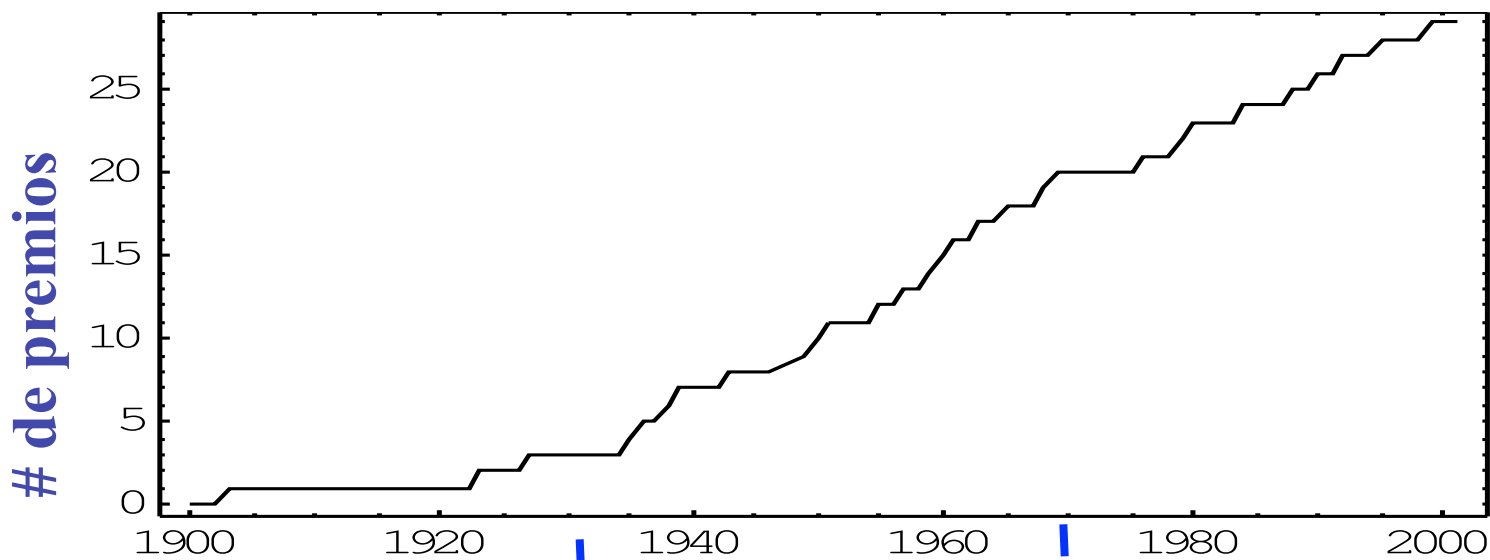


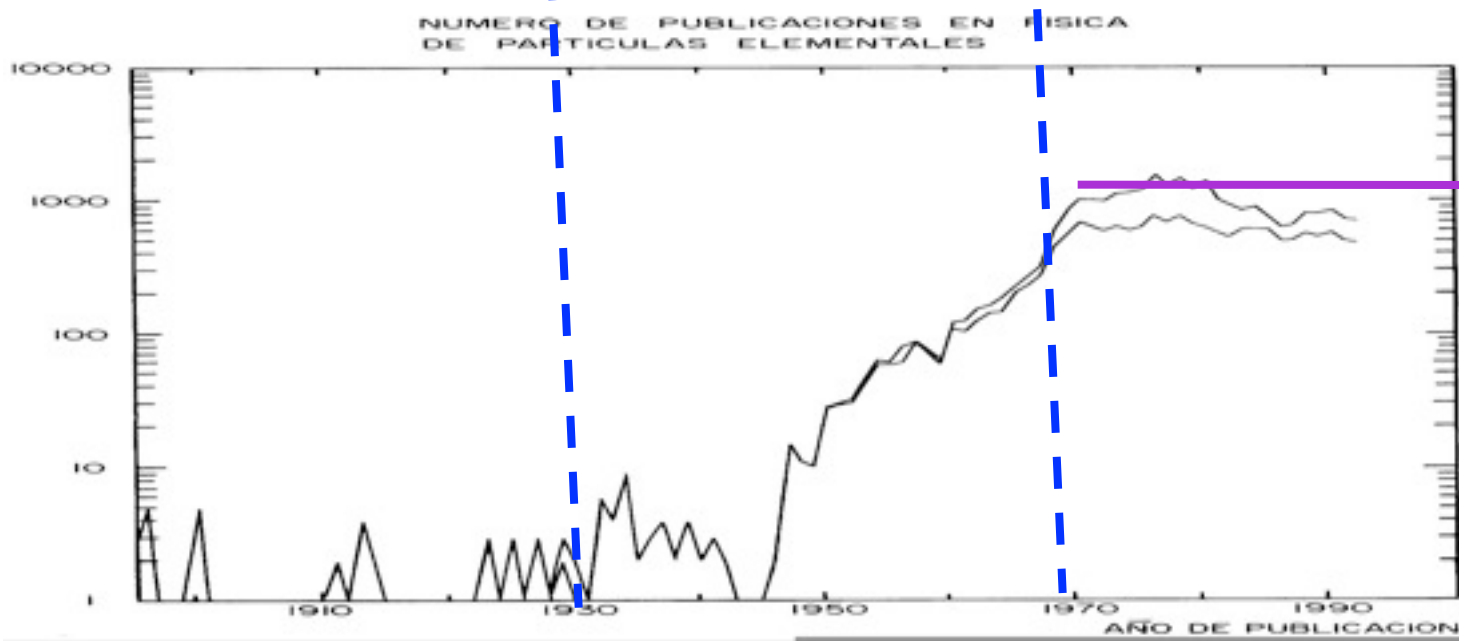
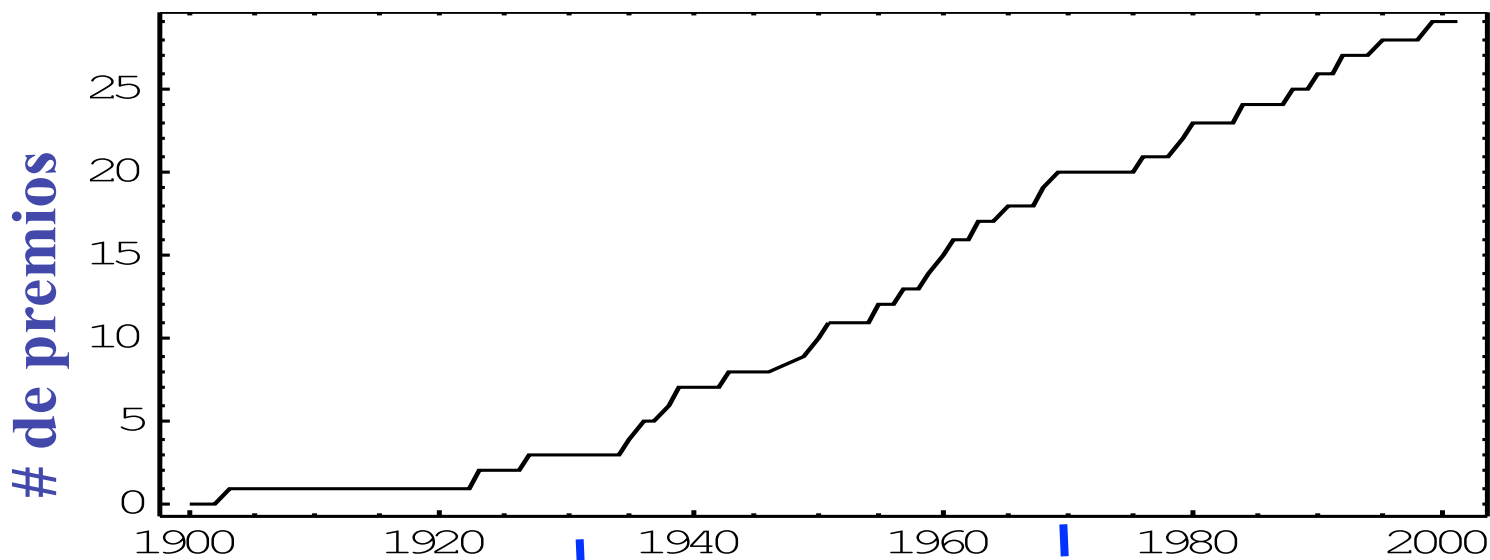
EVOLUCION DEL NUMERO TOTAL DE PUBLICACIONES
DE FISICA EXPERIMENTAL DE PARTICULAS

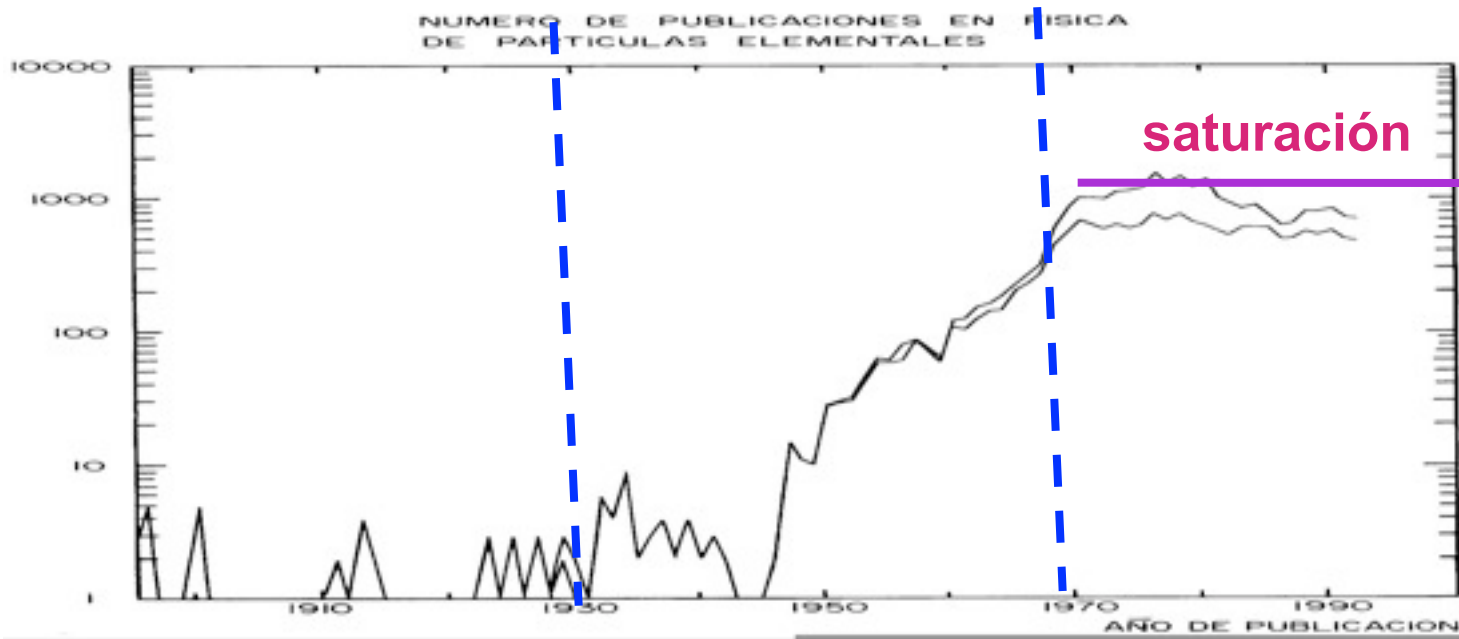
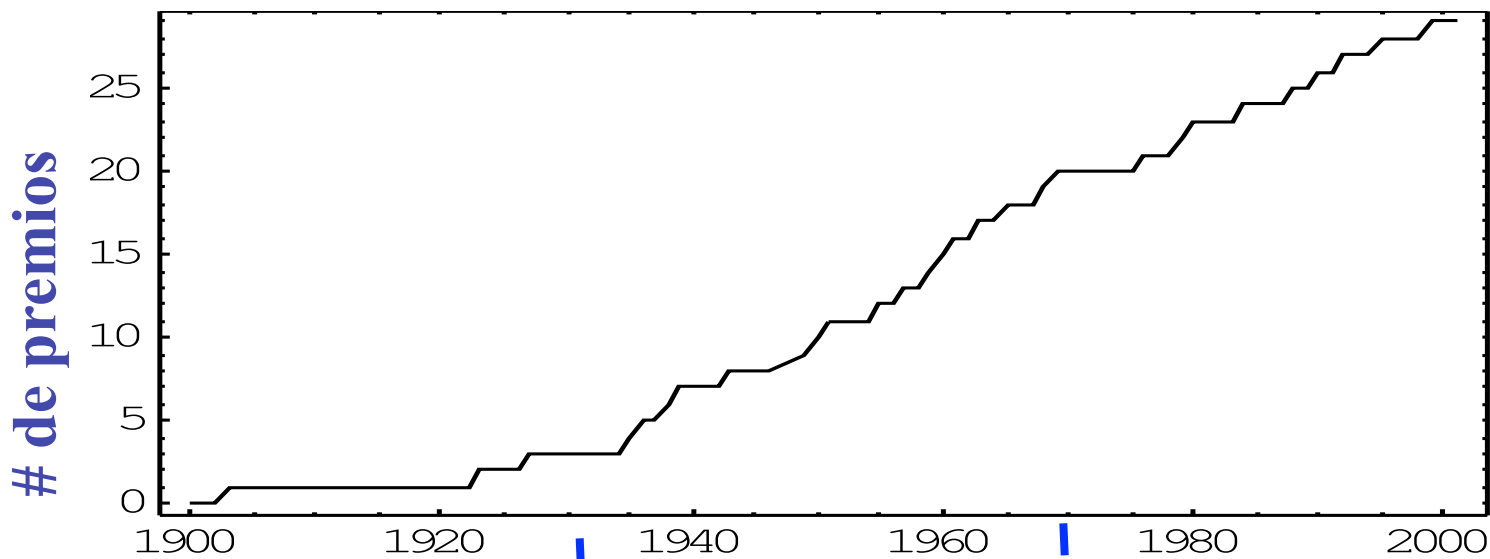


Evolución de premios Nobel en la física de partículas









hasta donde han llegado los aceleradores



en el mundo

This table shows how far accelerators had come by 2002



Category of accelerators	Number in use	
High-energy accelerators (E>1 GeV)	~ 120	
Radiotherapy accelerators	>7500	~ 50 in México
Research accelerators incl. biomedical research	1000	~ 8
Medical radioisotope production	~200	~ 3
Accelerators for industrial processing and research	>1500	~ 0
Ion implanters, surface modification centres	>7000	~ 5
Synchrotron radiation sources	~50	~ 0
TOTAL IN 2002	- 17370	

sólo 120 de 17,370 son usados en la física de partículas elementales

oncología hoy

50 aceleradores en
hospitales mexicanos



REPORTE DE INSTITUCIONES QUE TIENEN ACCELERADORES EN MEXICO CON LICENCIA VIGENTE EMITIDA POR LA CNSNS

13/03/2006

1374	ACCELERACION NUCLEAR Y RESONANCIA MAGNETICA, S.A. DE C.V.	
Marca: SIEMENS	Modelo: MEVATRON MD	Tipo: LINEAL
687	CENTRO ESTATAL DE CANCEROLOGIA, "DR. MIGUEL DORANTES MESA"	
Marca: VARIAN	Modelo: CLINAC 21 EX	Tipo: ACCELERADOR DE ELECTRONES
1	CENTRO MEDICO NACIONAL "20 DE NOVIEMBRE" - ISSSTE	
Marca: PHILIPS	Modelo: SL-75/14	Tipo: LINEAL
2115	CENTRO ONCOLOGICO PRIVADO, S.A. DE C.V.	
Marca: VARIAN	Modelo: CLINAC 2100C	Tipo: IA
2688	CORPORATIVO ONCOLOGIA, RADIOTERAPIA Y RADIOCIRUGIA, S.A. DE C.V.	
Marca: VARIAN	Modelo: 600 C	Tipo: LINEAL
604	FACULTAD DE MEDICINA - UNAM	
Marca: CTI	Modelo: RDS 111	Tipo: CICLOTRON
1991	HOSPITAL ANGELES DEL PEDREGAL, S.A. DE C.V.	
Marca: CTI	Modelo: ECLIPSE HP RD 111	Tipo: CICLOTRON
1827	HOSPITAL CENTRAL "DR. IGNACIO MORONES PRIETO"	
Marca: VARIAN	Modelo: CLINAC 2100C	Tipo: LINEAL
109	HOSPITAL CENTRAL MILITAR	
Marca: SIEMENS	Modelo: PRIMUS	Tipo: LINEAL
Marca: SIEMENS	Modelo: MEVATRON 74456	Tipo: LINEAL
775	HOSPITAL DE ESPECIALIDADES NO. 1, C.M.N. LIC. IGNACIO GARCIA TELLEZ-IMSS	
Marca: VARIAN	Modelo: CLINAC 21EX	Tipo: LINEAL
262	HOSPITAL DE ESPECIALIDADES NO. 25, C.M.N. DEL NORESTE - IMSS	
Marca: VARIAN	Modelo: CLINAC 2100 C/D	Tipo: LINEAL
Marca: VARIAN	Modelo: CLINAC 6EX	Tipo: ACCELERADOR LINEAL
198	HOSPITAL DE ESPECIALIDADES, C.M.N. "GRAL. DIV. MANUEL AVILA CAMACHO" - IMSS	
Marca: VARIAN	Modelo: CLINAC 2300 C/D	Tipo: LINEAL
143	HOSPITAL DE ONCOLOGIA - CENTRO MEDICO NACIONAL SIGLO XXI - IMSS	
Marca: PHILLIPS	Modelo: SL-18	Tipo: LINEAL
Marca: PHILLIPS	Modelo: SL75/14	Tipo: LINEAL
Marca: VARIAN	Modelo: 2300 C/D	Tipo: LINEAL
98	HOSPITAL GENERAL DE MEXICO, O. D.	
Marca: PHILIPS	Modelo: SL75/15	Tipo: ACCELERADOR DE ELECTRONES
Marca: VARIAN	Modelo: 21EX	Tipo: ACCELERADOR DE ELECTRONES
2707	HOSPITAL GENERAL REGIONAL NO. 1 "LIC. IGNACIO GARCIA TELLEZ" - IMSS	
Marca: VARIAN	Modelo: CLINAC 600C	Tipo: LINEAL
45	HOSPITAL INFANTIL DE MEXICO "FEDERICO GOMEZ"	
Marca: VARIAN	Modelo: 6EX	Tipo: ACCELERADOR DE ELECTRONES
1825	HOSPITAL ONCOLOGICO DEL ESTADO DE SONORA	
Marca: GENERAL ELECTRIC	Modelo: 21B12B41	Tipo: LINEAL
1727	HOSPITAL SAN JAVIER, S.A. DE C.V.	
Marca: ELEKTA	Modelo: DIGITAL PRECISE	Tipo: LINAC
Marca: VARIAN	Modelo: 6XR	Tipo: LINEAL
207	HOSPITAL UNIVERSITARIO "DR. JOSE FLEUTERIO GONZALEZ", UNIVERSIDAD AUTONOMA DE NUEVO LEON.	
Marca: SIEMENS	Modelo: MEVATRON K-74	Tipo: LINEAL

**REPORTE DE INSTITUCIONES QUE TIENEN ACCELERADORES EN MEXICO CON
LICENCIA VIGENTE EMITIDA POR LA CNSNS**

13/03/2006

2067 HOSPITAL Y CLINICA OCA, S.A.

Marca: GENERAL ELECTRIC Modelo: MINITRACE Tipo: CICLOTRON
Marca: SIEMENS Modelo: MEVATRON KD CLASS Tipo: ACCELERADOR LINEAL

1159 IININ, GERENCIA DE CIENCIAS BASICAS

Marca: HIGH VOLTAGE Modelo: TANDEM VAN DE GRAFF Tipo: LINEAL

1925 INSTITUTO DE RADIOTERAPIA DE MONTERREY, S.A. DE C.V.

Marca: VARIAN Modelo: 4/80 Tipo: LINEAL

96 INSTITUTO NACIONAL DE CANCEROLOGIA.

Marca: VARIAN Modelo: CLINAC 600C Tipo: LINEAL

Marca: VARIAN Modelo: CLINAC 2100 C/D Tipo: LINEAL

212 INSTITUTO NACIONAL DE NEUROLOGIA Y NEUROCIRUGIA

Marca: BRAIN LAB Modelo: NOVALIS Tipo: LINEAL

2764 INSTITUTO ONCOLÓGICO DE MORELOS, S.A. DE C.V.

Marca: VARIAN Modelo: CLINAC 600C Tipo: LINEAL

2702 INSTITUTO ONCOLÓGICO MEXIQUENSE, S.A. DE C.V.

Marca: VARIAN Modelo: CLINAC 2100 C Tipo: LINEAL

2118 INSTITUTO REGIONAL DE TRATAMIENTO DEL CANCER, S. A. DE C. V.

Marca: VARIAN Modelo: 6/100 Tipo: LINEAL

2251 JORGE JESUS RODRIGUEZ PERAL

Marca: VARIAN Modelo: 6/100 Tipo: LINEAL

2033 MEDI SYSTEMS, S.A. DE C.V.

Marca: GENERAL ELECTRIC Modelo: SATURNO 41 Tipo: LINEAL

1268 MEDICA SUR, S.A. DE C.V.

Marca: VARIAN Modelo: 2100C Tipo: LINEAL

2396 ONCOLOGIA MUGUERZA, S.A. DE C.V.

Marca: VARIAN Modelo: CLINAC 600C Tipo: LINEAL

Marca: VARIAN Modelo: CLINAC 18 Tipo: LINEAL

2153 RADIOTERAPIA GUADALUPE AMOR Y BIEN, S.A. DE C.V.

Marca: PHILIPS Modelo: SLI Tipo: ACCELERADOR LINEAL

2774 SERVICIOS DE SALUD DEL ESTADO DE PUEBLA

Marca: VARIAN Modelo: CLINAC 21EX Tipo: IA

1846 SERVICIOS ONCOLOGICOS DEL NORESTE, S.A. DE C.V.

Marca: VARIAN Modelo: CLINAC 6/100 Tipo: LINEAL

Marca: VARIAN Modelo: 4/100 Tipo: MEDICO

65 U.M.A.E. HOSPITAL DE ESPECIALIDADES CENTRO MEDICO NACIONAL DE OCCIDENTE

- IMSS

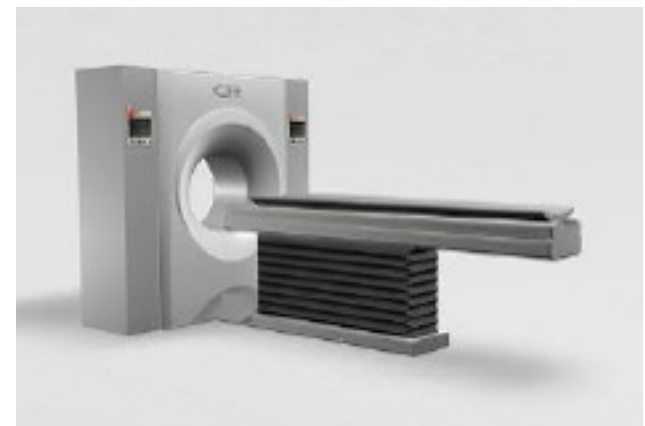
Marca: SIEMENS Modelo: MEVATRON 74 Tipo: IB

Marca: BRAIN LAB Modelo: NOVALIS Tipo: LINEAL PARA RADIOCIRUGIA

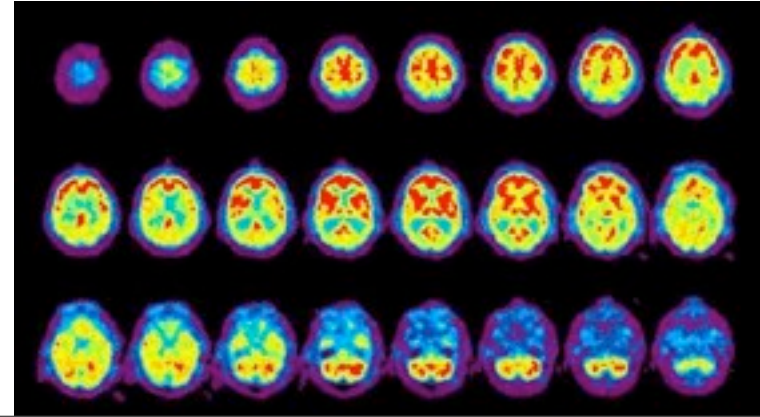
CTI RDS 111 PET Ciclotrón



acelerador
de protones
a 11 MeV



producir Fluor 18 ... radionuclido
emisor de positrones ... para
la síntesis de 2 *fluoro 2 desoxi D*
glucosa 18FDG



El impacto en la física del siglo XX fue enorme

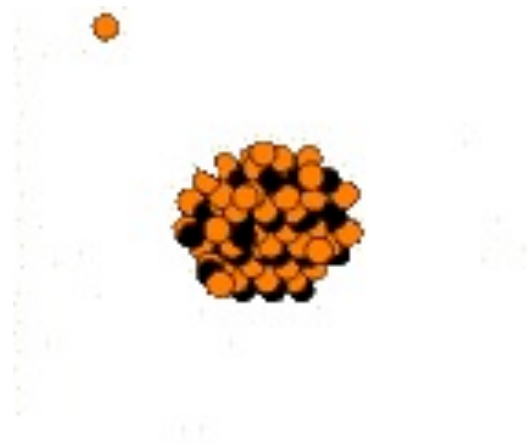
**La tendencia es tal que el impacto en ciencia
y tecnología de los aceleradores en el siglo XXI
será enorme.**

I Mexican Workshop on Accelerator Physics: a Light Source



24-27 de enero, 2007 - Physics Department - CINVESTAV

Energía → Energía Nuclear



Going Nuclear
A Green Makes the Case
By Patrick Moore
Sunday, April 16, 2006; B01



In the early 1970s when I helped found Greenpeace, I believed that nuclear energy was synonymous with nuclear holocaust, as did most of my compatriots. That's the conviction that inspired Greenpeace's first voyage up the spectacular rocky northwest coast to protest the testing of U.S. hydrogen bombs in Alaska's Aleutian Islands. Thirty years on, my views have changed, and the rest of the environmental movement needs to update its views, too, because nuclear energy may just be the energy source that can save our planet from another possible disaster: catastrophic climate change.

Going Nuclear
A Green Makes the Case
By Patrick Moore
Sunday, April 16, 2006; B01



In the early 1970s when I helped found Greenpeace, I believed that nuclear energy was synonymous with nuclear holocaust, as did most of my compatriots.

That's the conviction that inspired Greenpeace's first voyage up the spectacular rocky northwest coast to protest the testing of U.S. hydrogen bombs in Alaska's Aleutian Islands.

Thirty years on, my views have changed, and the rest of the environmental movement needs to update its views, too, because nuclear energy may just be the energy source that can save our planet from another possible disaster: catastrophic climate change.

... señala que las más de 600 plantas eléctricas que utilizan carbón en EU, generan 36% de las emisiones de dióxido de carbono (CO₂) del país y casi el 10% del total mundial

DIARIOMONITOR

COMPROMETIDO CON LA VERDAD

TEMPERATURA:
Min. 12º - Máx. 28º



Martes 25 de Abril, 2006

TERESA BOUZA

Energía nuclear gana adeptos

La metamorfosis de Patrick Moore, uno de los dos fundadores de Greenpeace, es un ejemplo de los nuevos tiempos que corren en el debate sobre la energía nuclear, que vuelve a ganar fuerza al cumplirse 20 años de la tragedia de Chernóbil.

A principios de la década de los 70, cuando ayudó a crear el grupo ecologista Greenpeace, Moore creía que la energía nuclear era sinónimo de holocausto nuclear.

Treinta años más tarde, su opinión ha cambiado, según explicó este mes en el diario "The Washington Post".

En una columna titulada "Convertirse en nuclear: un verde argumento a favor", Moore señala que "la energía nuclear puede ser la fuente que salve a al planeta "de otro posible desastre: un catastrófico cambio climático".

Moore, que ya no forma parte de Greenpeace, señala que las más de 600 plantas eléctricas que utilizan carbón en EU generan el 36 por ciento de las emisiones de dióxido de carbono (CO₂) del país y casi el 10 por ciento del total mundial.

El informe de Greenpeace, que incluye

pal responsable del cambio climático en su país.

Ante esa situación, el ex ecologista cree que "la energía nuclear es la única fuente competitiva de energía a gran escala que puede reducir esas emisiones y satisfacer al mismo tiempo la creciente demanda energética".

Moore apunta que a través de avances tecnológicos las plantas nucleares pueden cumplir ese objetivo de forma segura.

Moore no es el único ecologista reconvertido en defensor de la energía nuclear.

El famoso científico británico James Lovelock -creador de la Hipótesis Gaia sobre el funcionamiento de la vida en la Tierra- y el también británico Hugh Montefiore, miembro durante mucho tiempo de Greenpeace y actual director del grupo "Friends of the Earth", son otros dos prominentes "verdes" a favor de la energía nuclear.

Moore, Lovelock y Montefiore representan parte de una tendencia más amplia: una especie de "renacimiento" de la energía nuclear, cuyo desarrollo se ha visto frenado tras el fallo en un reactor de Chernóbil.

Mile Island, en marzo de 1979, y se abandonó o dejó de prosperar en otros países tras el catastrófico accidente en la planta nuclear ucraniana de Chernóbil hace ahora 20 años.

Prueba de ese renacer es el próximo informe anual de la Agencia Internacional de la Energía, que se publicará en noviembre y que, según adelantó esta semana el diario británico "Financial Times" respaldará por primera vez la energía nuclear.

El informe destaca, según el "Financial Times", que existe un mayor apoyo a esa forma de energía lo que, según la Agencia, podría poner fin a décadas de moratoria y a la paralización de reactores nucleares que tuvo lugar tras Chernóbil.

Los 24 miembros de la Agencia respaldan el estudio, según el diario británico,

La nueva ley energética estadounidense defiende la energía nuclear y la Casa Blanca insiste en que es una opción, junto con las fuentes renovables, ante los elevados precios del crudo.

No falta tampoco quien contempla este revivir con ansiedad.

Los críticos, como la organización ecologista Sierra Club o la asociación de Union of Concerned Scientists, integrada por científicos, señalan que el apostar con fuerza por esa vía podría estimular una nueva proliferación de armas nucleares.

La imposibilidad de deshacerse de unos residuos que tardan cientos de miles de años en descomponerse y el fantasma de más accidentes preocupa también a los opositores.

Las discrepancias no hacen sino av-

ivar el debate que rodea en qué medida se puede apoyar la energía nuclear en momentos en que se debate la posibilidad de mantener las plantas de Chernóbil o no la apuesta por "la alternativa nuclear", que aboga por el abandono del uso de la energía nuclear para consumo en el planeta.

... ante esta situación el ecologista cree que "la energía nuclear es la única fuente competitiva de energía a gran escala que puede reducir esas emisiones

Patrick Moore, fundador de Greenpeace, se pasa a la energía nuclear

— 17.04.06 @ 12:32:50. Archivado en [Personajes](#), [Prensa Internac.](#), [WP](#)

(PD).- Patrick Moore ha entonado el 'mea culpa'. Pese a ser uno de los fundadores de Greenpeace, el ecologista escribe en The Washington Post para asegurar que la única alternativa al calentamiento global es la energía nuclear y que se vuelve urgente e imprescindible que los países desarrollados apuesten por ella.

Parece una broma, pero no lo es. Patrick Moore ha escrito en The Washington Post un artículo que levantará ampollas. El fundador del movimiento ecologista más conocido de todos los tiempos se pasa a la energía nuclear. Y lo hace así: "A principio de los setenta, cuando ayudé a fundar Greenpeace, creía que la energía nuclear era sinónimo de holocausto nuclear, tal y como creían la mayoría de mis compatriotas. Esa fue la convicción que inspiró la primera travesía de Greenpeace hacia la espectacular costa rocosa del noroeste para protestar por las pruebas de las bombas estadounidenses de hidrógeno en las islas Aleutian de Alaska. Treinta años después, mis puntos de vista han cambiado, y el resto del movimiento ecologista necesita actualizar sus presuposiciones también, ya que la energía nuclear debería ser exactamente el recurso energético que puede salvar nuestro planeta de otro posible desastre: el catastrófico cambio climático".

http://blogs.periodistadigital.com/periodismo.php/2006/04/17/patrick_moore_fundador_de_greenpeace_se

LA "TRAYECTORIA" NUCLEAR DE MEXICO

- 
- 1950:** se crea la Comisión Nacional de Energía Nuclear (**CNEN**)
 - 1964:** se construye el Centro de Investigaciones Nucleares de Salazar, que trabaja en el Triga Mark III, el Tandetron y el Pelletron
 - 1976:** comienza construcción reactores BWR (General Electric) de **Laguna Verde**
 - 1989:** se conecta a la red Laguna Verde 1 (682 MW)
 - 1994:** se conecta a la red Laguna Verde 2 (682 MW)
 - 2006:** el Secretario de Energía anuncia el posible comisionamiento de una **tercera planta** nuclear para 2008

Los problemas asociados con la energía nuclear



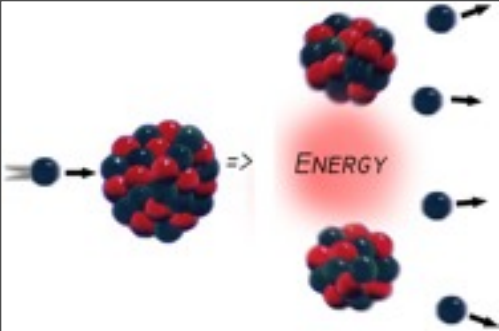
Desechos nucleares

Seguridad ante riesgo de accidentes

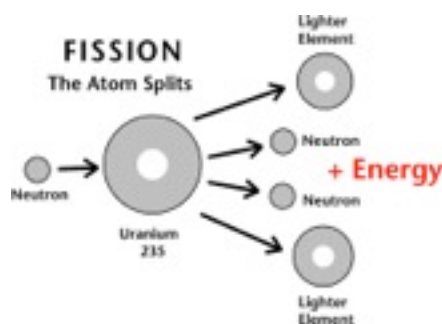
Proliferación de armas nucleares

Hoy existen 1200 reactores de varios tipos y tamaños en el mundo y aproximadamente 445 reactores comerciales en operación unos 30 mas están en construcción y 30 en planeación

Estos 445 contribuyen con el 8 % de la energía total del mundo y con aprox. 17% de la electricidad.



neutron a 2 Km/seg



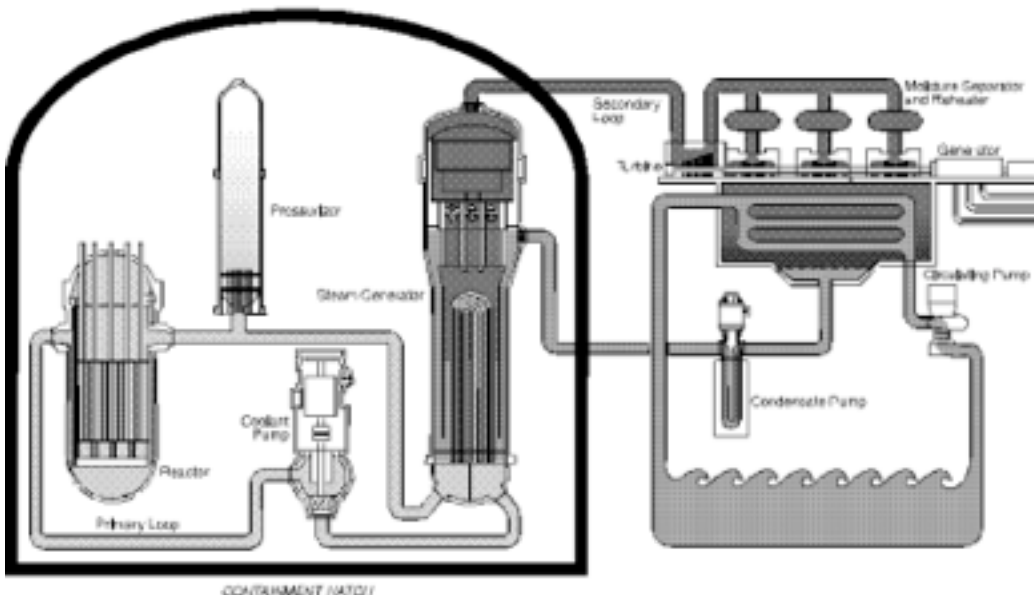
neutrones a 20,000 Km/seg

es necesario frenarlo con un moderador

... frenar sin absorber ejemplo:

Grafito
Agua ligera
Agua pesada

Figure FE1. Nuclear Steam Supply System
(U-bend Design Steam Generator)

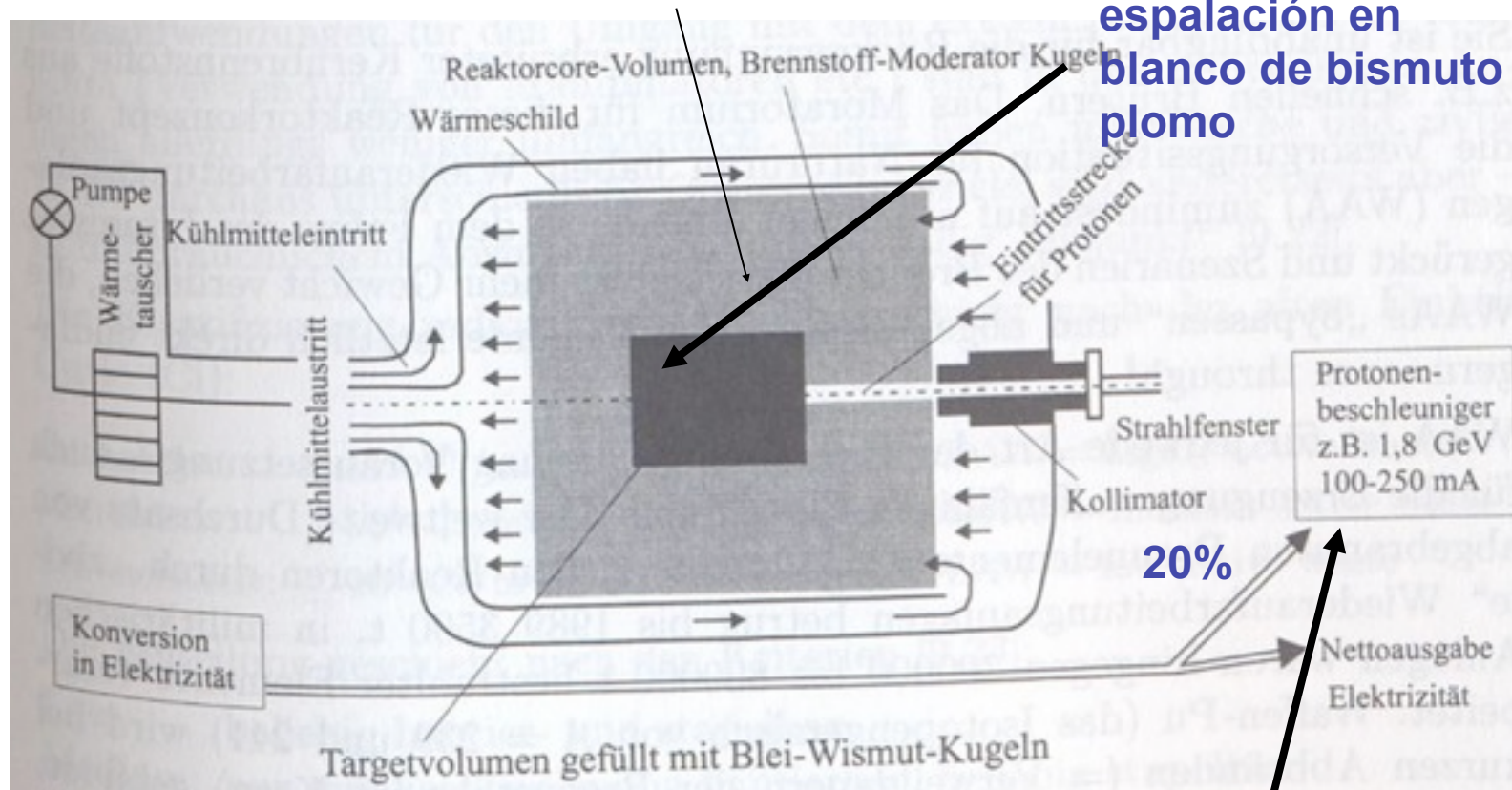


barras de control mantienen la reacción en cadena dentro de los límites deseados

Ejemplo: Carburo de Boro captura neutrones

Amplificador de Energía

Thorium, ^{233}U

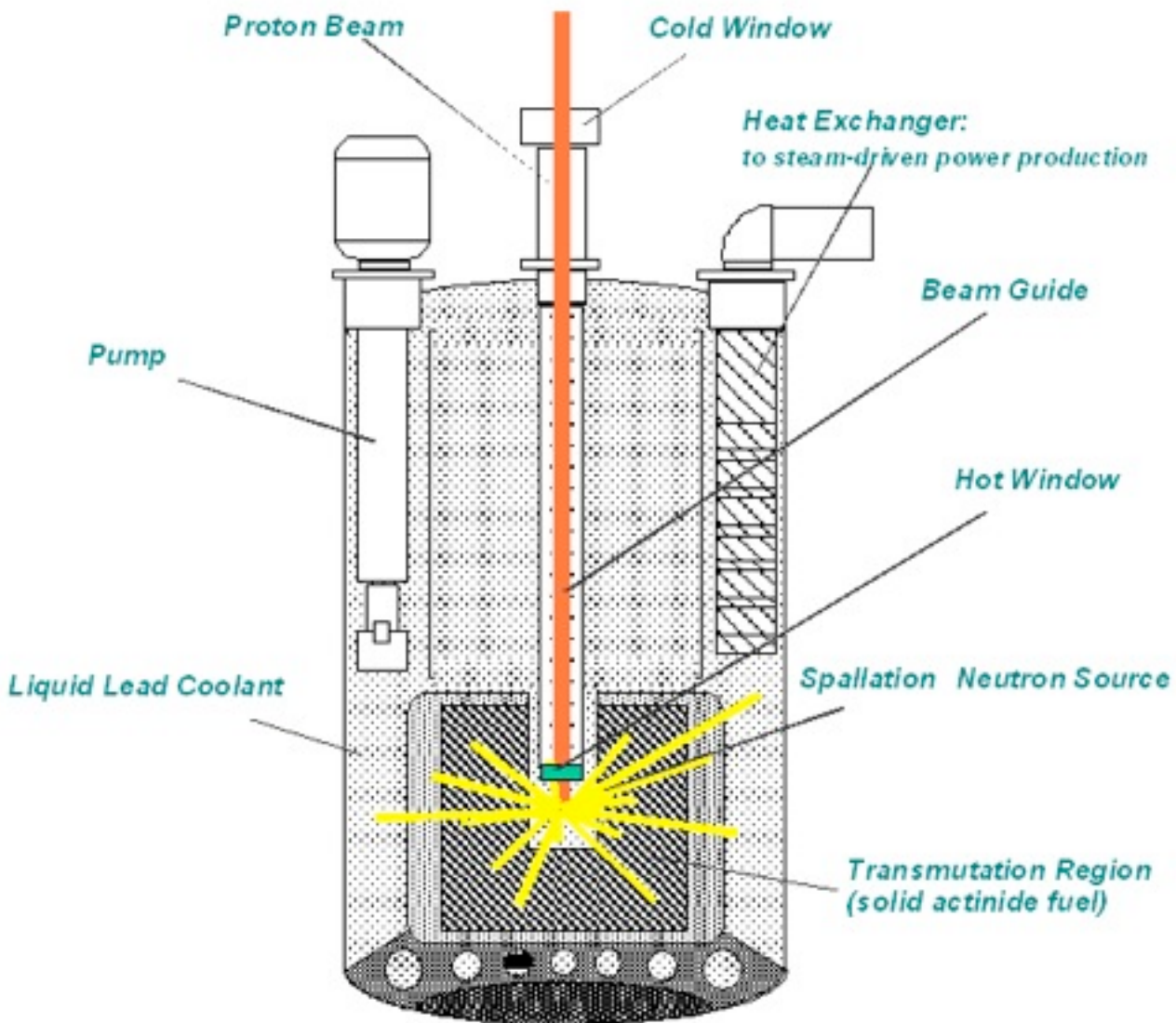


se producen 55 neutrones por reacción
encendido artificial

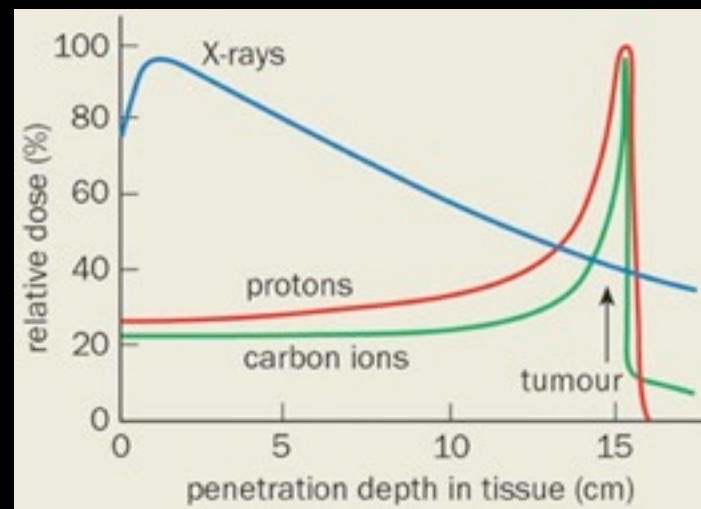
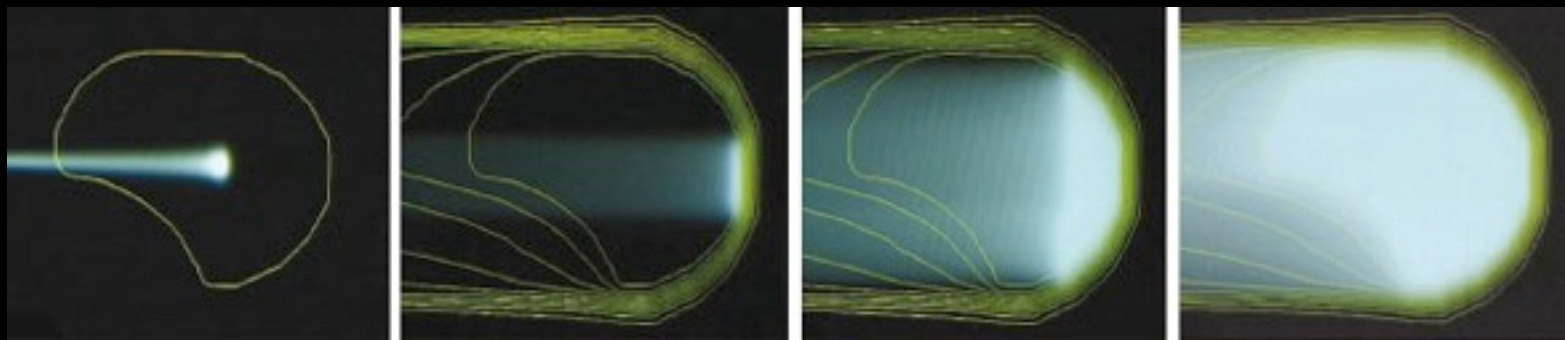
10^{18} Protones/seg

ATW

Accelerator-driven Transmutation of Waste



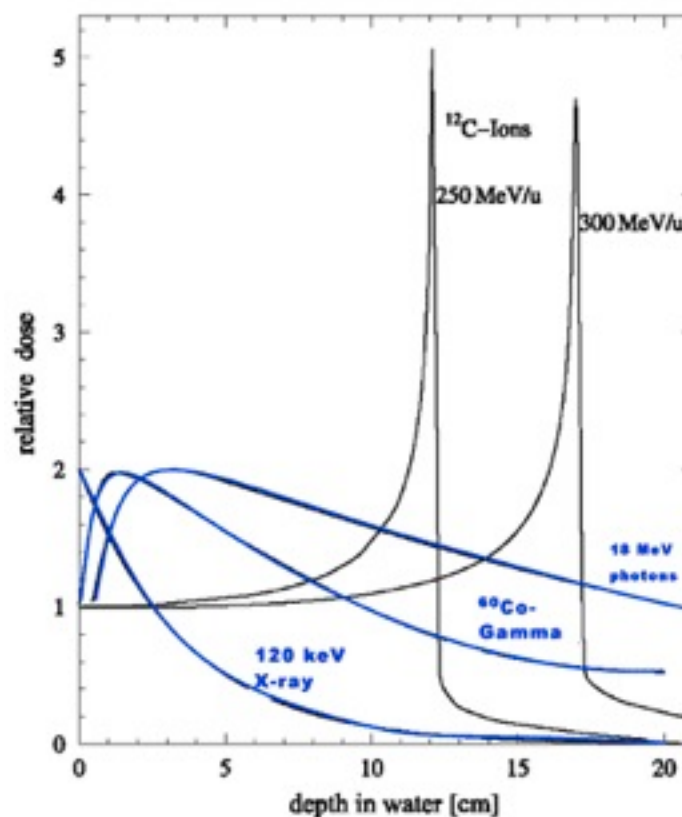
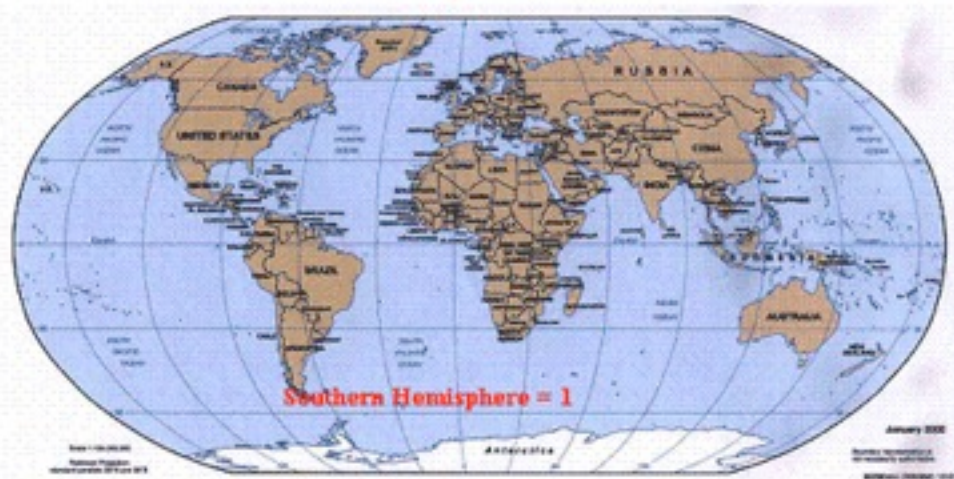
oncología de mañana hadroterapia



North America = 5 + 8

Europe = 7 + 5 + 1 carbon

Asia = 8 + 3 + 2 carbon



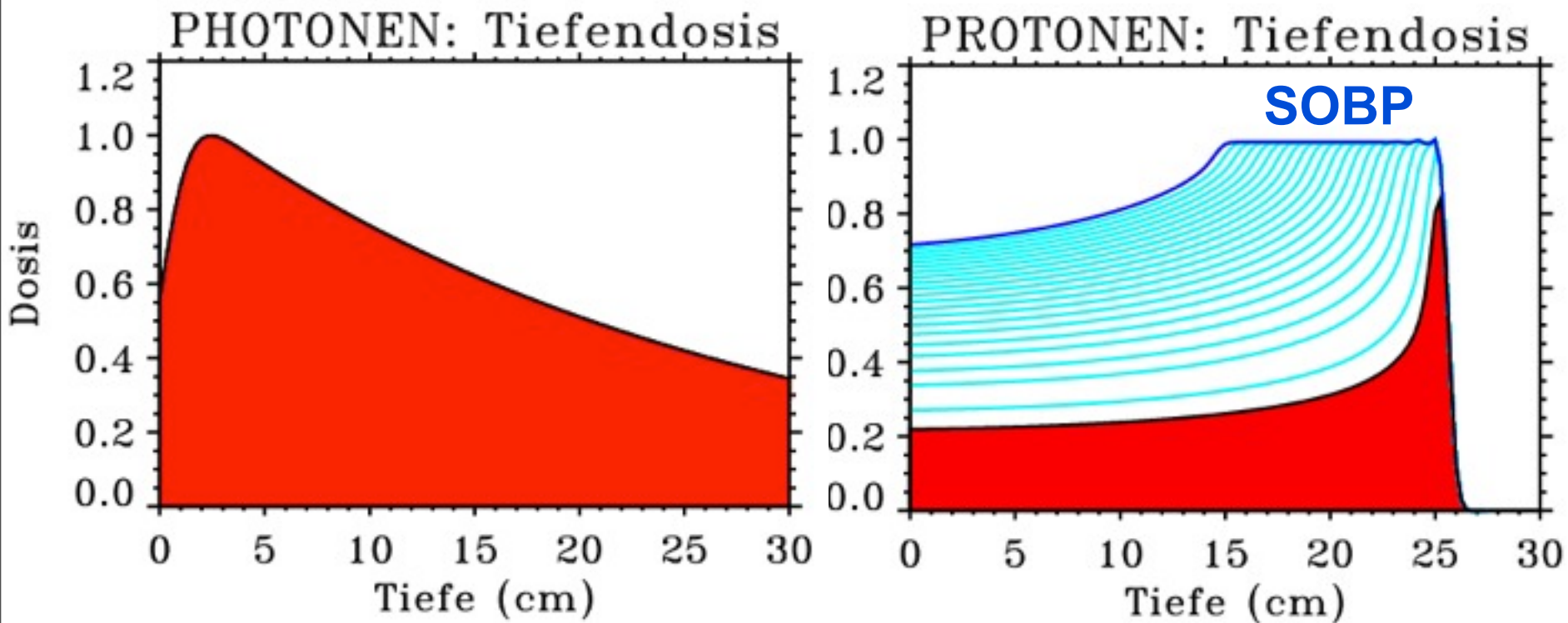
Comet Cyclotron

Irradiation of Tumours with
250 MeV Protons

Cyclotron:
superconducting Magnet, 3m Ø
Collaboration of PSI with ACCEL
(Varian)



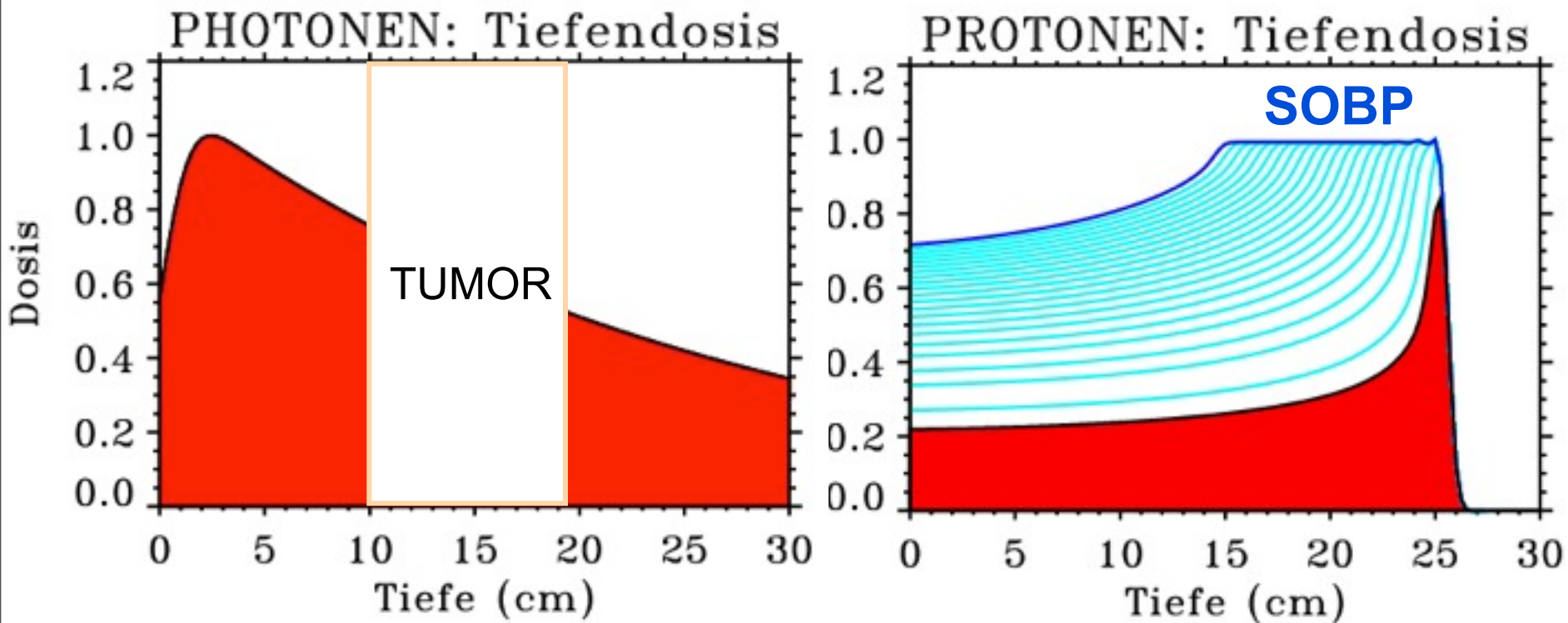
Dose Distribution in human Body



X-rays (Photons): Dose at surface
is larger than at site of tumour

Protons have well defined
Range (Bragg Peak)

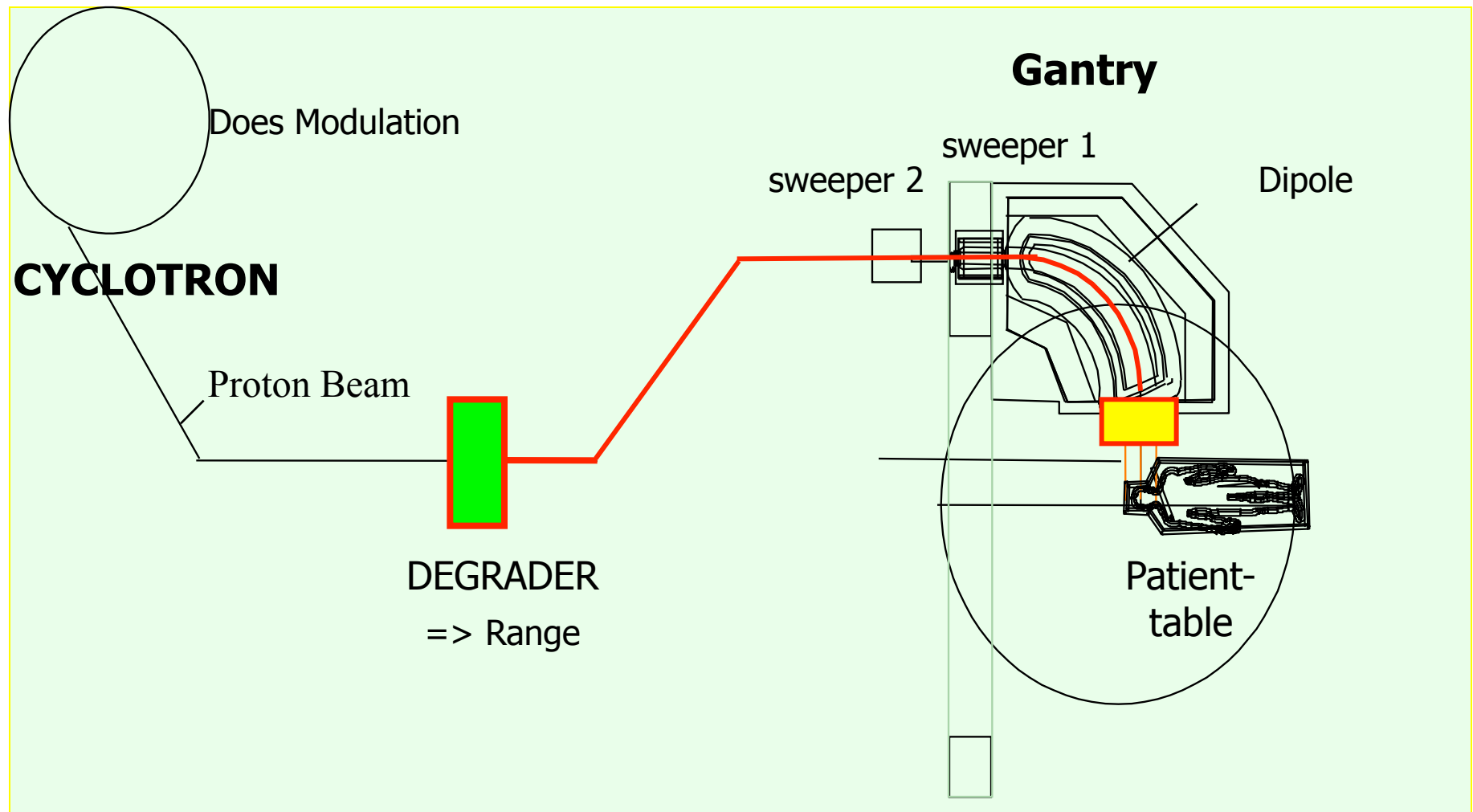
Dose Distribution in human Body



X-rays (Photons): Dose at surface
is larger than at site of tumour

Protons have well defined
Range (Bragg Peak)

Proton Therapy with PROSCAN

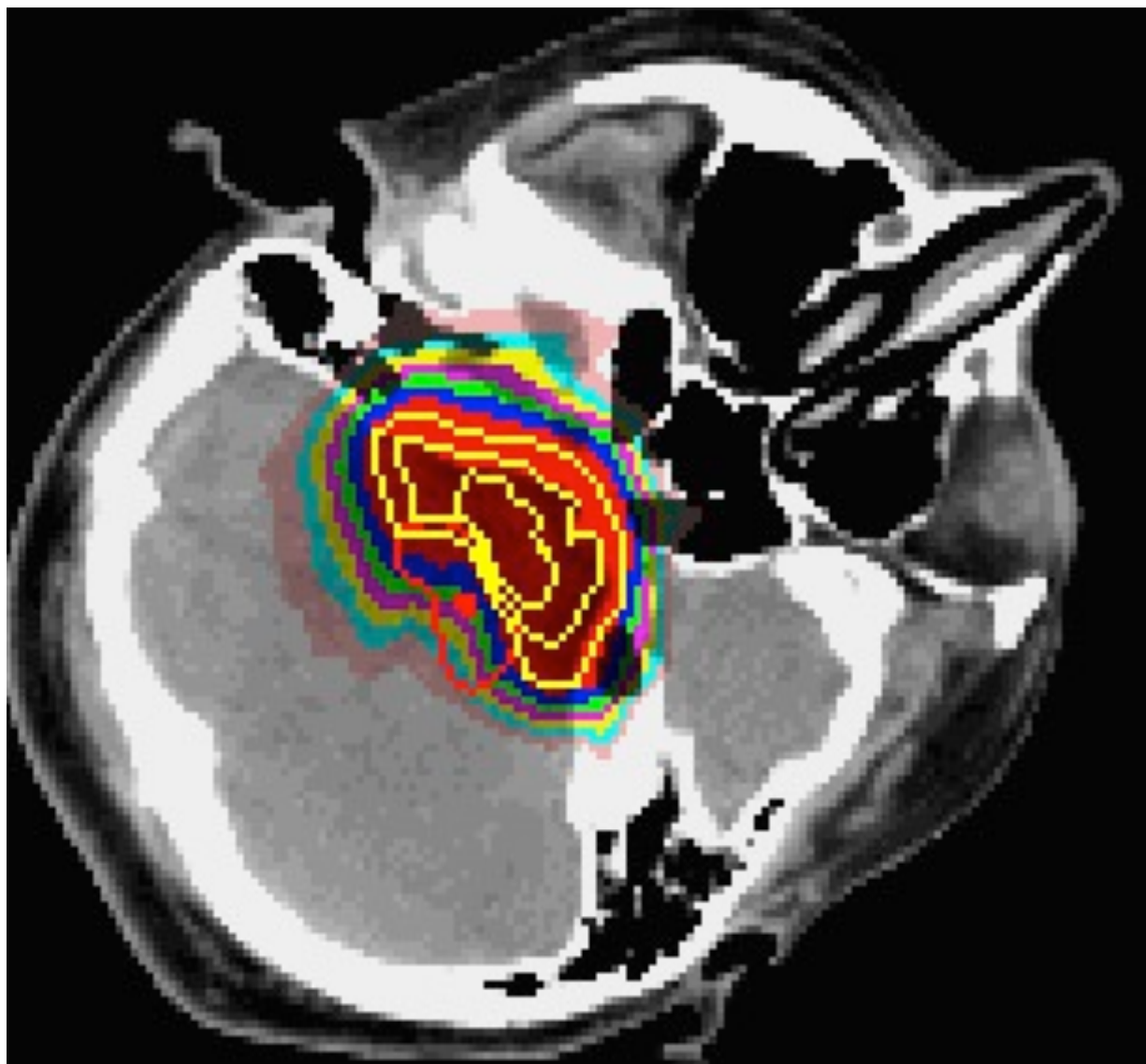


Proton Therapy



Irradiation of Tumour
from different Directions
with Gantry

⇒ minimal Dose at
Surface



Brain Tumour

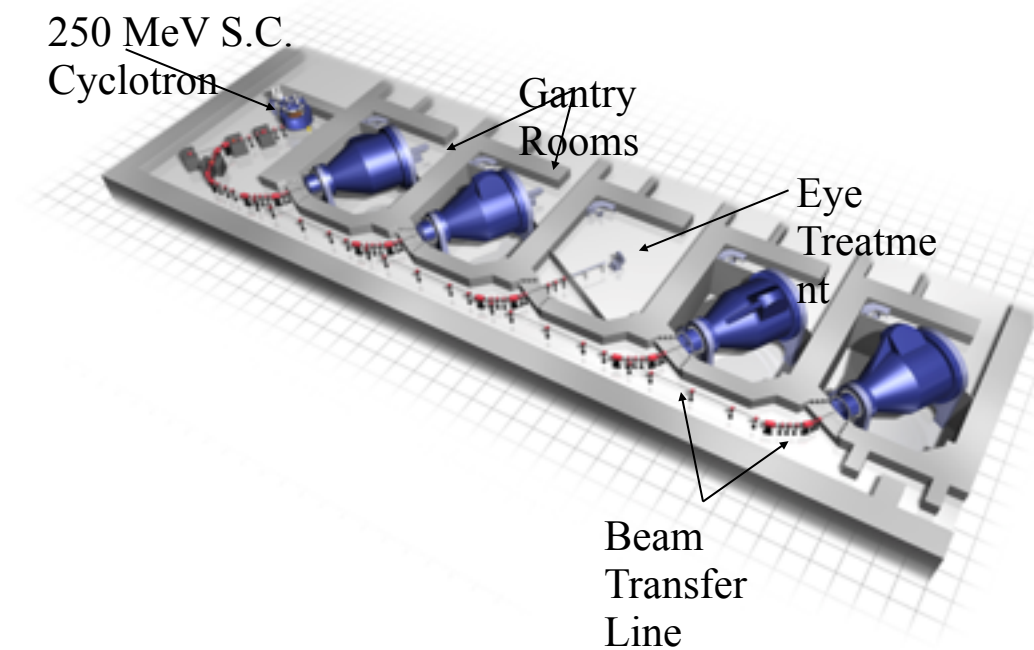
Irradiation with
Protons by
Spot-Scanning
(E.Pedroni, PSI)



Rinecker Proton Therapy Center RPTC, Munich

Beam
Transfer
Line

250 MeV S.C.
Cyclotron



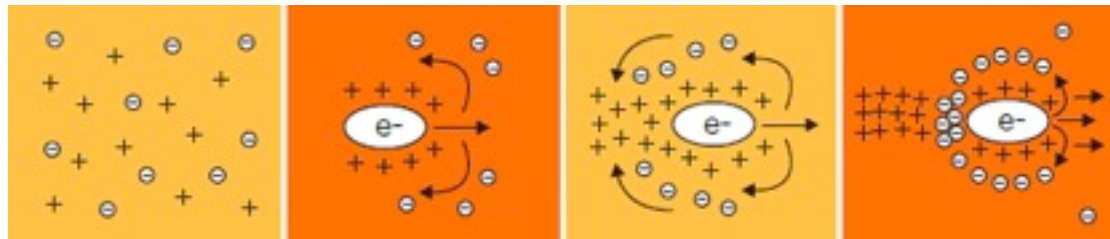
el amanecer de un nuevo día



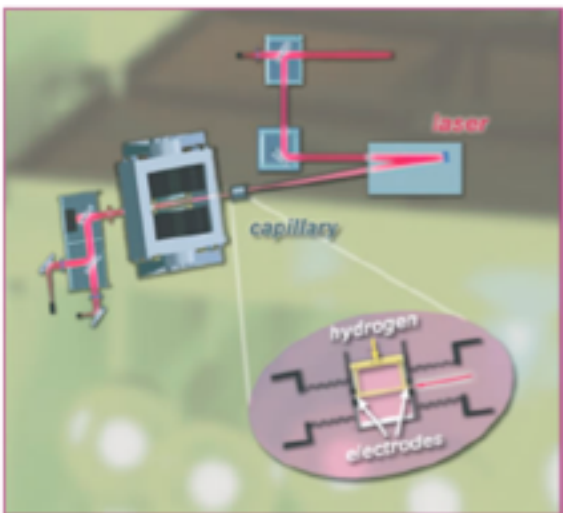
From zero to a billion electron volts in 3.3 centimeters



The drive laser beam travels through a plasma inside a capillary wave guide in titanium sapphire.



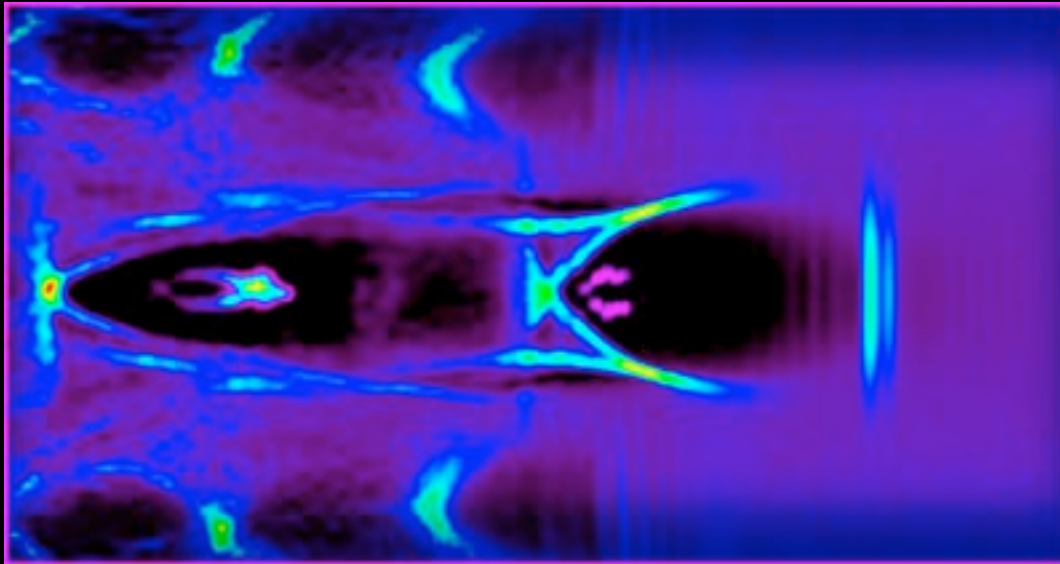
In a precedent-shattering demonstration of the potential of laser-wakefield acceleration, scientists at the Department of Energy's Lawrence Berkeley National Laboratory, working with colleagues at the University of Oxford, have accelerated electron beams to energies exceeding a billion electron volts (1 GeV) in a distance of just 3.3 centimeters. The researchers report their results in the October issue of *Nature Physics*.



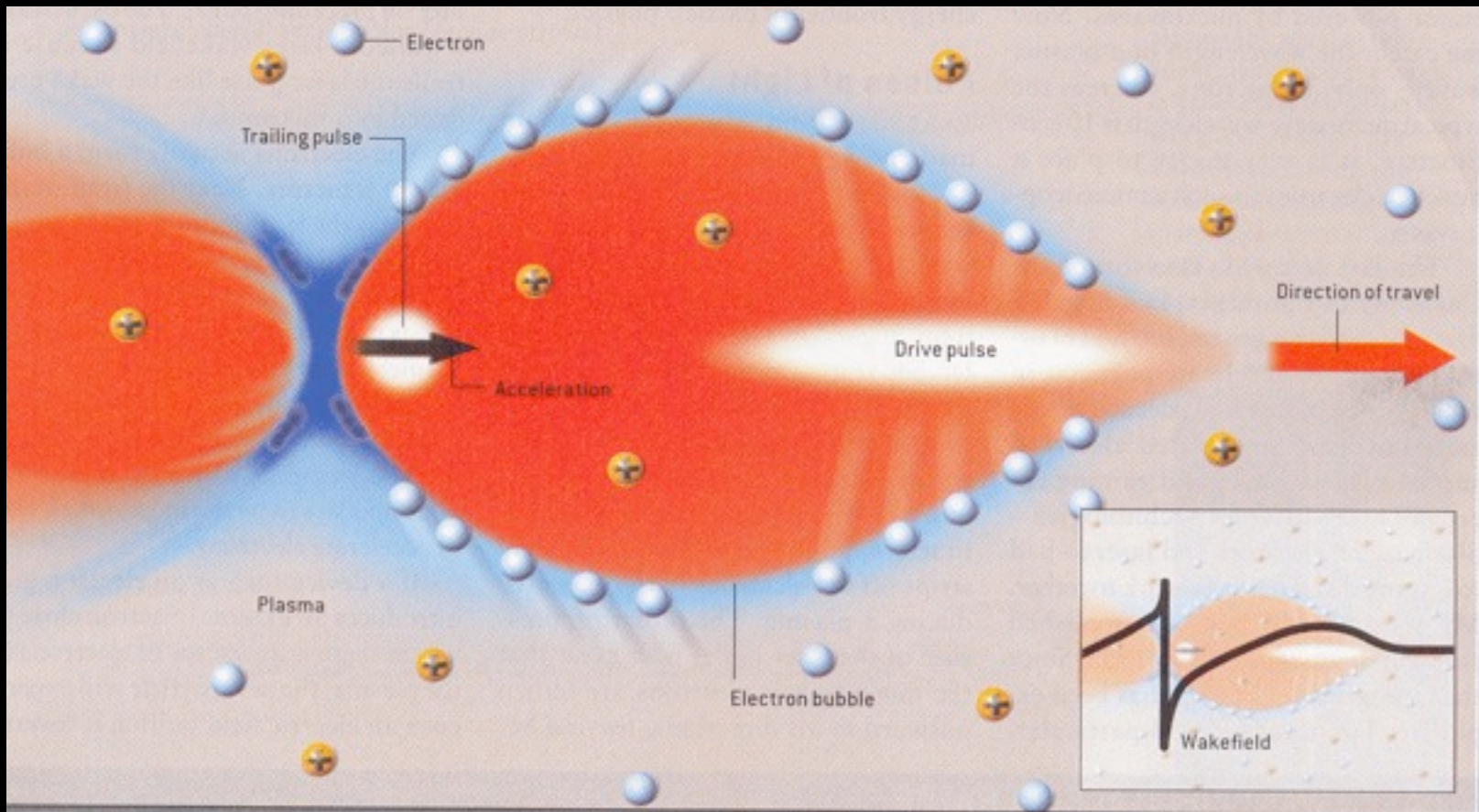
The capillary waveguide is filled with hydrogen gas, and a discharge between electrodes at each end of the waveguide heats the gas and forms a plasma. The laser accelerates the electron beam, which is imaged by magnets and monitored by a phosphor screen and synchronized CCD cameras.

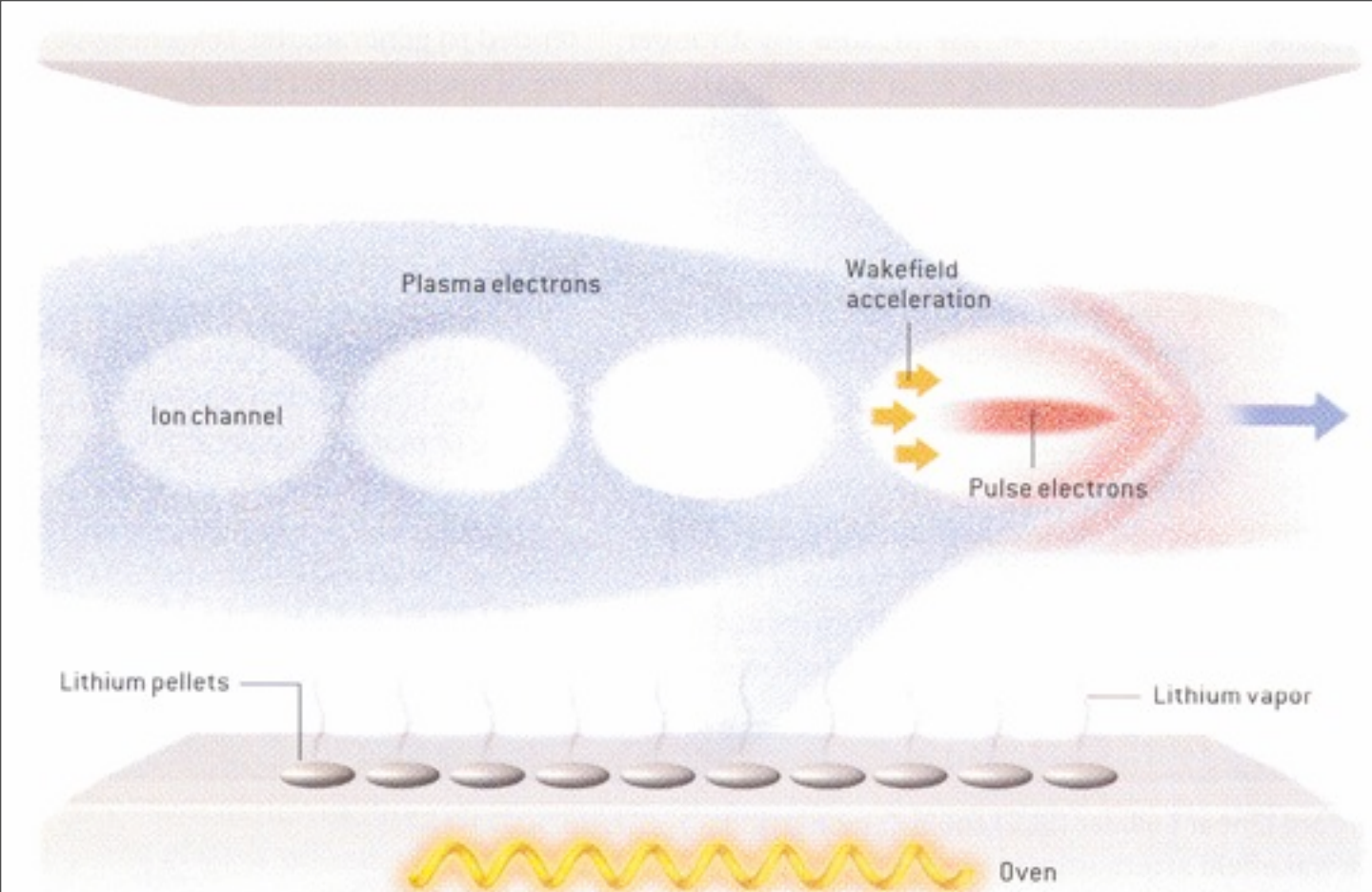
By comparison, SLAC, the Stanford Linear Accelerator Center, boosts electrons to 50 GeV over a distance of two miles (3.2 kilometers) with radiofrequency cavities whose accelerating electric fields are limited to about 20 million volts per meter.

Wakefield Acceleration

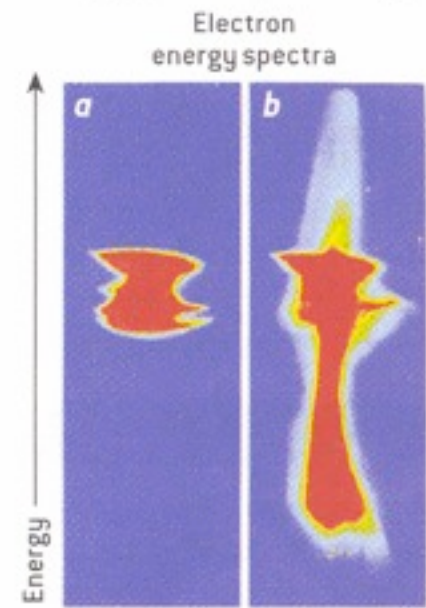
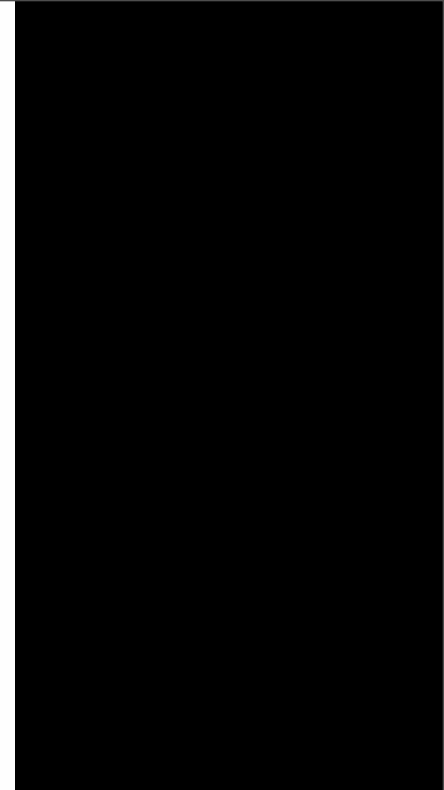


Wakefield acceleration



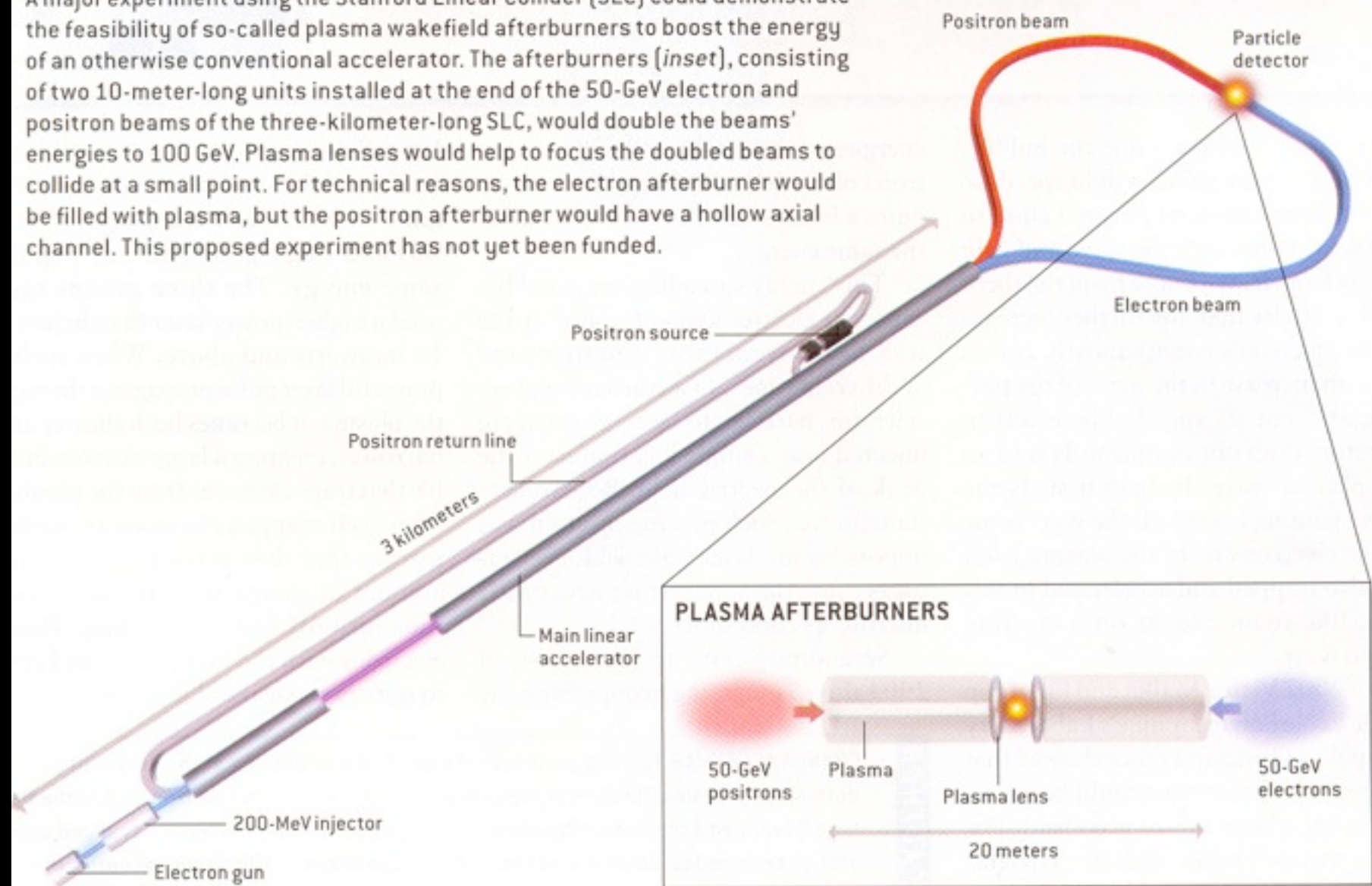


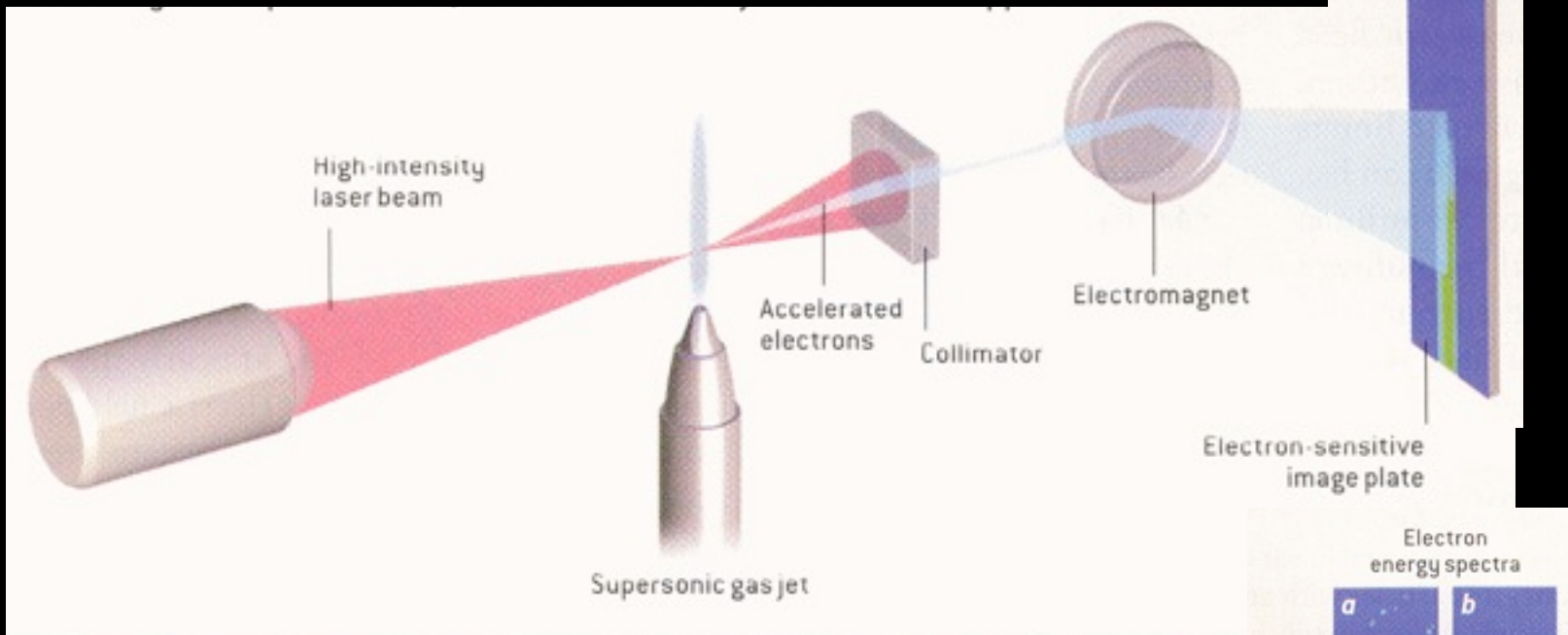
Aceleración en una estela de plasma



BOOSTING A CONVENTIONAL ACCELERATOR

A major experiment using the Stanford Linear Collider (SLC) could demonstrate the feasibility of so-called plasma wakefield afterburners to boost the energy of an otherwise conventional accelerator. The afterburners (inset), consisting of two 10-meter-long units installed at the end of the 50-GeV electron and positron beams of the three-kilometer-long SLC, would double the beams' energies to 100 GeV. Plasma lenses would help to focus the doubled beams to collide at a small point. For technical reasons, the electron afterburner would be filled with plasma, but the positron afterburner would have a hollow axial channel. This proposed experiment has not yet been funded.





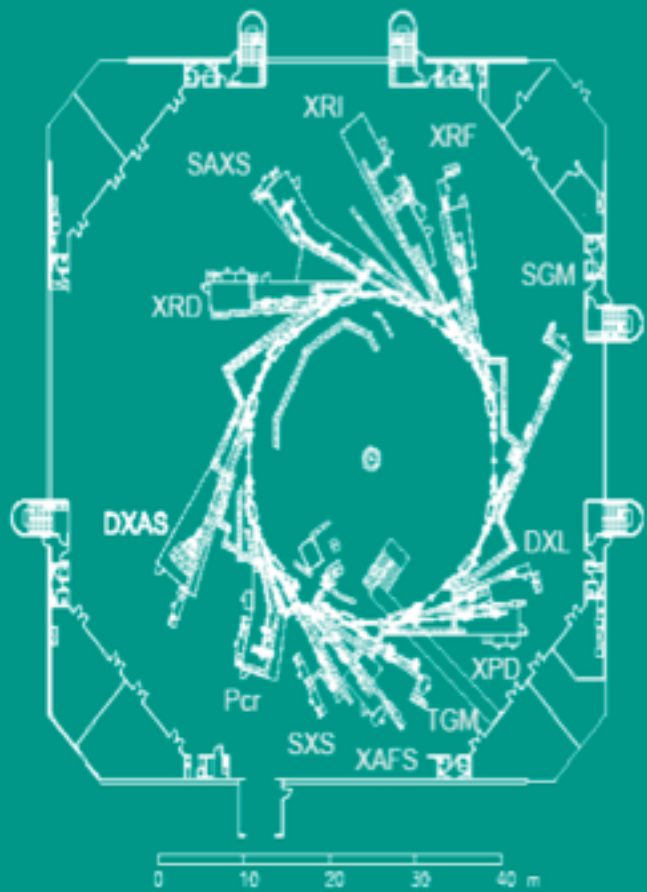
Aceleración en una estela de plasma con láser

enero

2007

mayo

Desarrollo de Aceleradores de Partículas,
Fuente de Luz de Sícrotrón



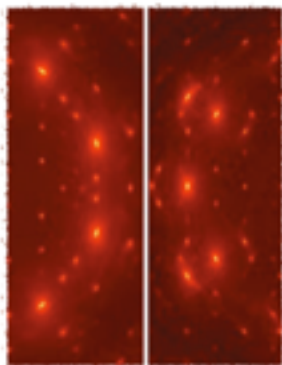
HADRONTHERAPY WORKSHOP

CENTRO DE INVESTIGACIÓN Y ESTUDIOS AVANZADOS
INSTITUTO POLITÉCNICO NACIONAL
MEXICO DF, MEXICO, 28TH-30TH MAY, 2007



HELEN – HIGH ENERGY PHYSICS LATINOAMERICAN EUROPEAN NETWORK
ALFA – EUROPE AID COOPERATION OFFICE

II Taller Mexicano de Fisica de Aceleradores: Una Fuente de Luz



II Mexican Workshop on Accelerator Physics: a Light Source

Puerto Vallarta, México
November 22-24, 2010

Invited Speakers:

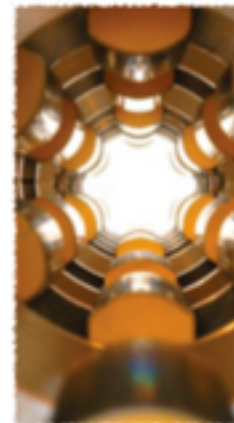
Joan Bordas, ALBA, Spain

Robert Hettel, SLAC, USA

Boris Podobedov, BNL, USA

José Roque, LNLS, Brazil

Hanspeter Vogel, Research Instruments, Germany



Additional information and registration
www.fisica.unam.mx/matias/iimwpa
armando@fis.unam.mx

Organizing Committee

Armando Antillón, UNAM, Ciencias Fisicas

Guillermo Contreras, Cinvestav, Mérida

Gerardo Herrera, Cinvestav, D.E.

Ricardo López, Cinvestav, D.E.

Matias Moreno, UNAM, Fisica

Tomás Viveros, Conacyt

SR first observed - 1946

J. Blewett

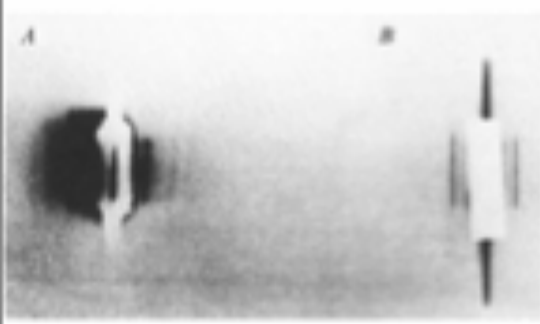
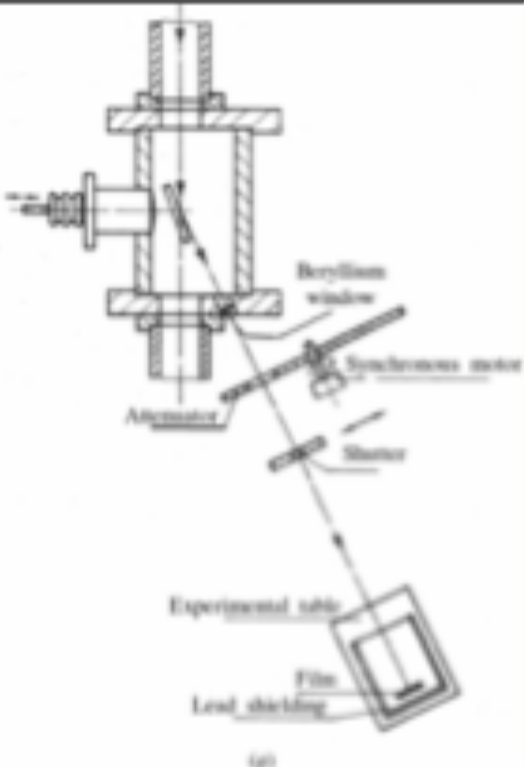
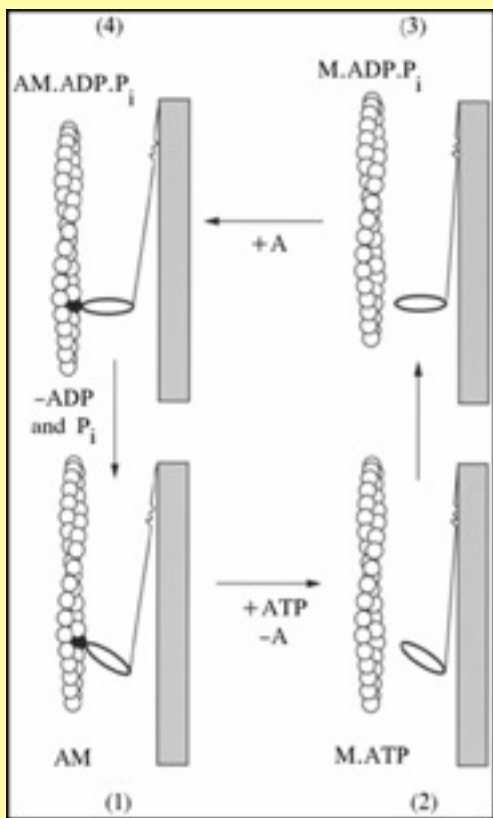
1947 - 70 MeV

synchrotron

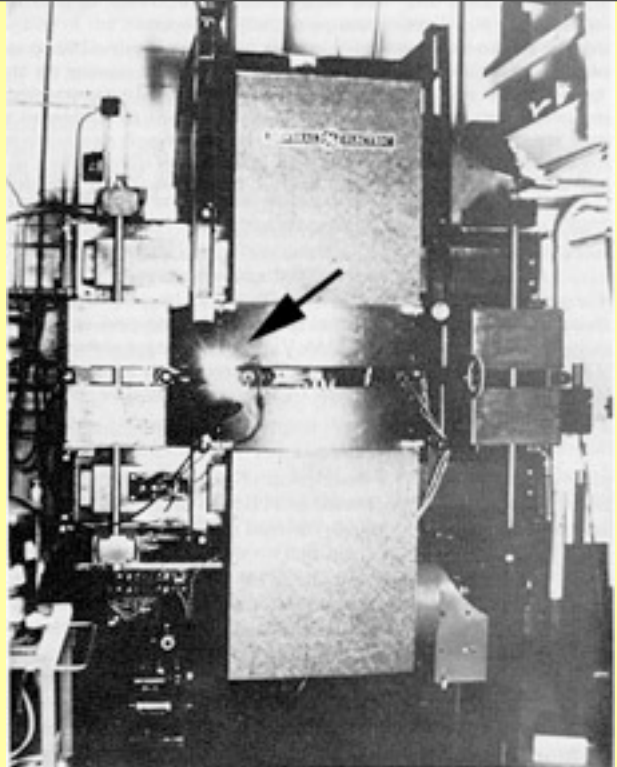
Pollock H. C. et al.

1949 J. Schwinger 'On the
classical radiation of accelerated
electrons' *Phys Rev.* 75, 1912

-definitive theoretical work.



first SR image
of muscle - 1972



70 MeV electron synchrotron
General Electric Research Lab

12min SR

24h Lab

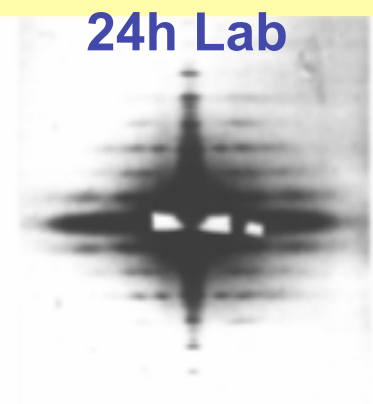
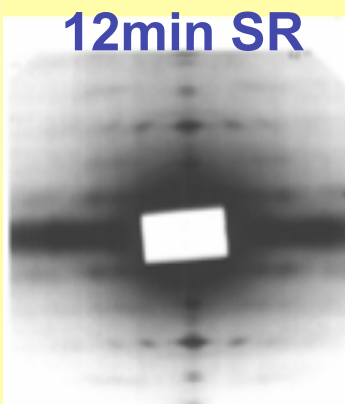


Figure 5
X-ray diagram from resting muscle; synchrotron radiation source (beamline 23.3 on the storage ring DESY2 at DESY Hamburg); 12 min exposure (80mJ).

Figure 6
X-ray diagram from frog muscle, laboratory X-ray source (200 mm monochromator camera); 24 h exposure.

Nobel Prizes based on discoveries through X-ray work

Physics

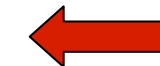
- 1901 Wilhelm Röntgen
- 1914 Max von Laue
- 1915 Sir William Henry Bragg
Sir William Lawrence Bragg
- 1917 Charles Barkla
- 1924 Karl Manne Siegbahn
- 1927 Arthur Compton
- 1981 Kai Siegbahn

Chemistry

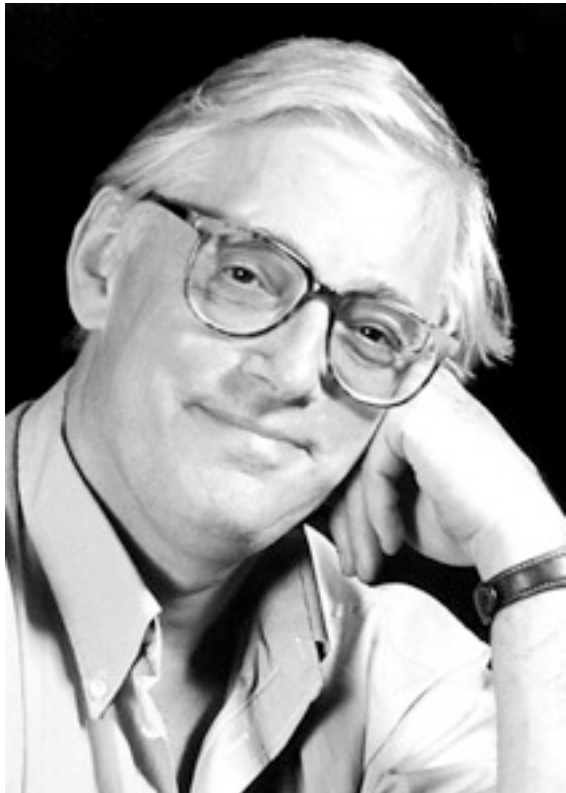
- 1936 Peter Debye
- 1962 Max Perutz
Sir John Kendrew
- 1964 Dorothy Hodgkin
- 1976 William Lipscomb
- 1985 Herbert Hauptman
Jerome Karle
- 1988 Johann Deisenhofer
Robert Huber
Hartmut Michel
- 1997 Paul D. Boyer
John E. Walker

Physiology or Medicine

- 1946 Hermann Joseph Muller
- 1962 Francis Crick,
James Watson
Maurice Wilkins
- 1979 Alan M. Cormack
Sir Godfrey N. Hounsfield



1997 Nobel Prize in Chemistry Awarded to John Walker and Paul D. Boyer



"for their elucidation of the enzymatic mechanism underlying the synthesis of adenosine triphosphate (ATP)"

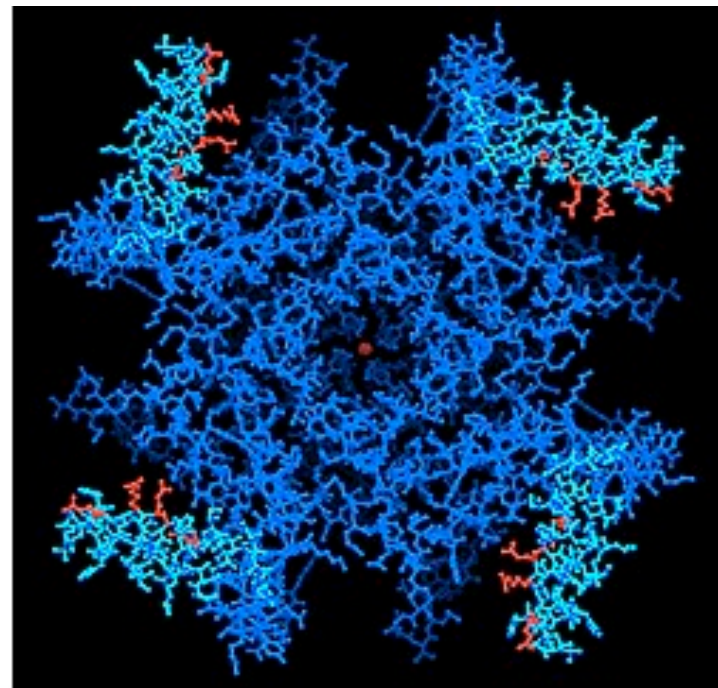


2003 Nobel Prize in Chemistry Awarded to Researcher Roderick MacKinnon

**MacKinnon's Research Conducted at
Brookhaven's National Synchrotron Light Source
and Cornell's High Energy Synchrotron Source**



MacKinnon



An overhead view of a voltage-dependent potassium ion channel shows four red-tipped "paddles" that open and close in response to positive and negative charges. This structure, discovered by Rockefeller scientists, shows for the first time the molecular mechanism by which potassium ions are allowed in and out of living cells during a nerve or muscle impulse.

2006 Nobel Prize in Chemistry

Kornberg, Roger D., U.S.A., Stanford University,
Stanford, CA

•Professor Roger D. Kornberg has been awarded the Nobel Prize in Chemistry for determining how DNA's genetic blueprint is read and used to direct the process for protein manufacture. Kornberg carried out a significant part of the research leading to this prize at the Stanford Synchrotron Radiation Laboratory (SSRL), a Department of Energy (DOE)-supported research facility located at the Stanford Linear Accelerator Center (SLAC). Kornberg also carried out research at the Advanced Light Source, another DOE-funded synchrotron light source located at the Lawrence Berkeley National Laboratory.



Nobel Prize in Chemistry 2009

Israel's scientist Prof. Ada E. Yonath was awarded the 2009 Nobel Prize in Chemistry, along with two U.S. scientists. Essential parts of her studies of the structure and function of the ribosome, a component of the cell that translates the genetic code into the production of proteins, were made at DESY's accelerator DORIS.

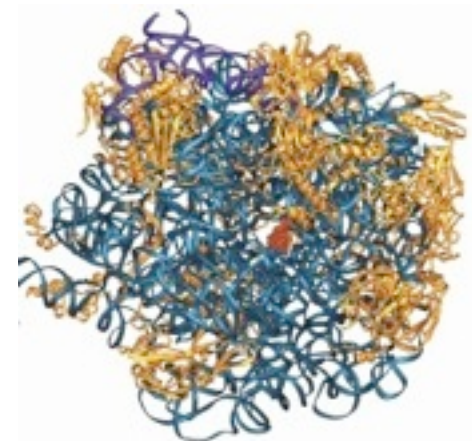


Photo: MRC Laboratory of Molecular Biology

Venkatraman
Ramakrishnan



Credits: Michael
Marsland/Yale University

Thomas A. Steitz



Credits: Micheline
Pelletier/Corbis

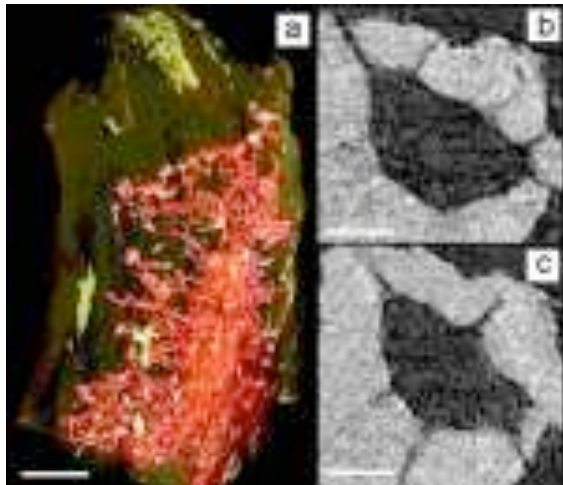
Ada E. Yonath



3D imaging of bone structure key to understanding bone health

SSRL Science Summary, June 2010 - Raven Hanna

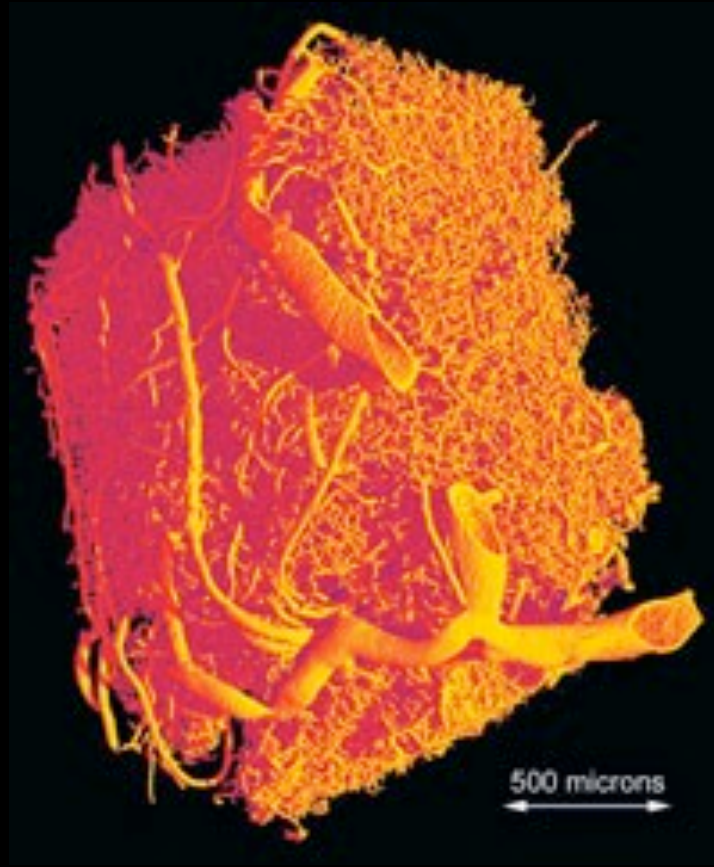
Stanford Synchrotron Radiation Lightsource, Menlo Park, CA.



**tomografía de una
trabecula de hueso
de -90 a 90 grados**

Imagen 3D

A team that included scientists from NASA Ames Research Center, Cornell University, Xradia Inc., and SSRL has developed a technique that can be used to image bone structure in 3D at high (30 nanometer) resolution. They used the transmission X ray microscope (TXM) on SSRL beam line 6-2 to visualize bone from mice that had undergone a process to simulate weightlessness. Using mathematically reconstructed tomography (nano-CT) images, they created a 3D image of the bone's nanostructures. The scientists were also able to measure bone density on a fine scale.

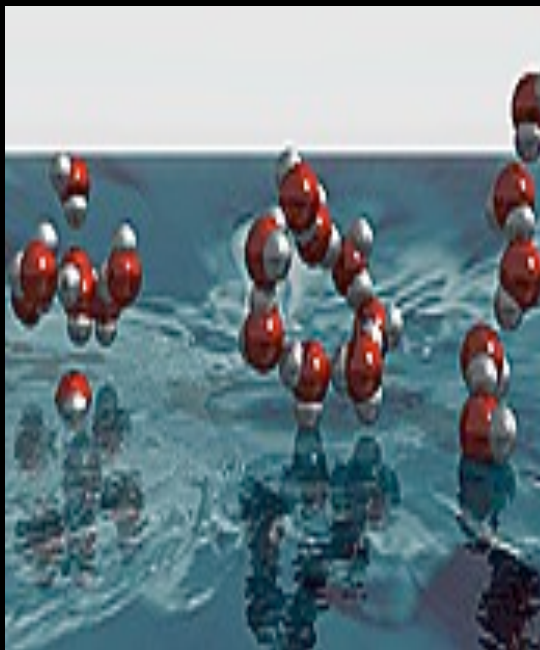


*3D reconstruction of the brain of a transgenic mouse,
study of Alzheimer's disease, Krucker et al.
(SCRIPPS, UZh, ETHZ, PSI).
(Courtesy: Swiss Light Source/PSI)*



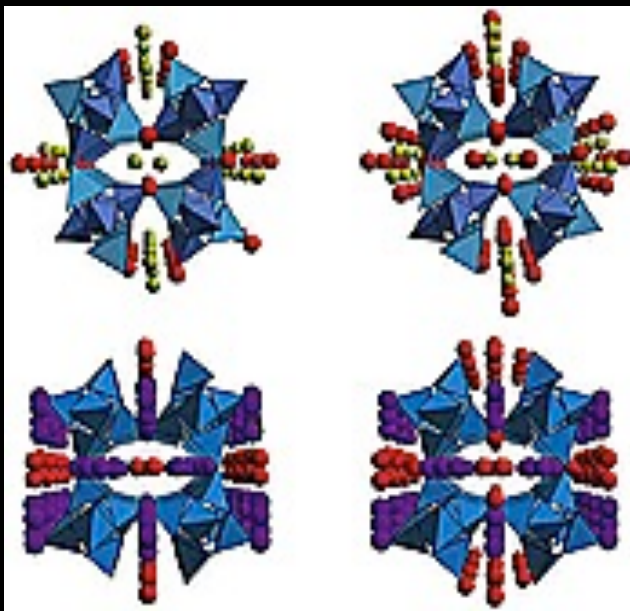
Selective detection of isomers with photoionization mass spectrometry for studies of hydrocarbon flames

T.A Cool et al., *J. Chem. Phys.* **119**, 8356 (2003).



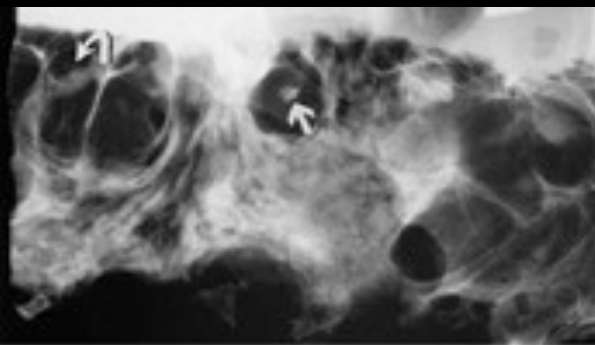
The structure of the first coordination shell in liquid water

Ph. Wernet, et al. *Science* **304**, 995 (2004).



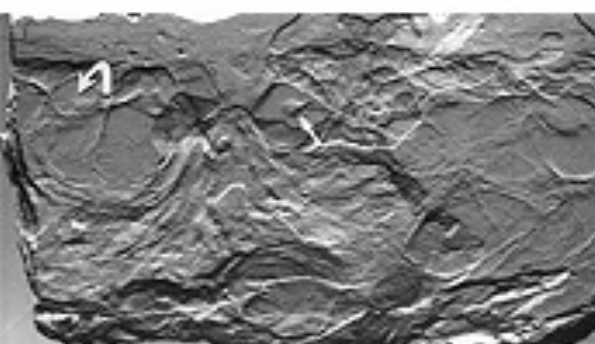
Non-framework cation migration and irreversible pressure-induced hydration in a zeolite

Y. Lee, et al. Nature 420, 485 (2002).

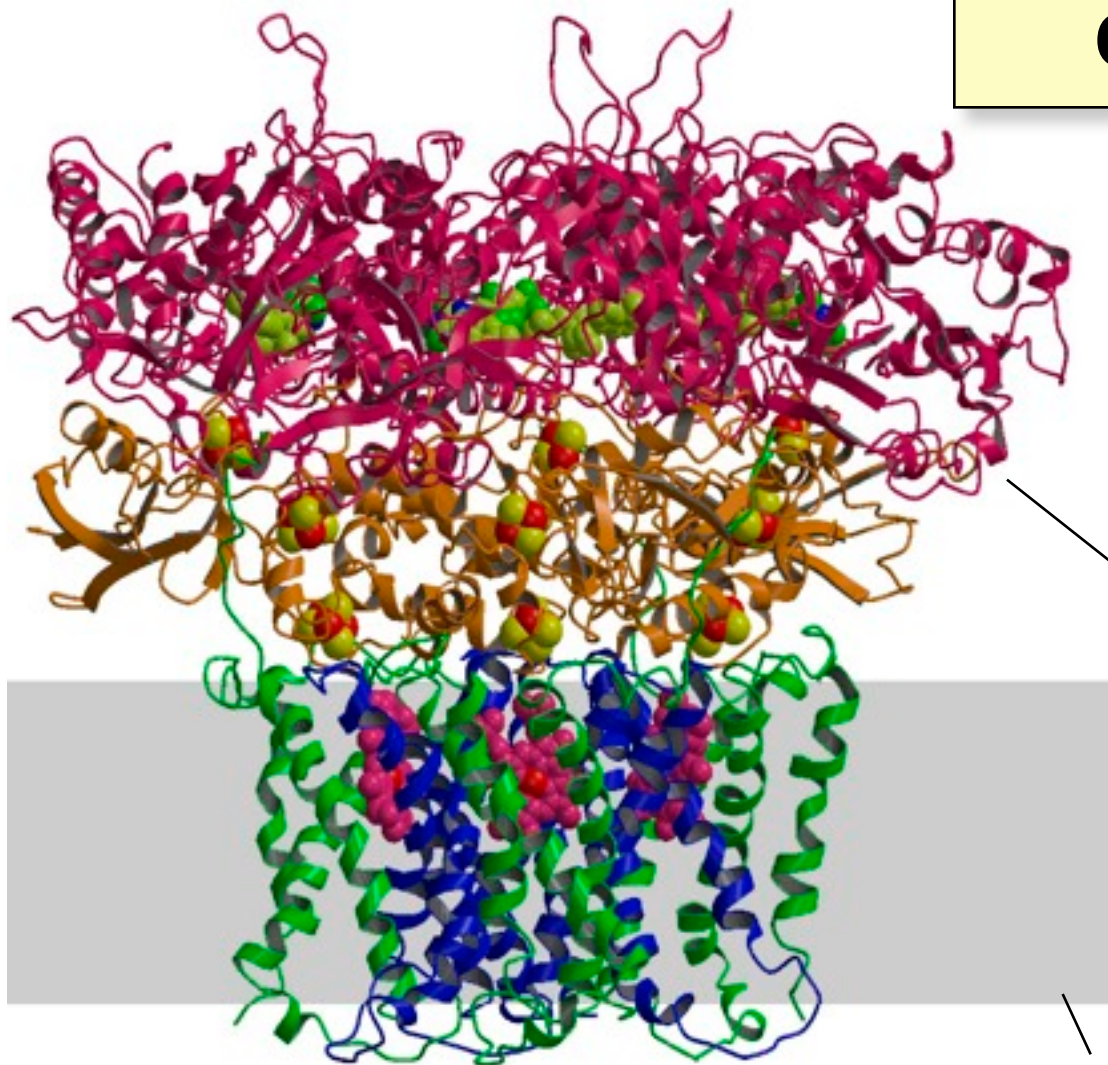


Human breast cancer specimens: Diffraction-enhanced imaging with histologic correlation—Improved conspicuity of lesion detail compared with digital radiography

E.D. Pisano, et al. Radiology 214, 895 (2000).



Protein Cristallography



Growth of Bio-Molecules into
Crystals (size 5-50 μm)

=> Reconstruction with
diffraction of X-Rays

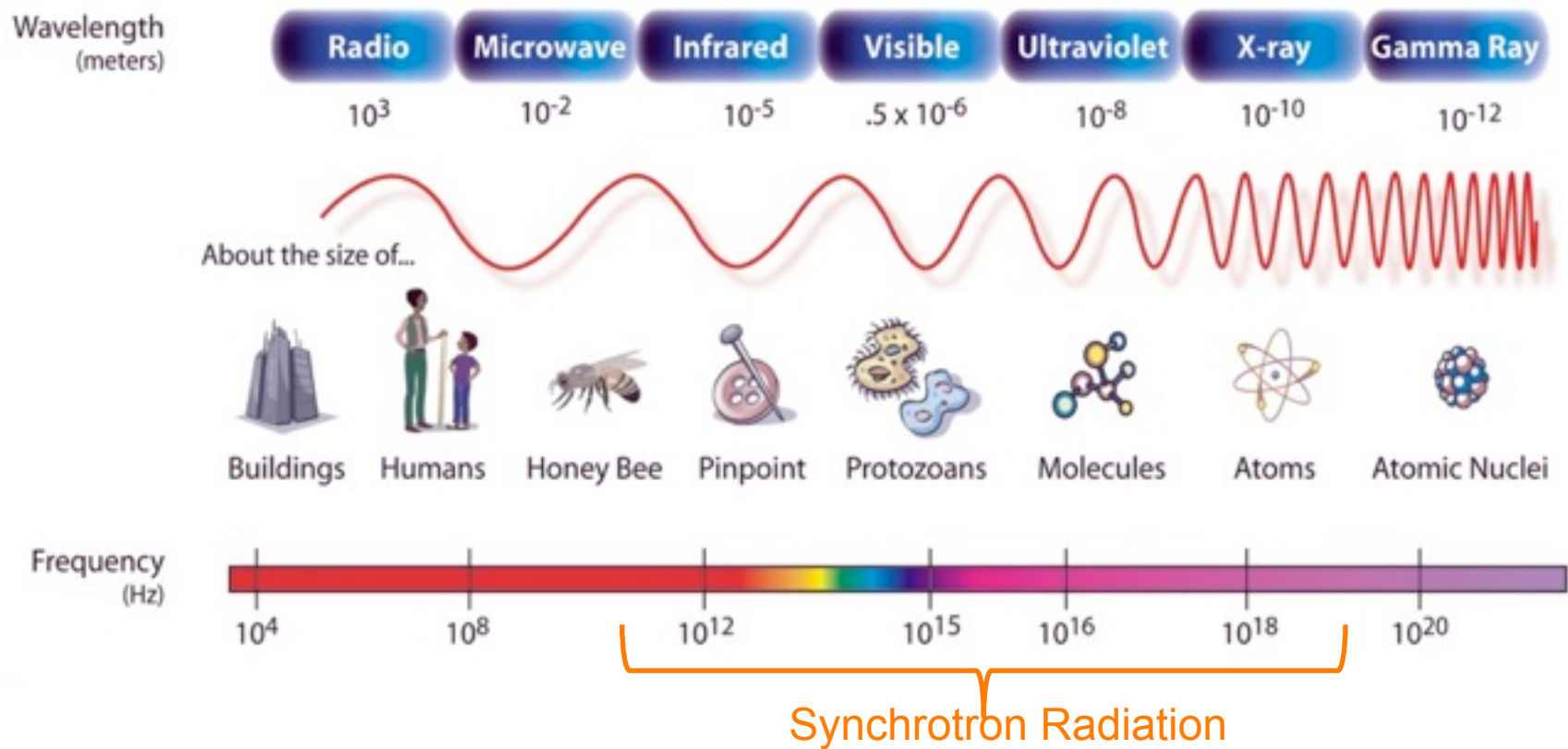
Succinat-Dehydrogenase,
(Komplex II) is part of
breathing chain

Membrane



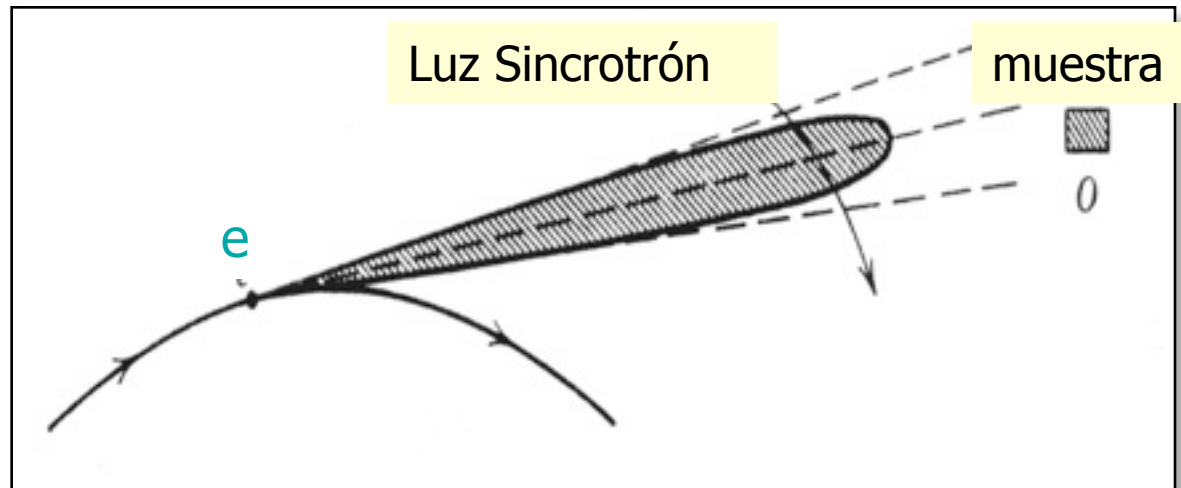
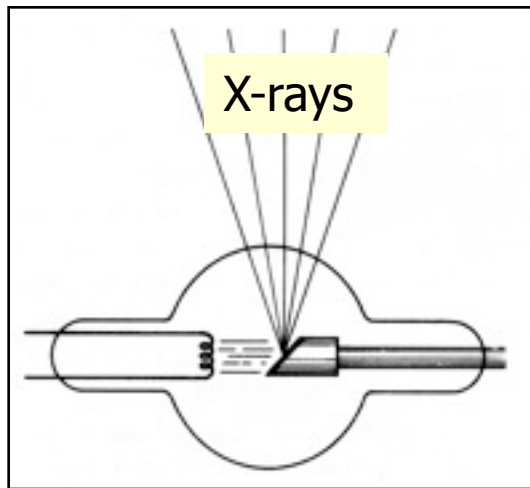
- **impacto en la ciencia tecnología del siglo XX → XXI**
- **sociológico: imagen de modernidad, competitividad...**
- **problema energético**
- **una nueva forma de hacer ciencia en el país**
súper nodo → red
- **tratamiento de basura nuclear**
- **oncología hoy y mañana - hadroterapia**
- **la luz de sincrotrón es para todos !!!**
- **tecnología de mañana e. g. aceleración por plasmas**
- **Formación de recursos humanos**
comunidad de usuarios, operadores etc.

SR Spectrum



To “see” atoms, molecules & nanostructures you need light with wavelengths comparable to the size of those objects (UV, X-rays)

Producción de rayos X



Producción con tubo
(60-90kV)

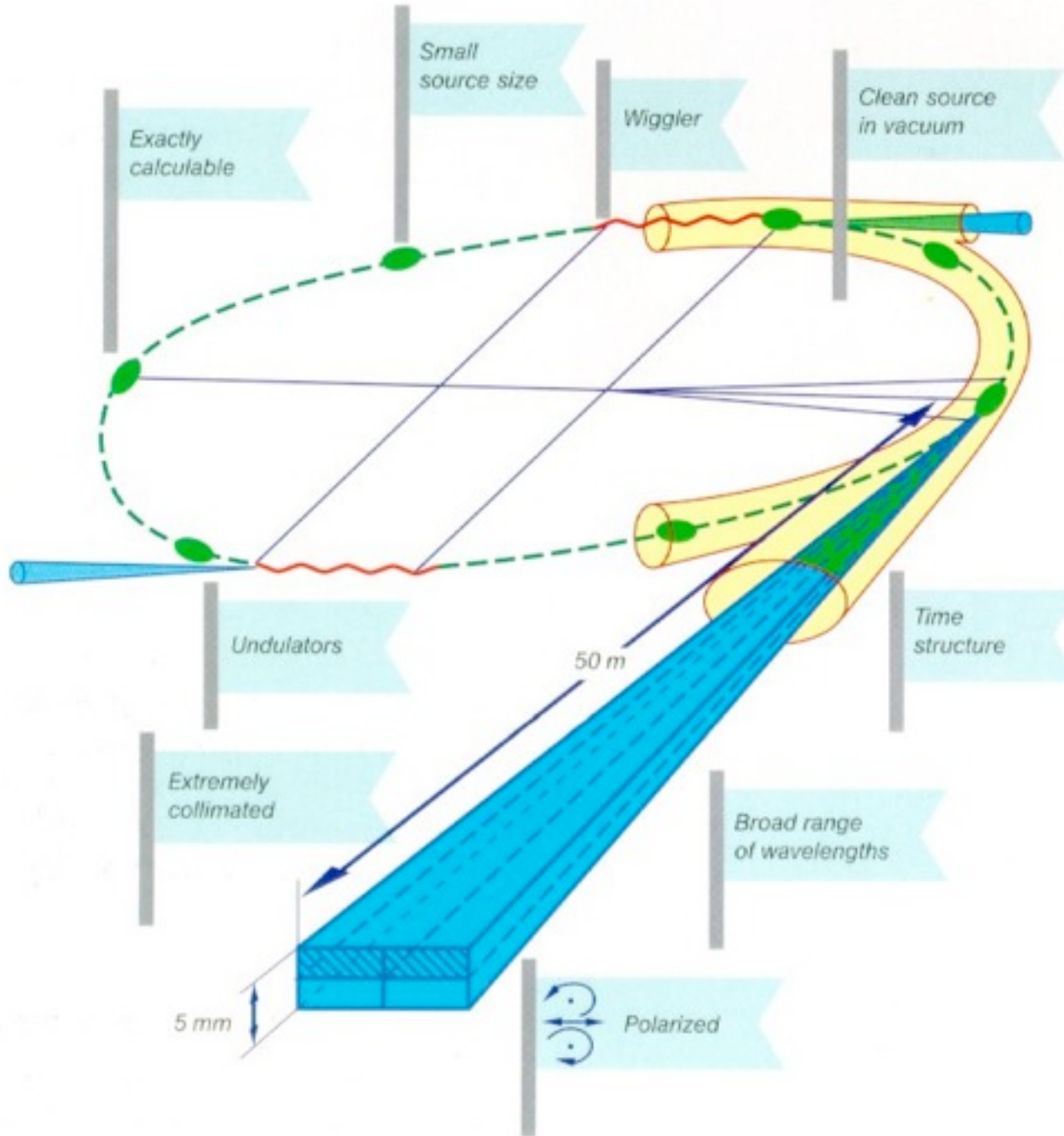
Haz muy ancho

→ objetos grandes

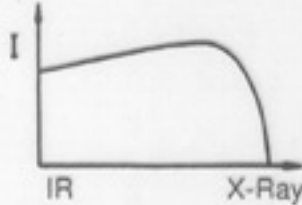
Producción con electrones rápidos en
campos magnéticos

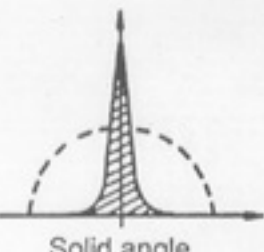
Intensidad, coherencia, colimación

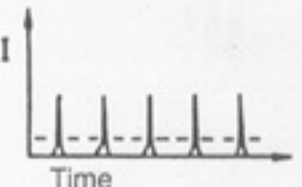
→ micro estructuras

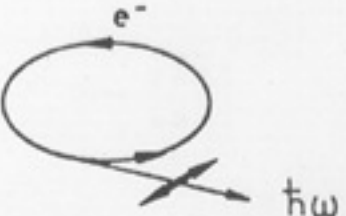


Important Characteristics of Synchrotron Radiation

- 1) 

Continuous spectrum
- 2) 

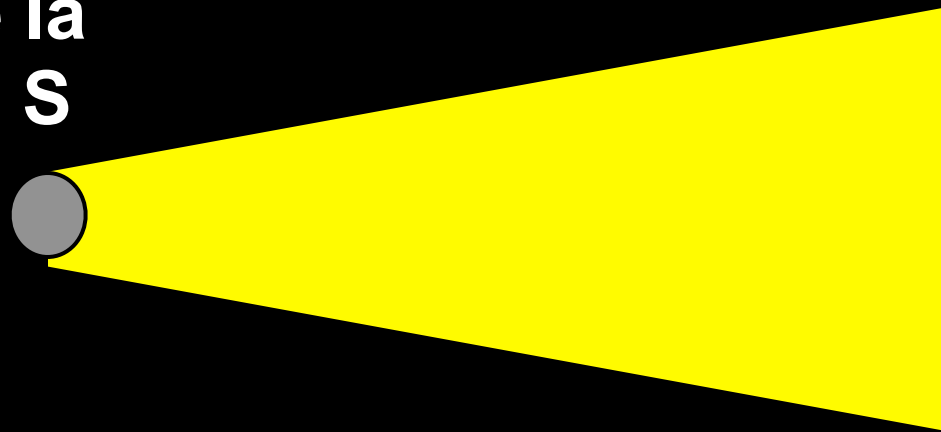
Emission in small solid angle
- 3) 

Pulsed time structure
- 4) 

High degree of polarisation
- 5) Properties can be calculated/predicted

Brillantez

área de la
fuente, S

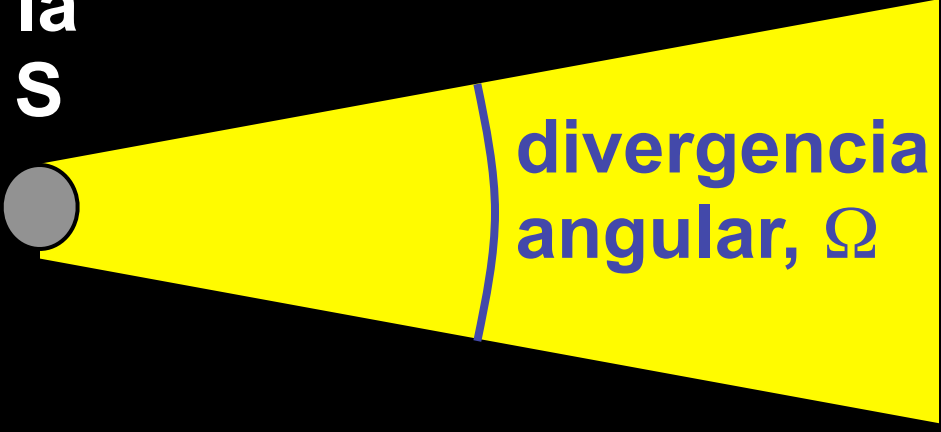


Flujo F

$$\text{Brillantez} = \frac{F}{S \cdot \Omega}$$

Brillantez

área de la
fuente, S



divergencia
angular, Ω

Flujo F

$$\text{Brillantez} = \frac{F}{S \cdot \Omega}$$

flujo = fotones/segundo

I = corriente de electrones en el anillo

$\sigma_x \sigma_y$ = área de la fuente de radiación

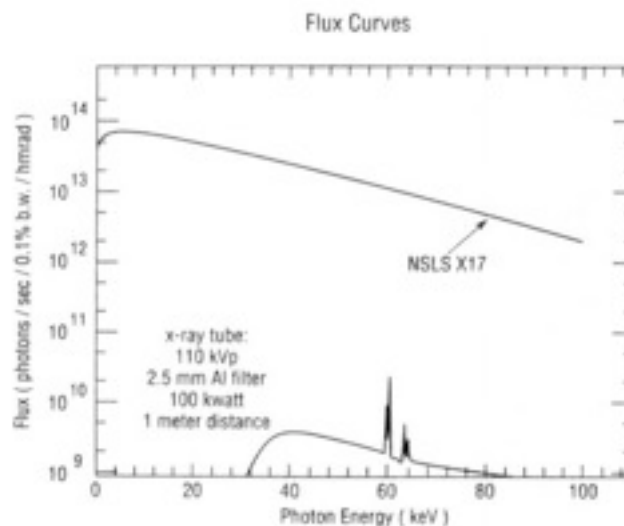
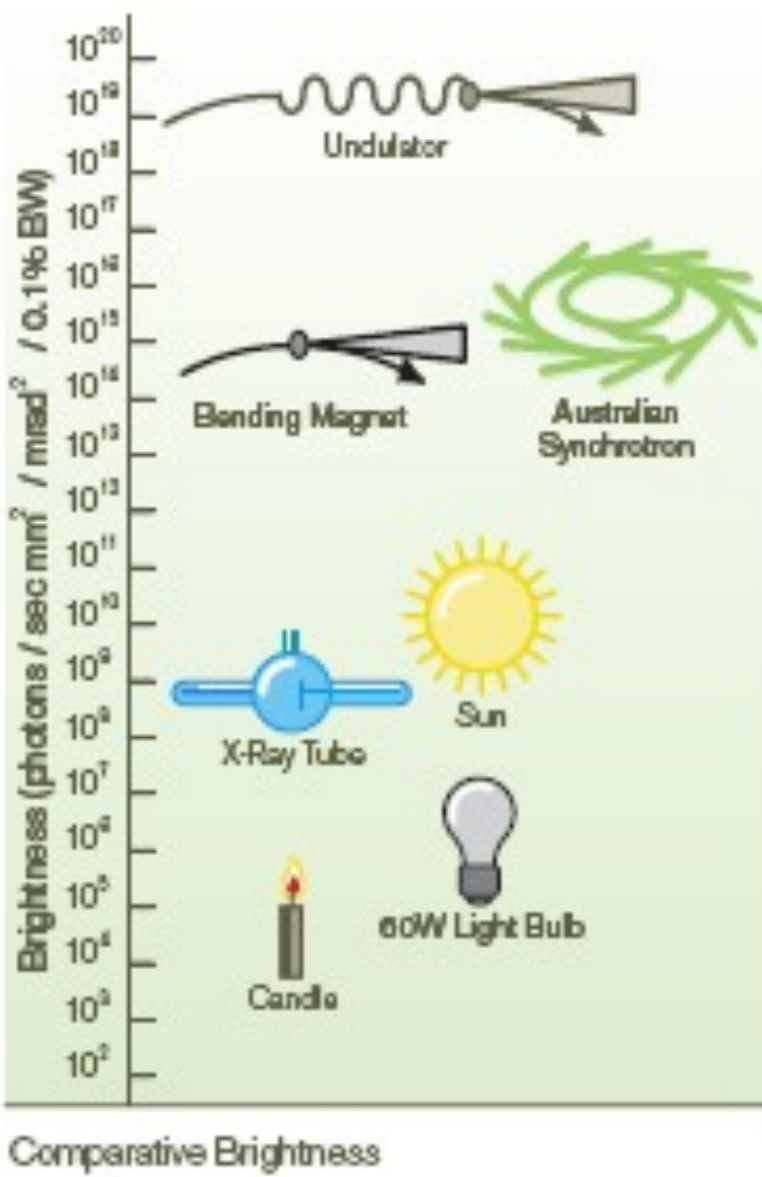
$\sigma'_x \sigma'_y$ = ángulo sólido en el cual es emitida la radiación

BW = ancho de banda de la energía de fotones

$$\text{Brillantez} = \frac{\text{flujo}}{I} \frac{1}{\sigma_x \sigma_y \sigma'_x \sigma'_y \text{ BW}}$$

$$\text{Unidades} = \frac{\text{fotones}}{\text{seg } mm^2 mrad^2 0.1\%BW}$$

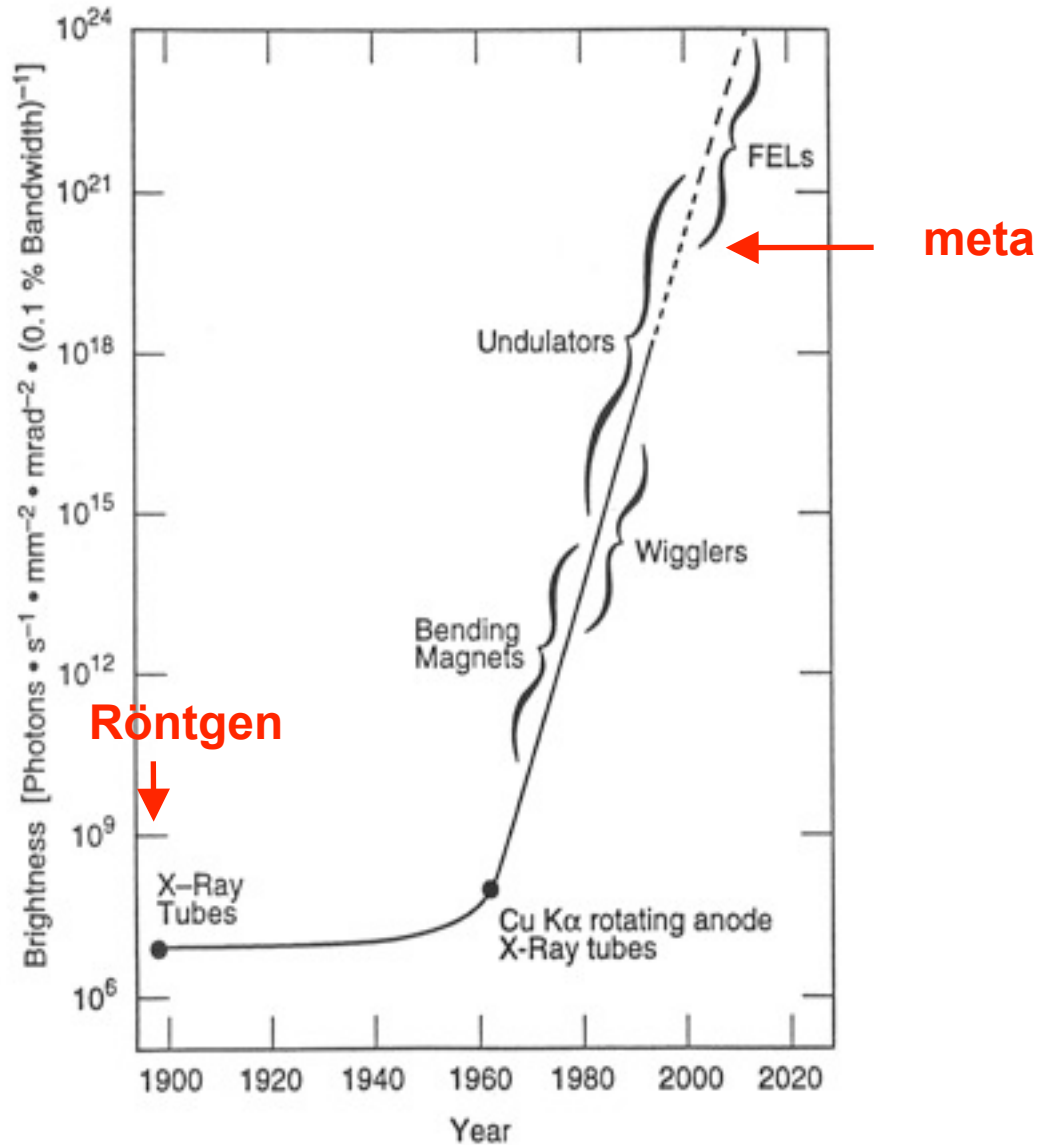
para una corriente del anillo dada (típicamente 100mA)



Brookhaven NSLS, National Synchrotron Light Source

Brillantez de Rayos

'Brightness'= performance of a light tower



¿ Que se puede hacer en una fuente de luz de sincrotrón ?

Biología (cristalográfia de proteínas, biología celular)

**Investigación medica (microbiología, imaginología de alta resolución
oncología)**

**Ciencias químicas del medio ambiente (toxicología, investigación atmosférica
tecnología de procesos industriales de producción limpia)**

**Agricultura (geonómica de plantas, estudios de suelos, imaginología animal
y de plantas)**

Estudios forenses (análisis de muestras pequeñas y diluidas)

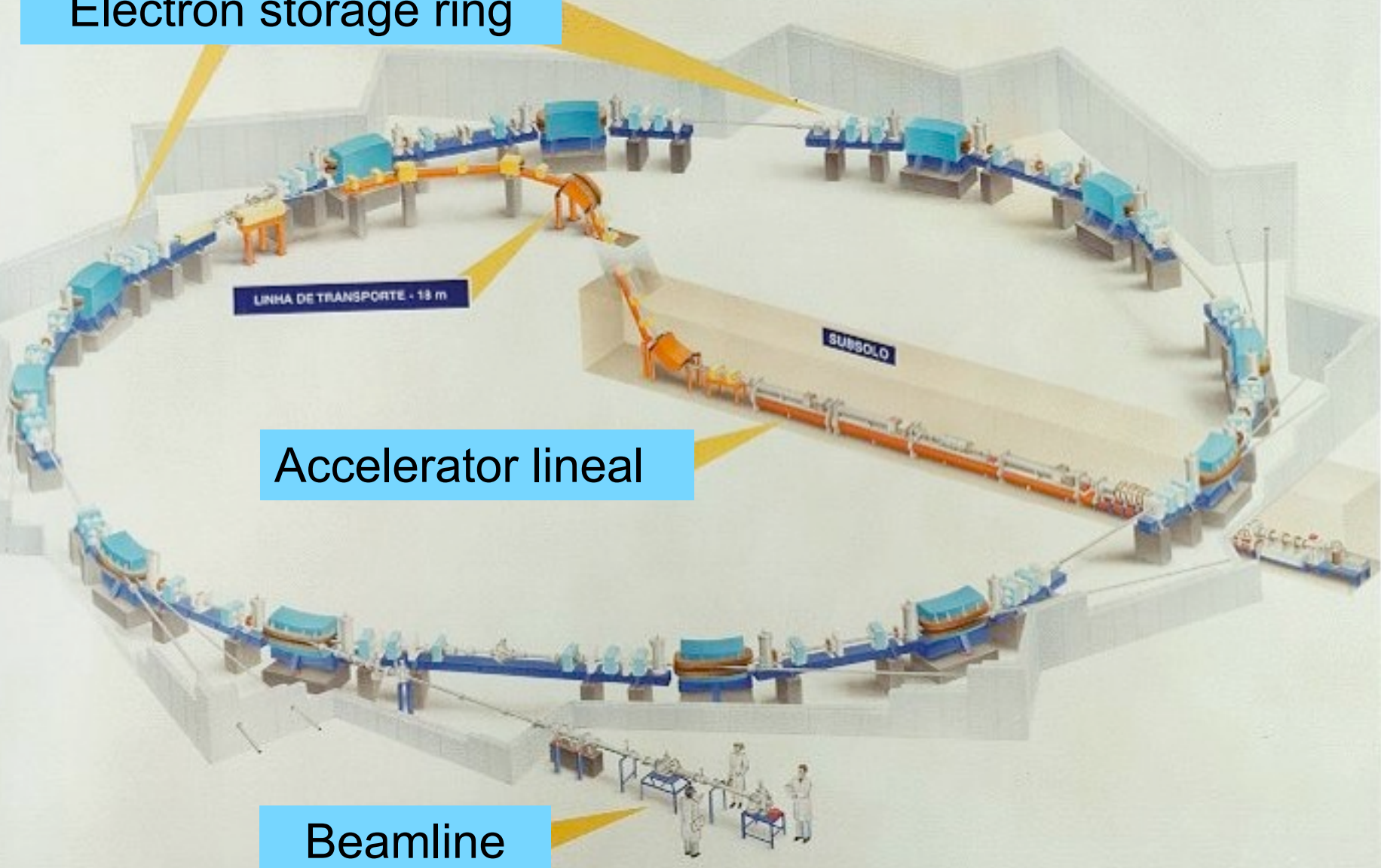
Estudio de materiales

**Materiales avanzados (nanociencias, polímeros inteligentes, cerámicas,
metales livianos y aleaciones, materiales para electrónica)**

**Ingeniería (imaginología de procesos industriales en tiempo real,
estudios de catálisis en procesos químicos de gran escala)**

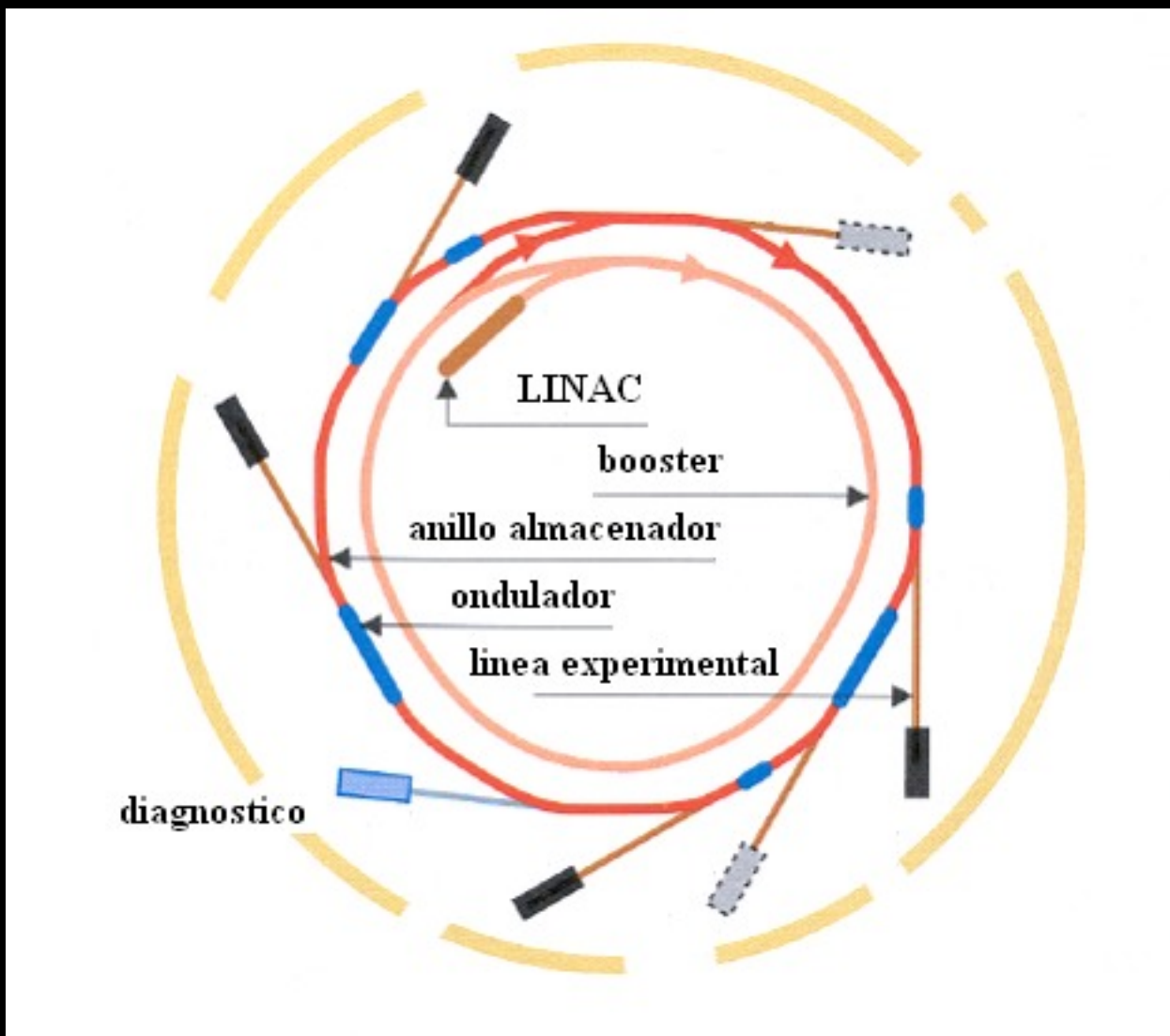
**Exploración de minerales (análisis rápido de muestras, caracterización de
minerales)**

Electron storage ring

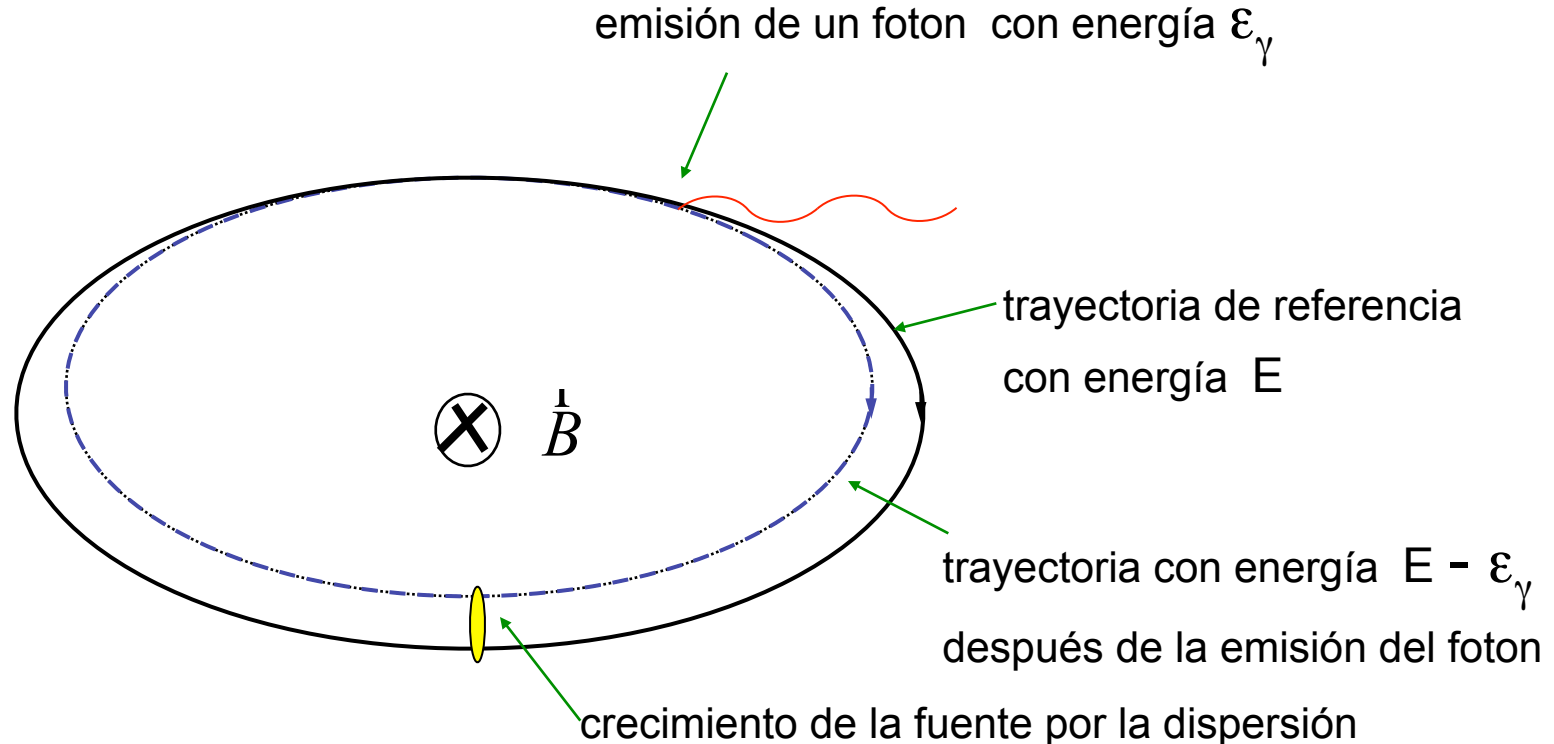


Beamline

Componentes



El campo magnético de los dipolos produce crecimiento de la fuente de radiación de sincrotron es decir grandes emitancias



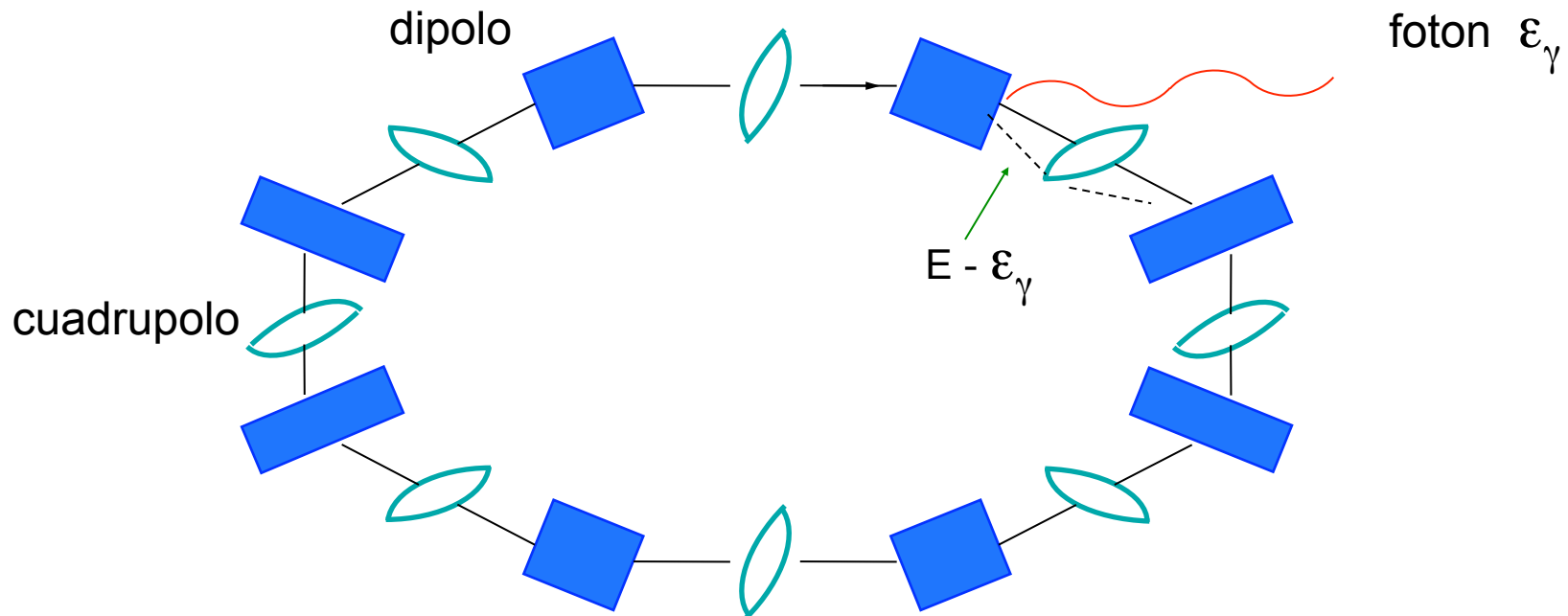
Receta: para un anillo almacenador con emitancia pequeña construir un anillo grande con muchos magnetos separados

Un electron que emite una energía ϵ_{γ} , pierde esa energía y en el siguiente dipolo sera desviado en mayor grado.

Los cuadrupolos enfocan de nuevo al electron para el siguiente dipolo.
Esto mejora la emitancia del haz.

$$\epsilon \sim n^{-3} \quad (n = \text{numero de dipolos})$$

bueno emitancia implica muchos dipolos



idea general

Calidad

alta brillantez, emitancia pequeña,
→ circunferencia grande con muchos magnetos

Flexibilidad

secciones rectas 4 m, 7 m and 11 m

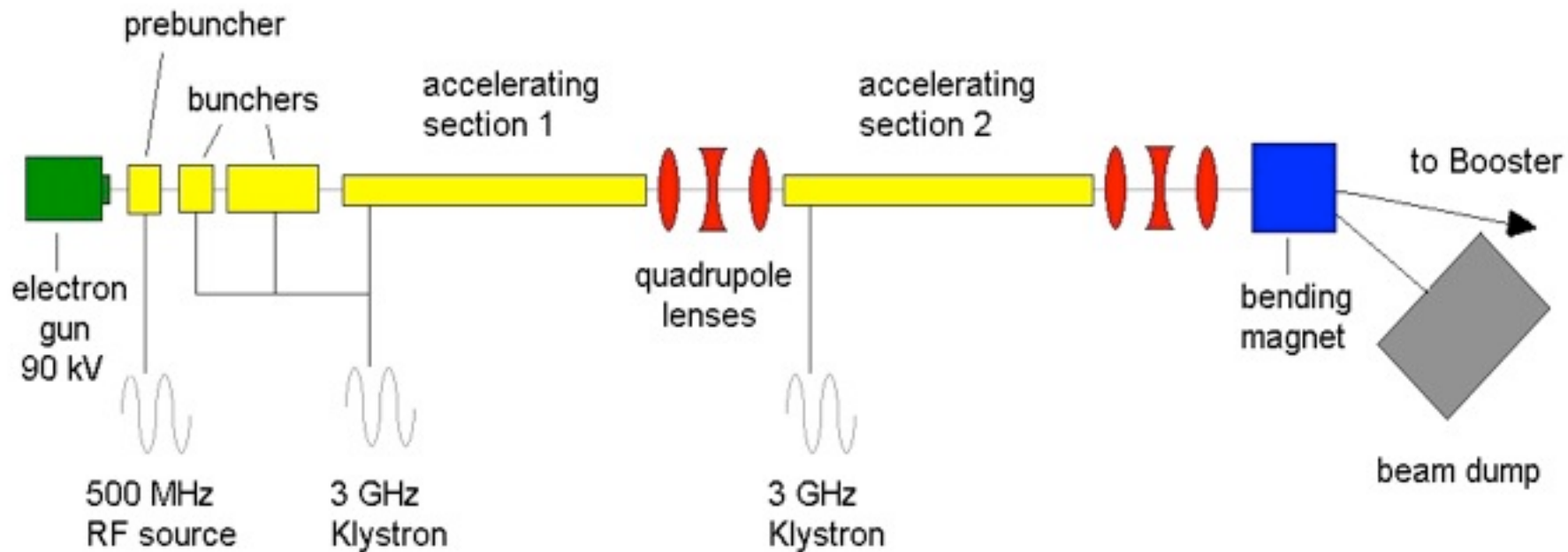
Estabilidad

separación de la estructura del edificio del suelo

control de temperatura en el tunel y en el hall de experimentos

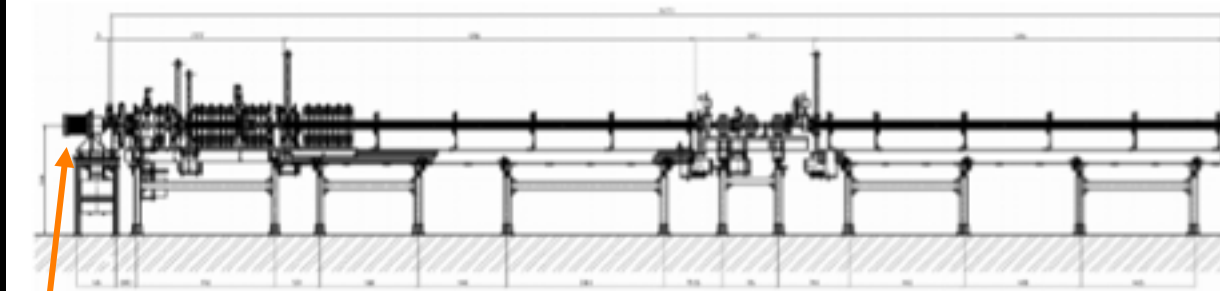
posicionamiento de magnetos y soportes rigidos

LINAC de 100

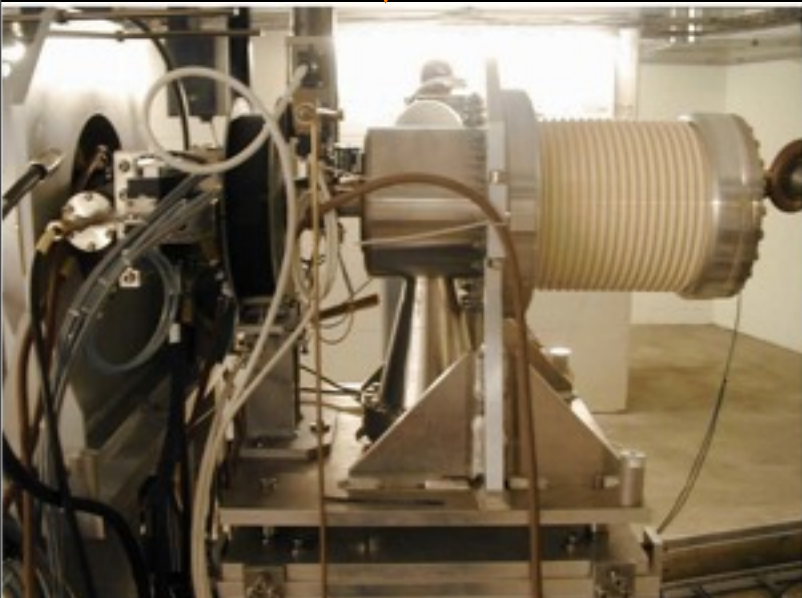


Electron Gun 90 keV

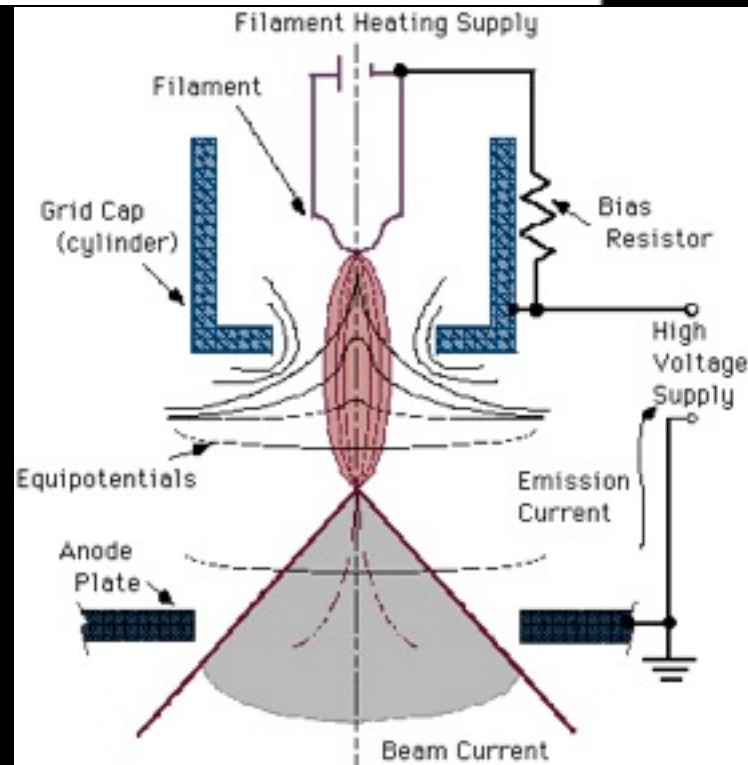
Linac (11m long) 100 MeV



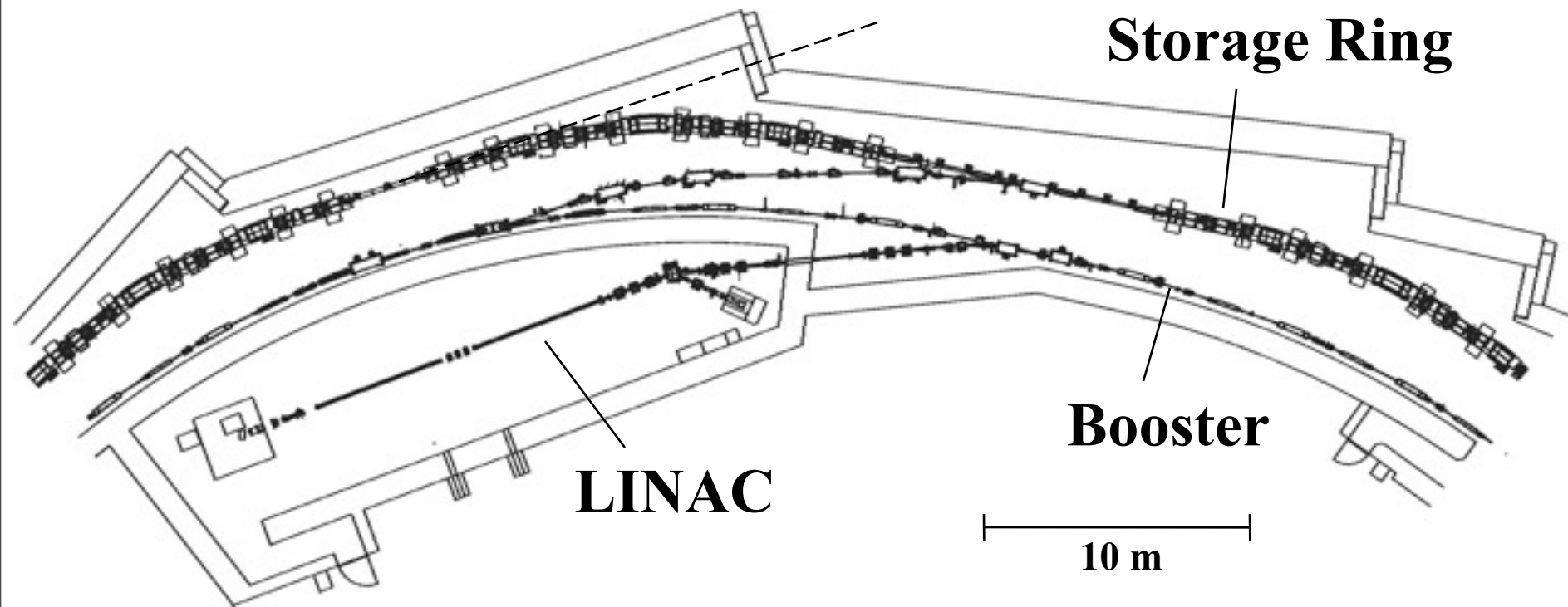
100 MeV Electron Linear Accelerator
for a possible Synchrotron Project at Mexico



90 KeV Thermionic Gun



área de inyección



Booster RF II

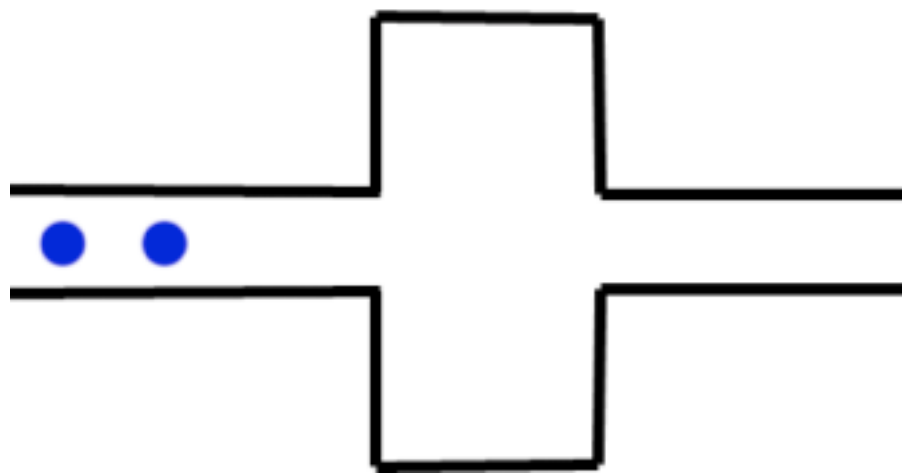


RF Cavities
Based on PETRA design, 5 cell

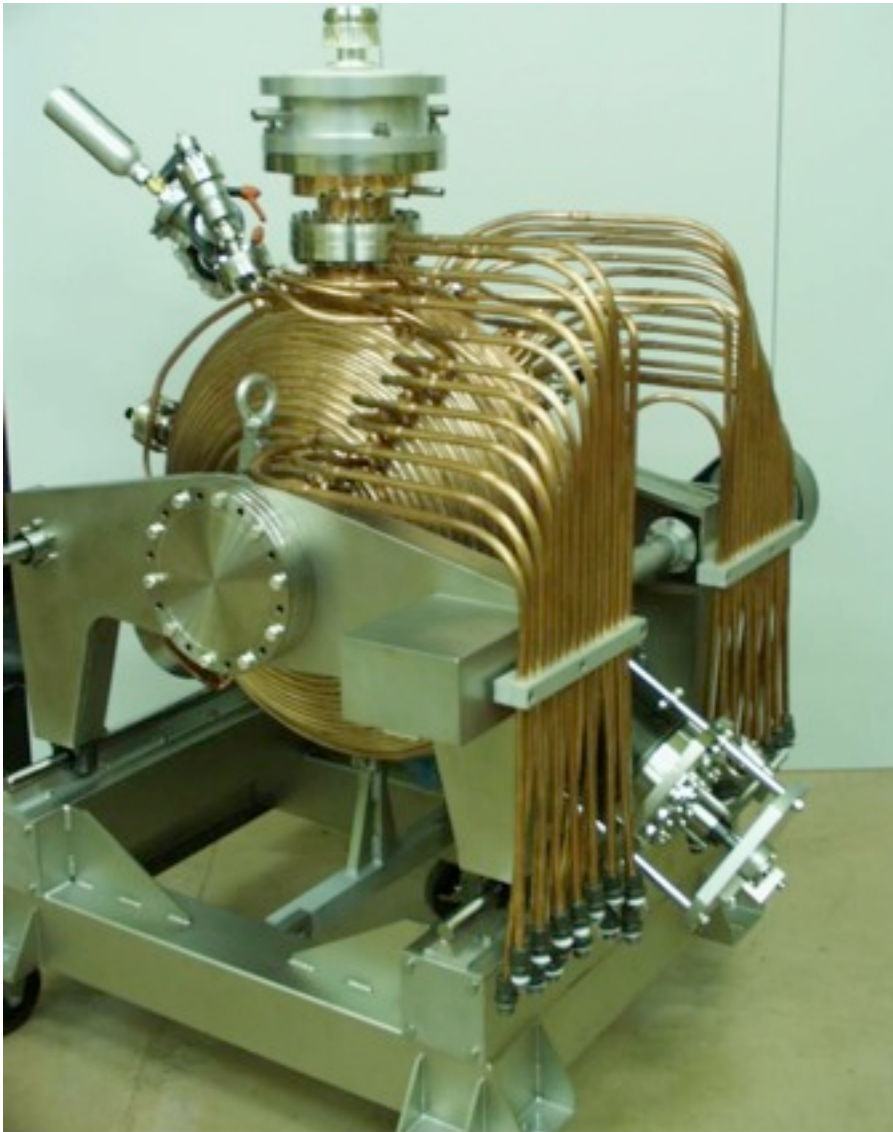
500 MHz Five Cell
cavities used at
DESY
and in a number
of booster rings:

**DIAMOND
Light Source
(DLS)**
**Canadian Light
Source (CLS)**

**Australian
Synchrotron
Project (ASP)**
**Shanghai Light
Source (SSRF)**
**ALBA/CELLS
Spain,
Barcelona**



Cavidad de radiofrecuencia



Los electrones generan
200 kW de rayos X

Esta potencia tiene que ser
alimentada por un sistema de
Radio frecuencia

Cavidad = Resonador de Cobre,
frequencia 500 MHz

5 Cavidades en el anillo de
almacenamiento,

1 Cavidad en el Booster

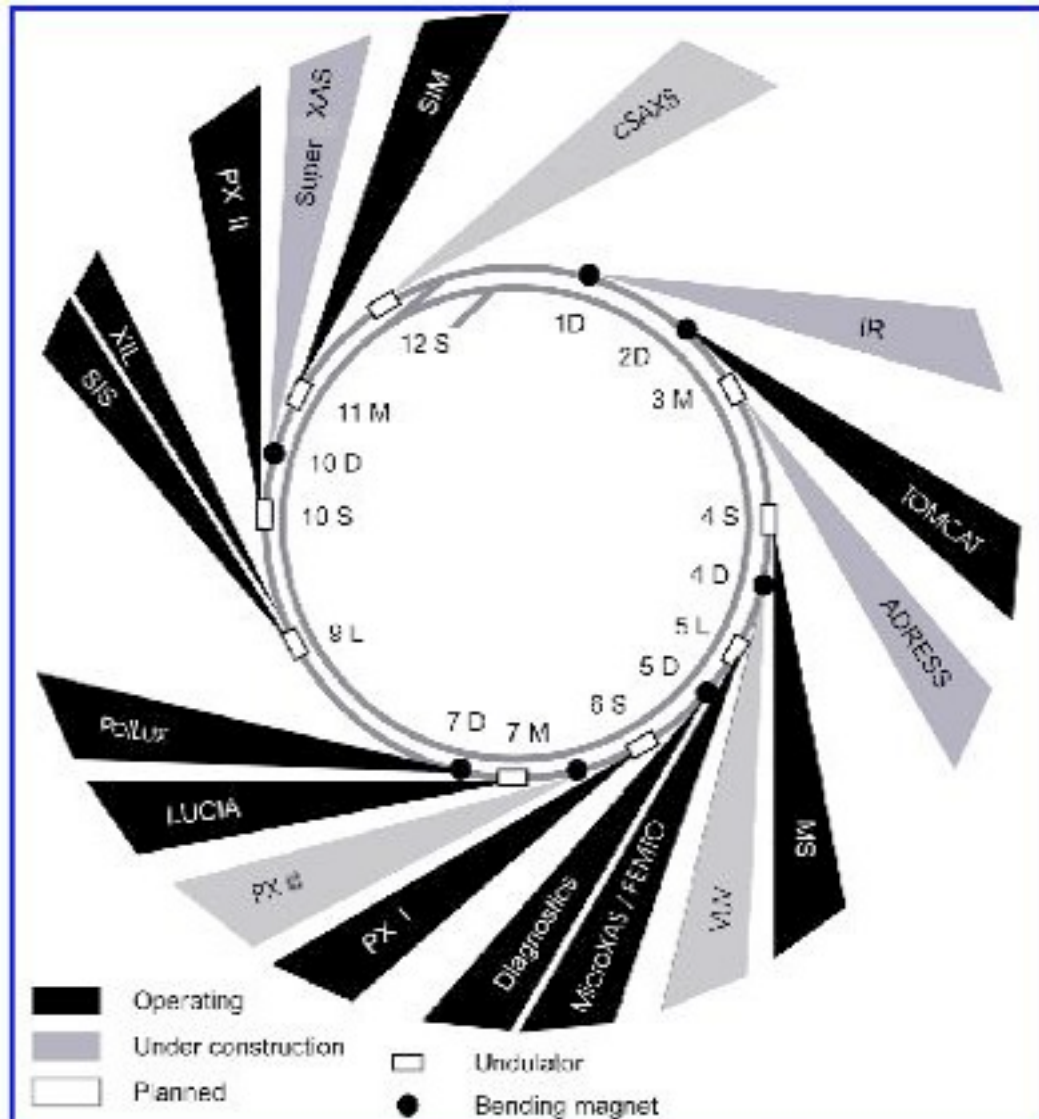
600 kV Voltage

55 kW Power Loss/Cavity

Líneas experimentales

inicio con 5 líneas:

- 1D Infrared (commissioning)
- 2D Tomography
- 3M Spectroscopy
- 4S Material Sciences
- 5L Environment/Materials
- 6S Protein Crystallography I
- 7M Environment/Materials
- 7D Microspectroscopy
- 9L Surfaces, Spectroscopy
- 10S Protein Crystallography II
- 11M Surfaces, Spectroscopy



montos

Acelerador Lineal	52,000,000	pesos
Pre-acelerador	16,000,000	
Módulos SRF	61,000,000	
Magnetos del anillo de almacenamiento	54,000,000	
Infraestructura para fabricación de magnetos	54,000,000	
Alimentación de magnetos	3,000,000	
Cámara de vacío	48,000,000	
Edificio del acelerador	217,000,000	*
Líneas de luz (5)	239,000,000	
Validación y entrega	109,000,000	
Entrenamiento y formación	43,000,000	*
Equipos accesorios	54,000,000	
SUB-TOTAL	\$ 950,000,000	

Optica en el anillo de almacenamiento, dispositivos de inserción, personal, línea de transporte

Fondos concurrentes

Por parte de la entidad federativa que adopte el proyecto

- donación de terreno
- edificios para oficina, laboratorios, biblioteca, comedor

Por parte de las instituciones participantes

En la etapa de investigación, diseño y desarrollo:

- nómina de investigadores, técnicos e ingenieros involucrados
- materiales y movilidad en la etapa de investigación y desarrollo

¿ que tenemos ?



Pabellón Van de Graaf 1953 en Ciudad Universitaria



Fernando Alba



Carlos Graef Fernández



Manuel Cerrillo Valdivia

*transformador gemelo tesla
→ años 40 → ESIME IPN →
1948 Manuel Ramírez Caraza
obtiene 15 millones de voltios
en laboratorio de Física*



Manuel Ramírez Caraza





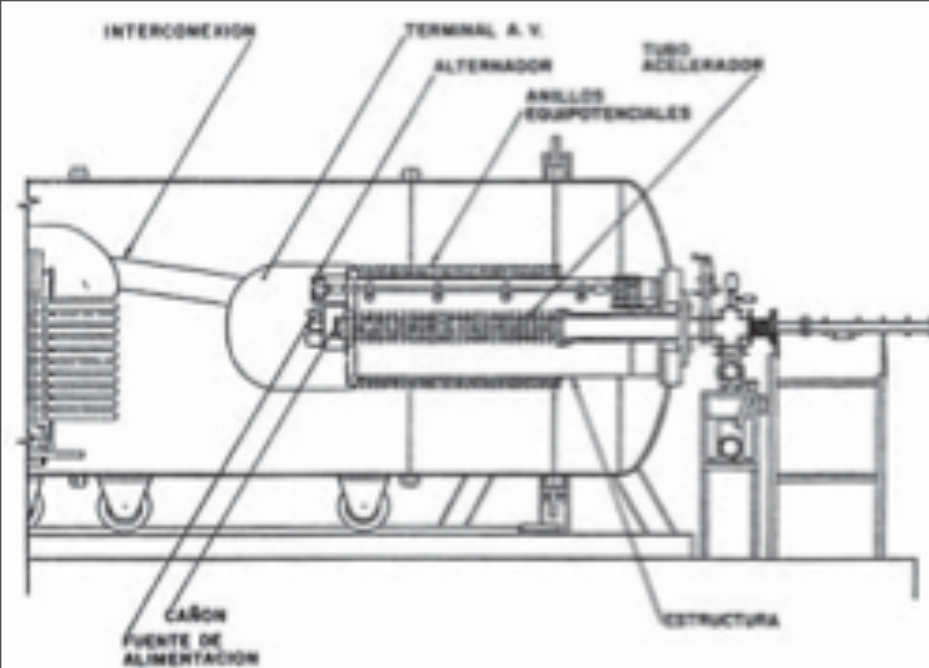
Acelerador van de Graeff de 12 MeV instalado en el Centro Nuclear de Salazar



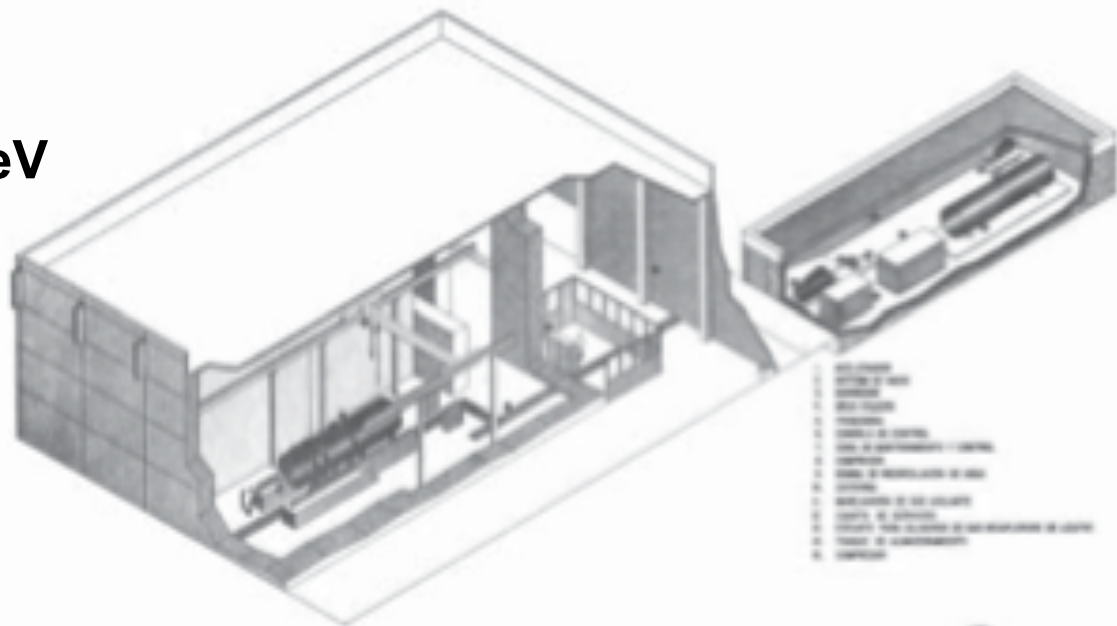
Tandetrón

**Acelerador electroestático de
iones positivos 2MV
1998-ININ**

ININ Pelletron



electrones 150 keV – 0.8 MeV



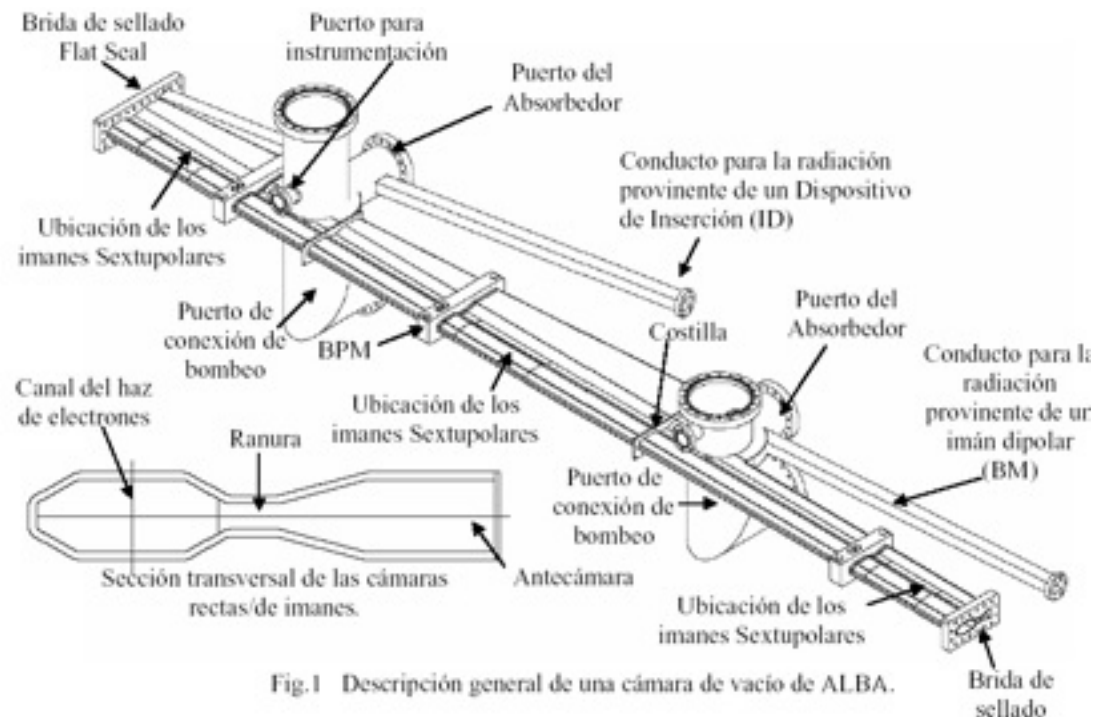


Fig.1 Descripción general de una cámara de vacío de ALBA.

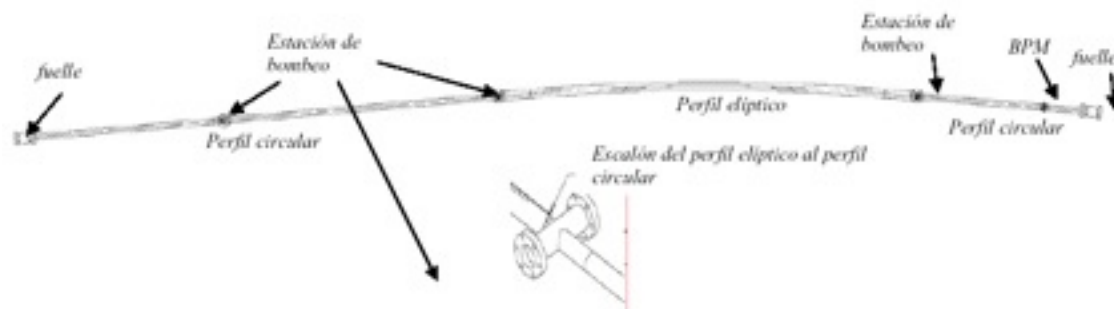
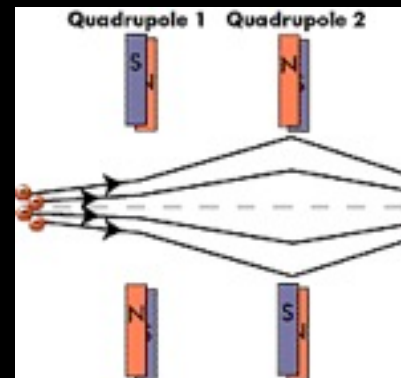
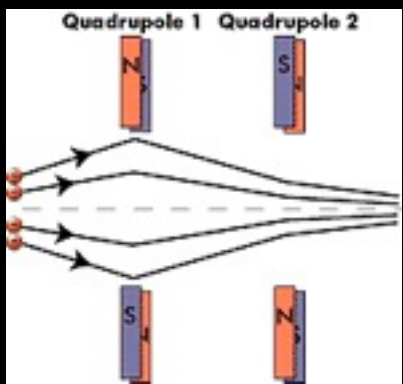
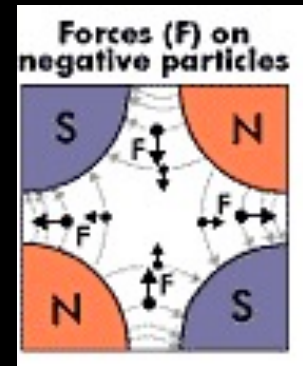
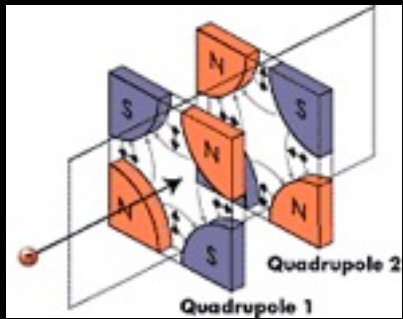


Figura 2-1 Descripción general de las cámaras de vacío de ALBA.

cámara de vacío



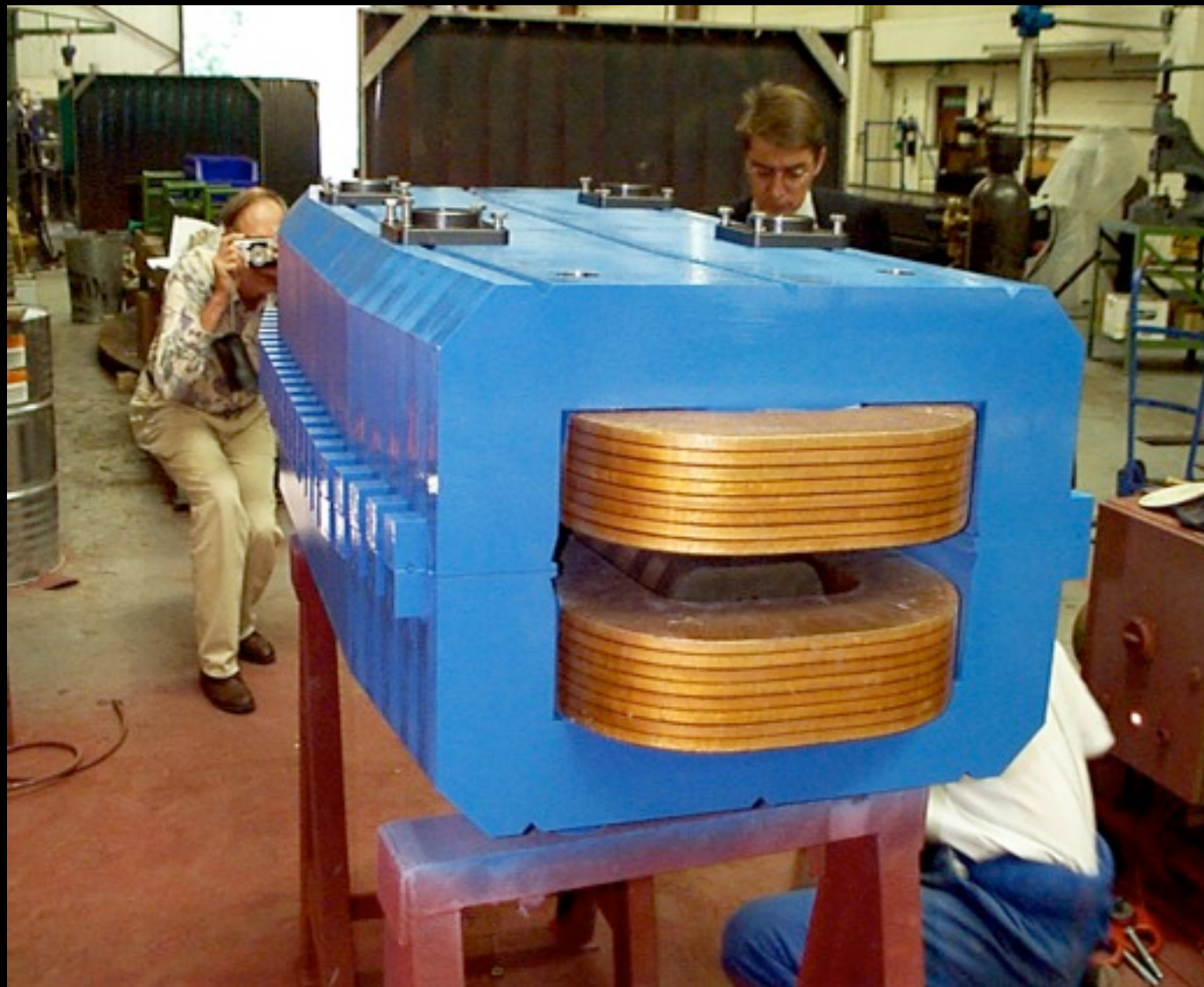
Magnets



side view (in plane)

Top view (perpendicular view)

Dipole-Magnet



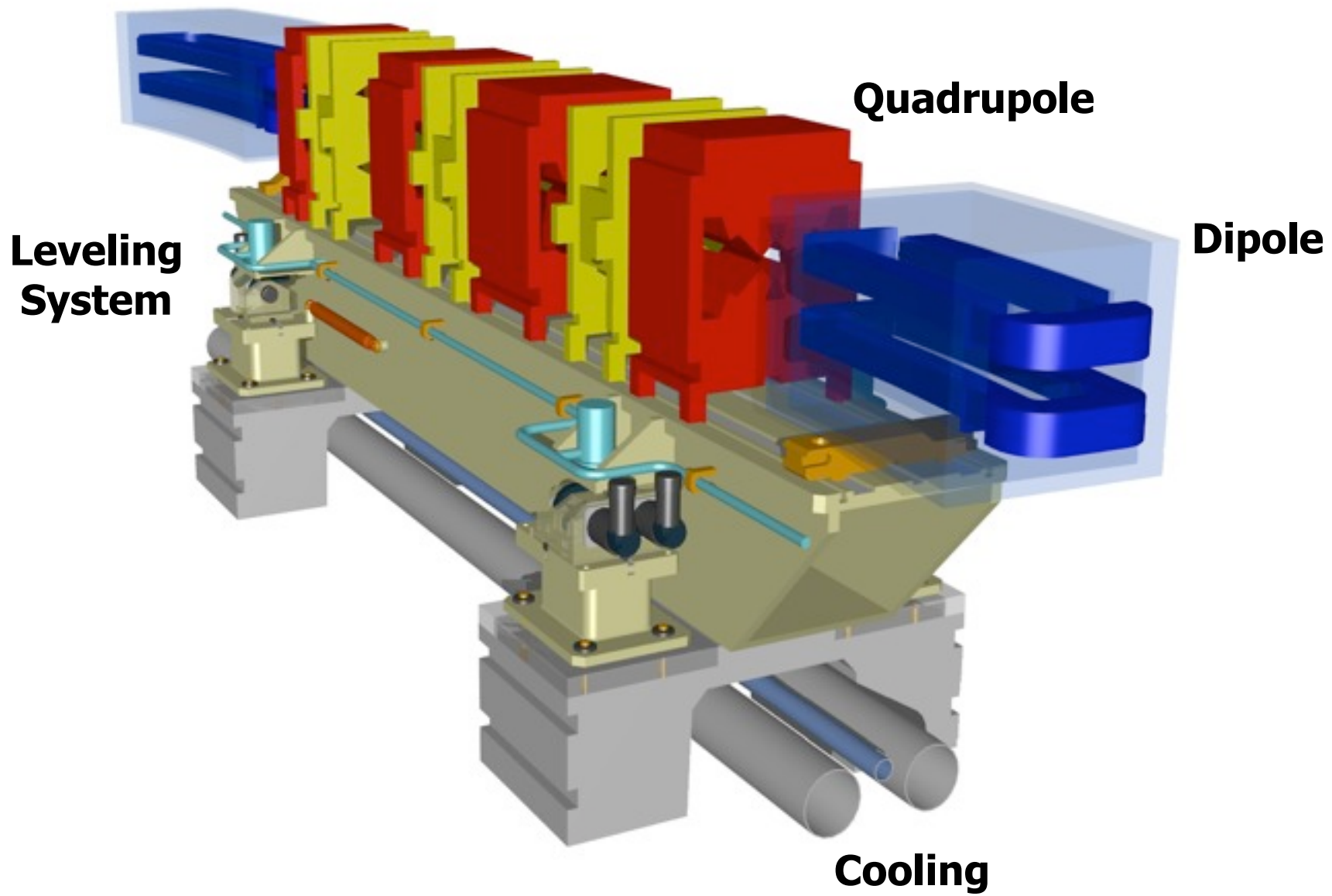
Deflection 14^0

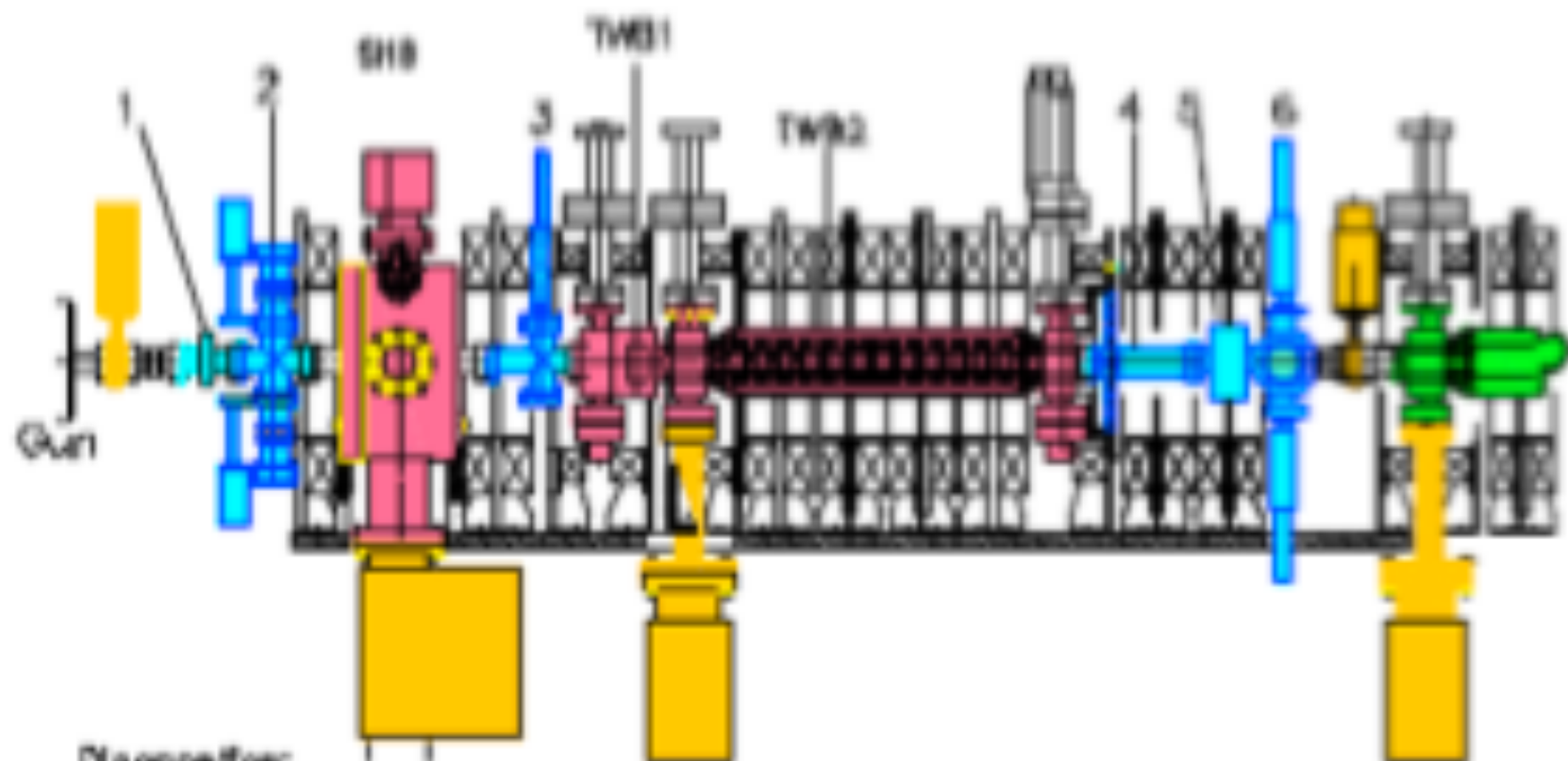
Field 1.4 T

Length 1.4m

Weight 3 Tonns

soportes mecánicos





Diagnósticos:

1) Wall current monitor

2) Faraday cup, Fluorescent screen

3) Fluorescent screen

4) BPM

5) ICT (Berger)

6) CTR, Fluorescent screen

diagnóstico del haz

saxs at home

SAXS beamline



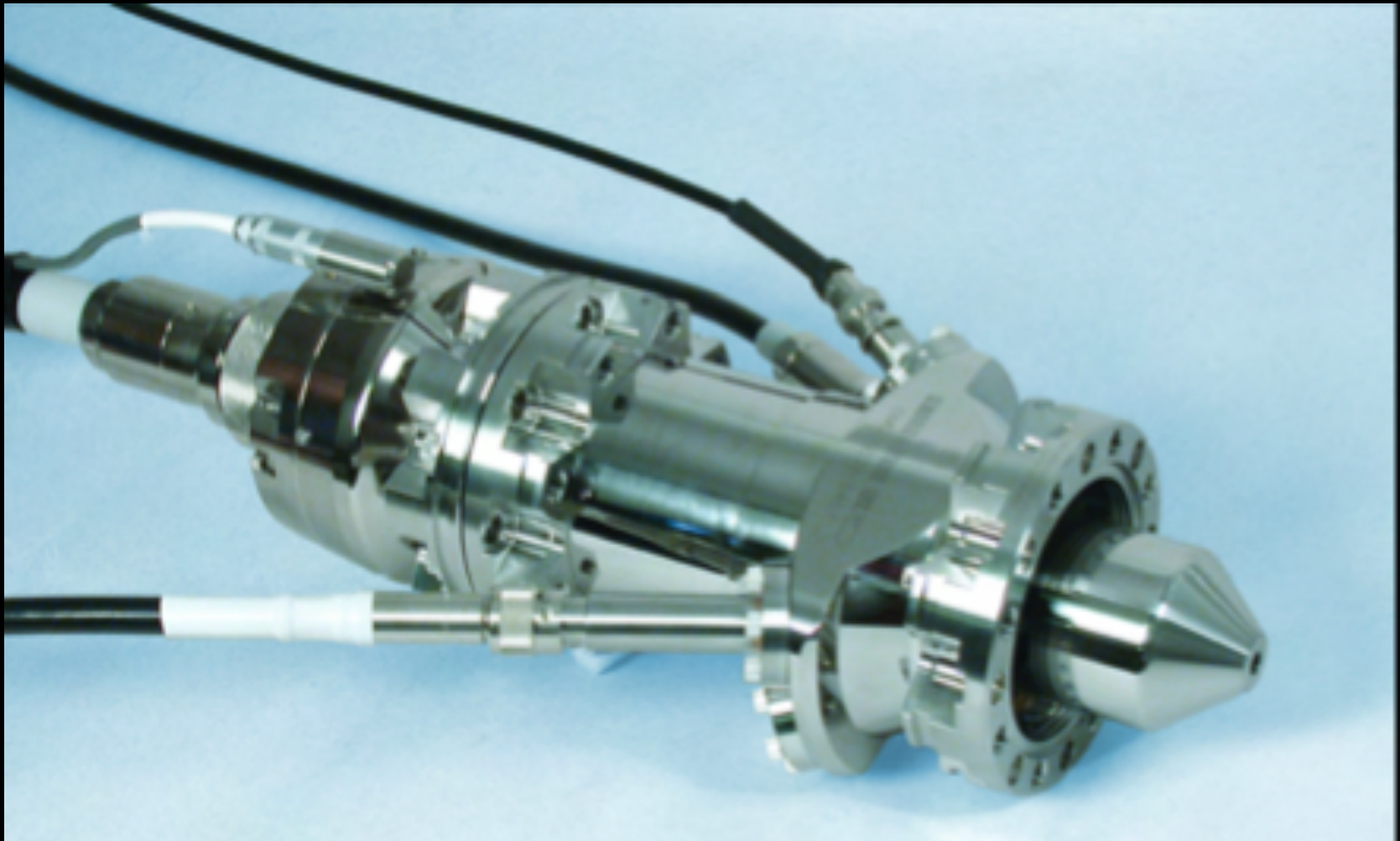
SAXS en Cinvestav con rayos X convencionales



con apoyo de la red de Soft Physics CONACyT - transversalidad
varias instituciones involucradas

students training

EMG-4212 / EGPS-3212 ELECTRON GUN / POWER SUPPLY



con apoyo de la red de FAE - CONACyT - CINVESTAV

medical imaging

Tubo de rayos X BEDE Anodo de Cu y ventana de Be



Proyecto Milenio ICM CONACYT

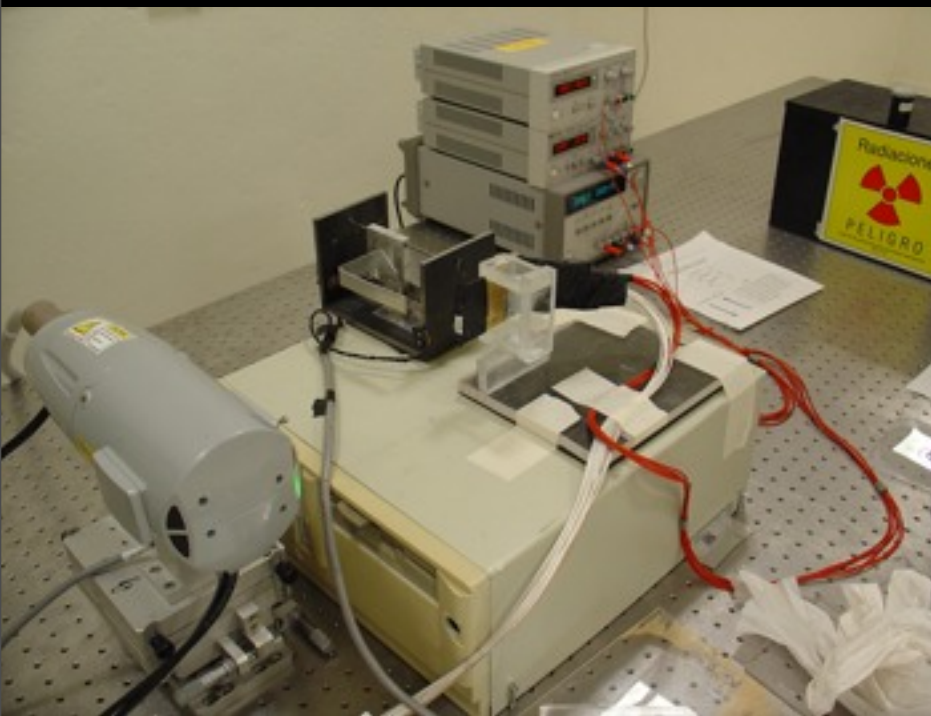
meta



nuevas técnicas de radiografía



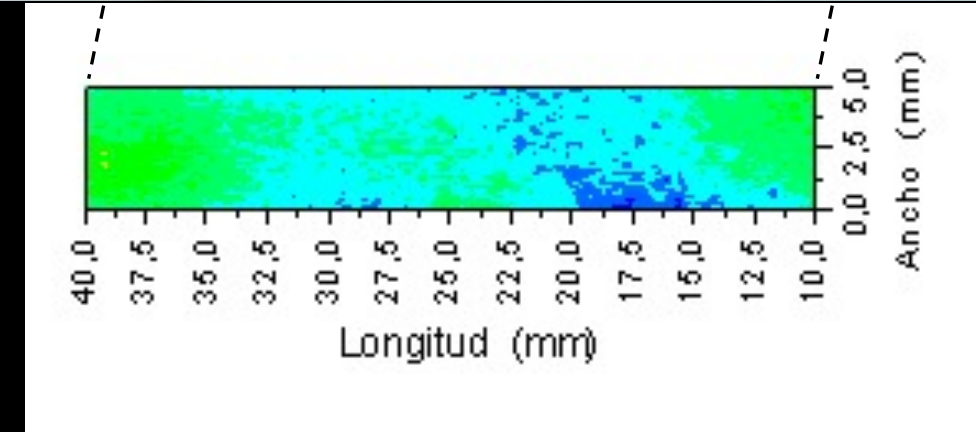
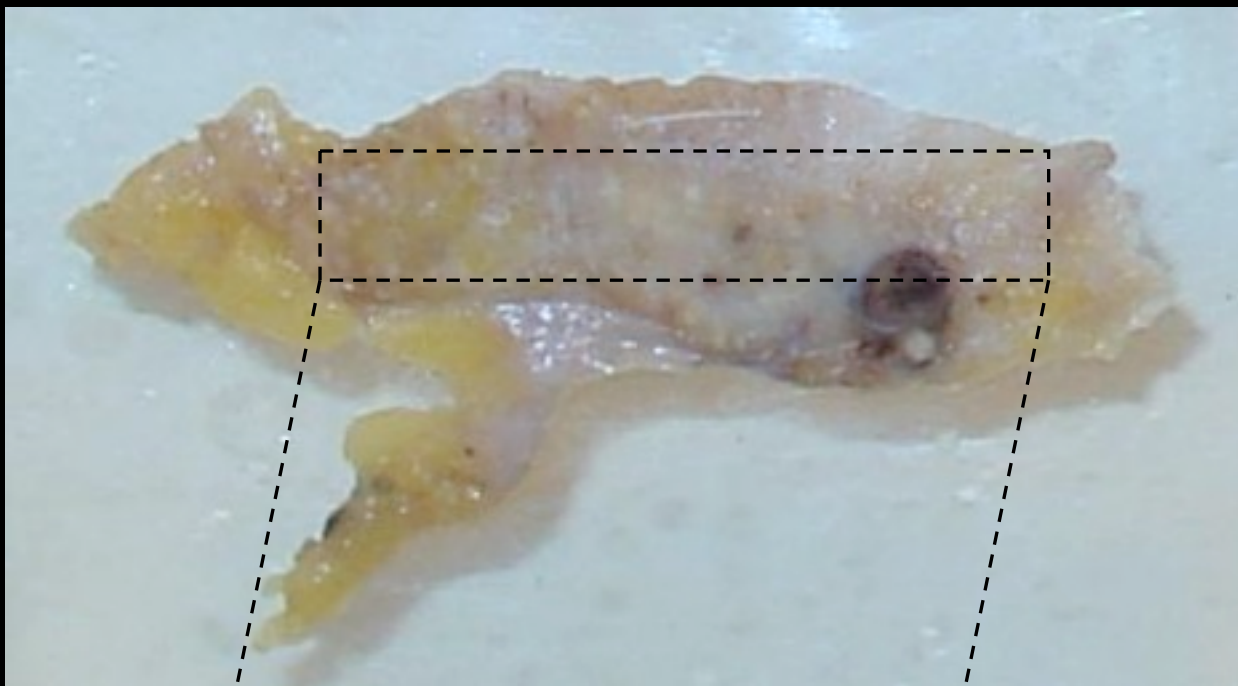
contraste de fase



muestra de tejido mamario



imagen digital



Steps already taken

- One grad student from Universidad de Guanajuato already enrolled at ODU's Ph.D. in Acc. Physics, will work at Jlab under Geoff Krafft's Center for Advanced Studies in Accelerators
- Two undergraduate students from Universidad de Guanajuato and one from Universidad de Puebla spent 8 weeks at Jlab participating in the Cyclotron Kids project **1 U. Sinaloa**
- Established communication with USPAS director Bill Barletta and with Herman Winick (SLAC) whom point out that Brasil and Australia have developed successful accelerator programs and built light sources and can be used as role models



The cyclotron kids project

Salvador Luis Jeff Phil
Peter

Ernesto

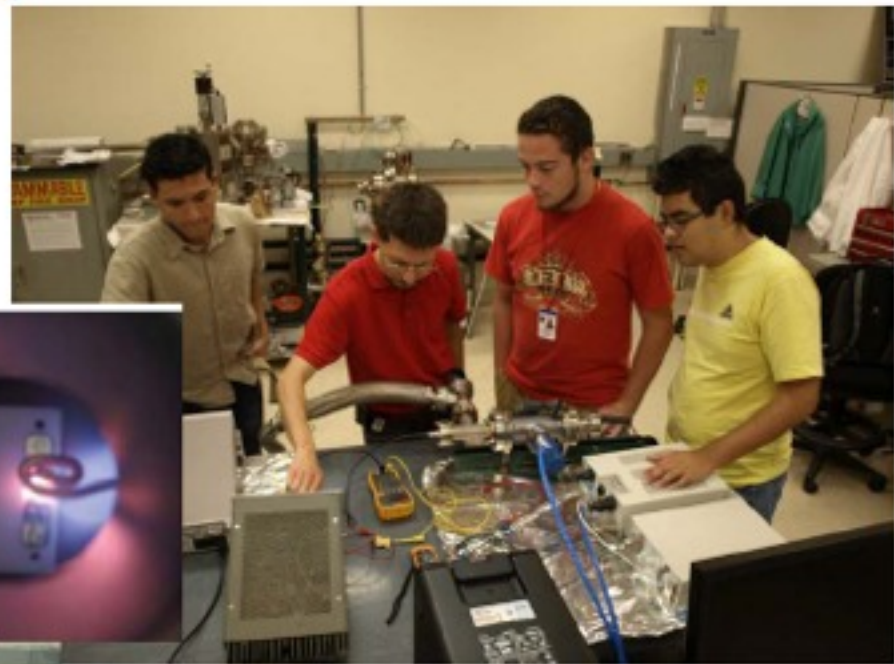
Three undergraduate Mexican students participated for 8 weeks building a small cyclotron sponsored by JLab.

Heather



The H-Magnet
Fabricated in the
JLab
Machine Shop

The students experienced unique hands-on training on vacuum techniques. They also designed, built and operated an ion source



And received basic concept training on accelerator physics



Luis, Salvador and Ernesto in the JLab FEL vault



CINVESTAV

Bruce Yee Rendon
PHD - student
Frank Zimmerman - CERN

Humberto Maury
PHD - student
Frank Zimmerman - CERN

OPEN door

machine protection aspects for crab cavities in the LHC →

upgrade (e.g. what happens to the beam when a crab cavity trips).



study involve beam dynamics information

construct a model of the cavity behavior after a trip.

design of a Linac-Ring electron-proton collider based on LHC, LHeC, e.g. optics development for the recirculating SC linac and the layout of the interaction region.



**Expertise on accelerator
technology**

SAXS

**Excelent workshop - vacum -
precision mechanics**



3rd & 4th Generation Sources Survey

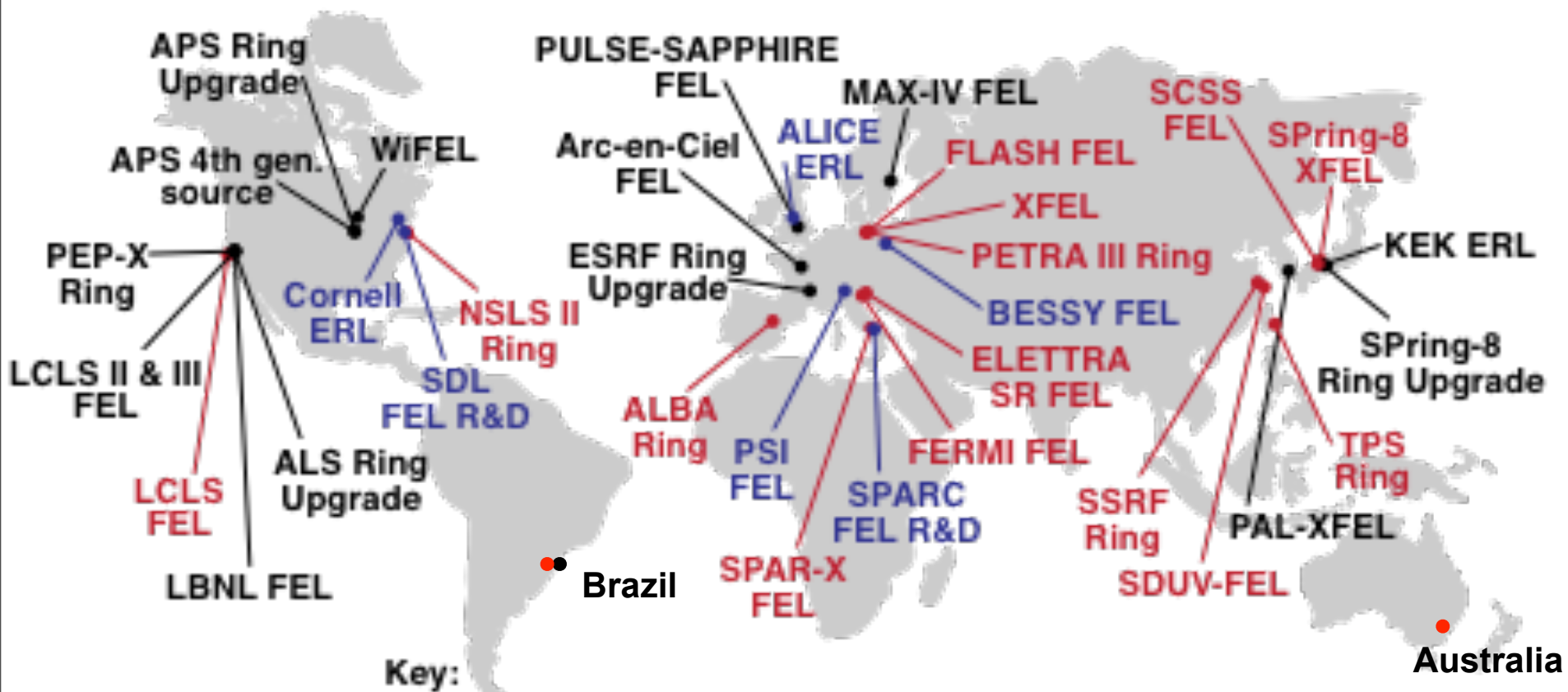


Figure 5.1. Proposed and funded x-ray light sources and R&D facilities around the world.

País	Nr. de Labs. de Luz Sincrotrón	Laboratorios de Luz de Sincrotrón	Lugar en la lista de economías 2005 (Inter. Monetary Fund - GDP -)
EEUU	10	ALS Berkeley California APS Argonne, Illinois CAMD, Louisiana NSLS, Brookhaven SPEAR, California SRC, Aladdin, Madison CESR, CHESS, Cornell FEL, Duke SURF-II, SURF-III, NIST, Maryland	1 (12,455,000MUSD)
Japón	12	TSRF, Tohoku SuperSOR, Tokio NIRS, Chiba-shi NanoHana,Ichicahra NSSR,Nagoya AIST,Tsukuba UVSOR,Okazaki MIRRORCLE,Ritsumeikan KSR, Kyoto SAGA, Tosu HISOR, Hiroshima Sprin ^o 8 Hvo	2 (4,505,000MUSD)
Alemania	5	ANKA, Karlsruhe BESSY, Berlin DELTA, Dortmund ELSA, Bonn DESY, Hamburg	3 (2,790,000 MUSD)

País	Nr. de Labs. de Luz Sincrotrón	Laboratorios de Luz de Sincrotrón	Lugar en la lista de economías 2005 (Inter. Monetary Fund - GDP -)
China	3	BSRF, Beijing NSRL, Hefei SSRC, Shanghai	4 (2,234,000 MUSD)
Inglaterra	2	Diamond, Oxfordshire SRS, Daresbury	5 (2,229,000 MUSD)
Francia	3	ESRF, Grenoble LURE, Orsay SOLEIL, Saint Aubin	6 (2,126,000 MUSD)
Italia	2	Elettra, Trieste DAFNE, Frascati	7 (1,765,000 MUSD)
Canada	1	CLS, Saskatoon	8 (1,132,000 MUSD)
España	1	ALBA, Valle	9 (1,126,000 MUSD)
Brasil	1	LNLS, Campinas	10 (795,000 MUSD)
Corea	1	Pohang, Phohang	11 (787,000 MUSD)
India	1	INDUS-1, INDUS-2, Indore	12 (772,000 MUSD)
Mexico	0	Propuesta en curso	13 (768,000 MUSD)

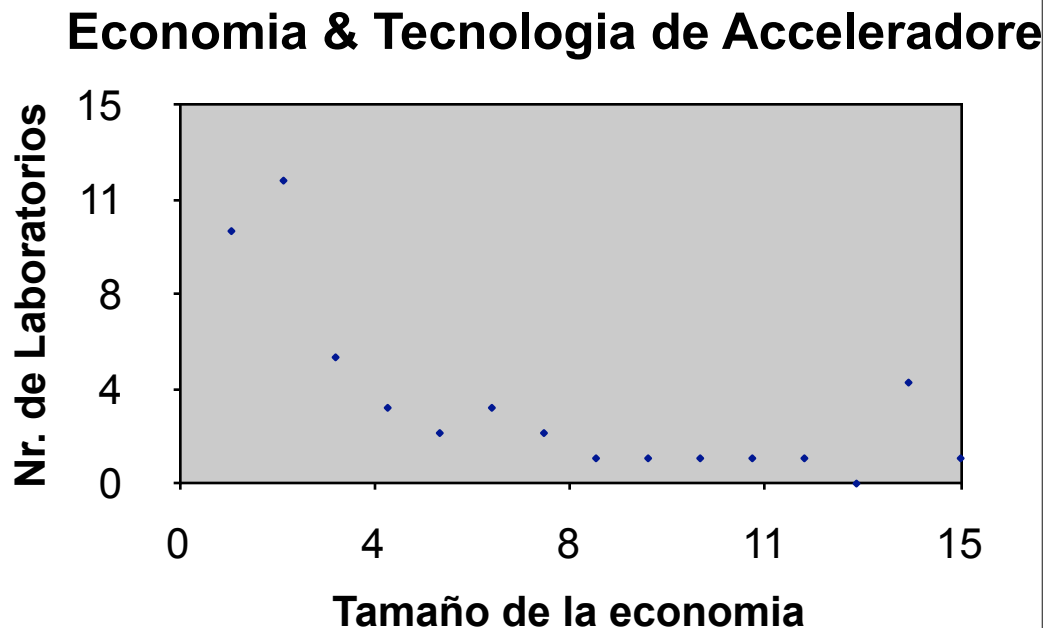
País	Nr. de Labs. de Luz Sincrotrón	Laboratorios de Luz de Sincrotrón	Lugar en la lista de economías 2005 (Inter. Monetary Fund - GDP -)
Rusia	4	TNK, Moscu DELSY, Dubna Siberia-1 Siberia-2 SSRC, Novosibirsk	14 (763,000 MUSD)
Australia	1	Melbourne	15 (708,000 MUSD)
Suiza	1	SLS, Villigen	18 (367,000 MUSD)
Suecia	1	MAX, Lund	20 (359,000 MUSD)
Taiwan	1	NSRRC, Hsinchu	21 (346,000 MUSD)
Dinamarca	1	ISA, ASTRID, Aarhus	27 (260,000 MUSD)
Tailandia	1	NSRC, Nakhon	36 (173,000 MUSD)
Singapore	1	SSRL, Singapore	43 (116,000 MUSD)
Jordania	1	SESAME	95 (12,000 MUSD)
Armenia	1	CANDLE	136 (3,782 MUSD)

The World's Largest Economies

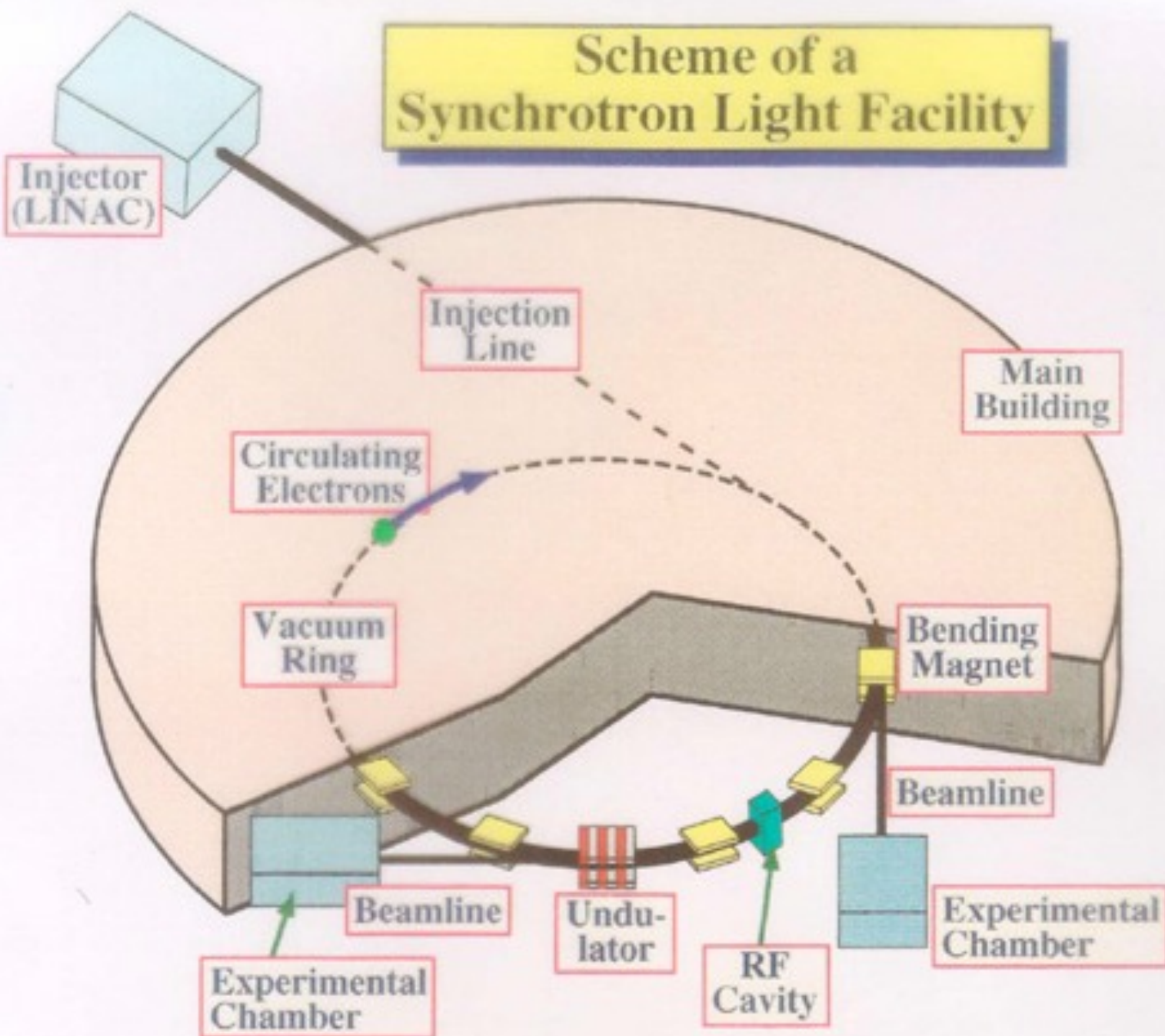
January 7, 2003

Largest World Economies		
No.	Country	GDP \$US billions
1	USA	10,208
2	Japan	4,149
3	Germany	1,847
4	United Kingdom	1,424
5	France	1,307
6	China (exc.HK)	1,159
7	Italy	1,089
8	Canada	700
9	Mexico	618
10	Spain	582
11	Brazil	504
12	India	481
13	Korea	422
14	Netherlands	380
15	Australia	357
16	Russian Federation	310
17	Taiwan	282
18	Argentina	269
19	Switzerland	247
20	Belgium	227

La medida del rezago:



Scheme of a Synchrotron Light Facility



País	Número de Hospitales y centros de investigación en hadroterapia	Hospitales y/o Centros de Investigación	Lugar en la lista de economías 2005 (Inter. Monetary Fund - GDP -)
EEUU	4	Loma Linda Proton Treatment Center Eye Therapy at the Crocker Lab The Northeast proton therapy center Midwest proton radiation institute	1 (12,455,000MUSD)
Japón	2	Proton Medical Research Center, Tsukuba National Institute of Radiological Sciences, Chiba	2 (4,505,000MUSD)
Alemania	2	Heavy Ion Center GSI Rienecker Proton Therapy Center Muchen	3 (2,790,000 MUSD)
China	0		4 (2,234,000 MUSD)
Inglaterra	1	Clatterbridge Centre for Oncology	5 (2,229,000 MUSD)
Francia	2	Center of Proton Therapy Orsay Center Atoine Lacassagne	6 (2,126,000 MUSD)
Italia	1	Tera	7 (1,765,000 MUSD)
Canada	1	Cancer treatment with protons Triumf	8 (1,132,000 MUSD)
España	0		9 (1,126,000 MUSD)
Méjico	1?		13 (768,000 MUSD)
Rusia	1	Medical Physics Department ITEP	14 (763,000 MUSD)